

Módulo 2

Revisão de

Resistência dos

Materiais

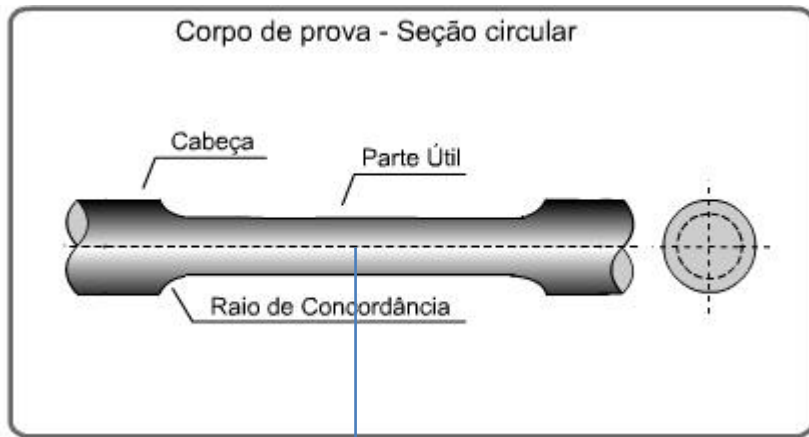
Curso de Projeto e Cálculo de Estruturas metálicas

DEFINIÇÃO DE AÇO:

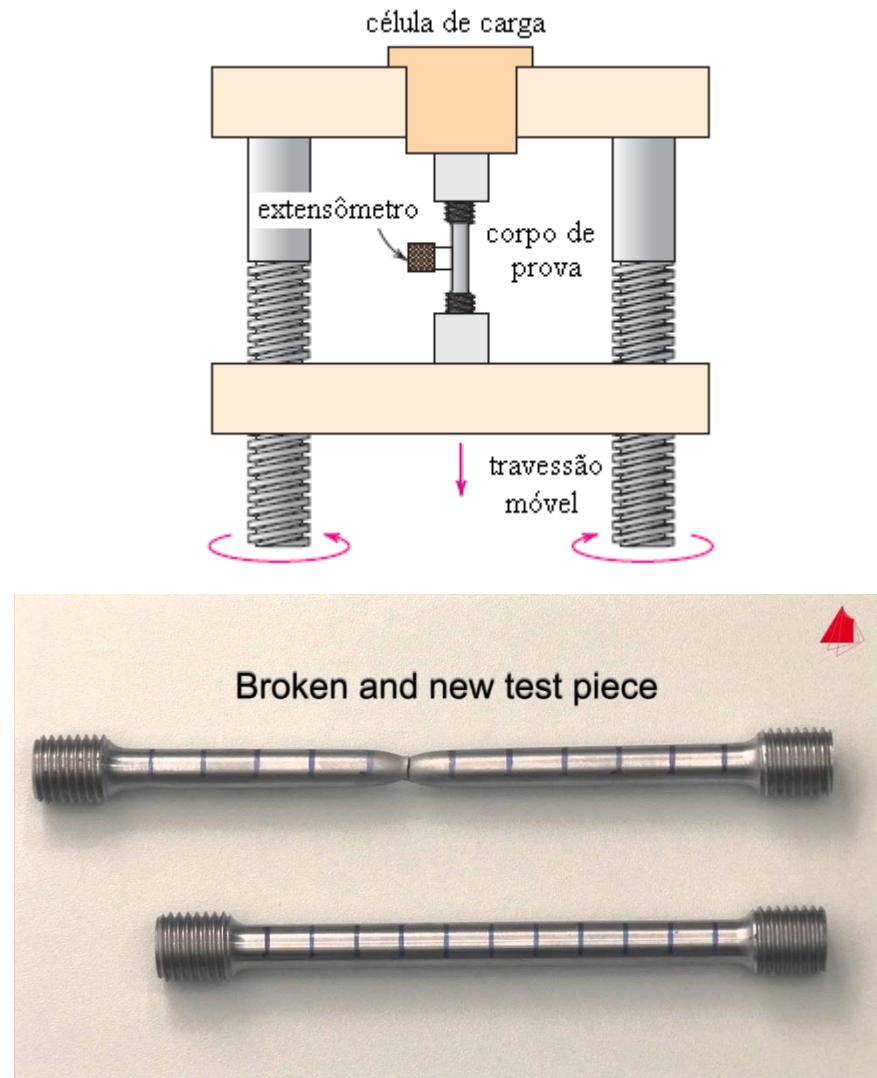
**AÇO = LIGA METÁLICA
COMPOSTA POR**

Fe + C (Ferro + Carbono)

ENSAIO DE TRAÇÃO:

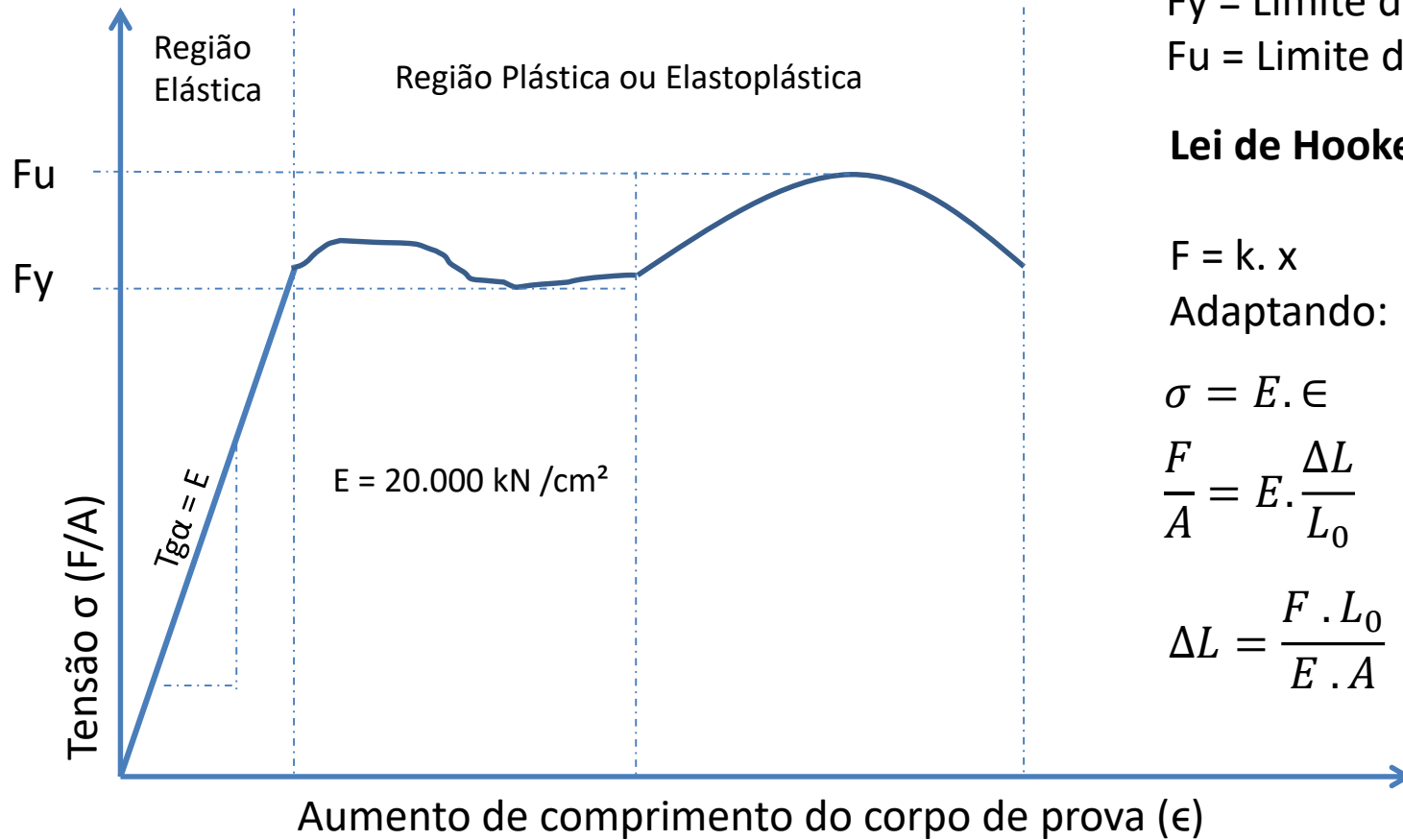


$$\sigma = \frac{F}{A}$$



Curso de Projeto e Cálculo de Estruturas metálicas

DIAGRAMA TENSÃO X DEFORMAÇÃO:



F_y = Limite de escoamento

F_u = Limite de ruptura

Lei de Hooke:

$$F = k \cdot x$$

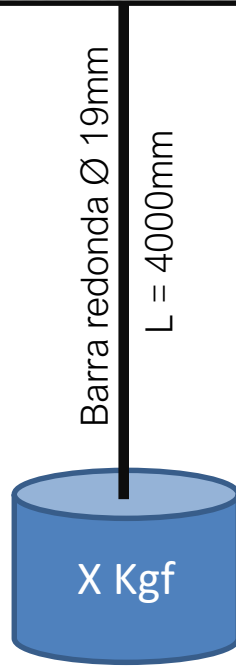
Adaptando:

$$\sigma = E \cdot \epsilon$$

$$\frac{F}{A} = E \cdot \frac{\Delta L}{L_0}$$

$$\Delta L = \frac{F \cdot L_0}{E \cdot A}$$

Exemplo



Determine a massa x em kgf para que a tensão atuante máxima seja 65% do F_y do aço ASTM A36 ($F_y = 25 \text{ kN/cm}^2$).
Determine o comprimento final da barra

Exemplo

Determinação da Carga estática

$$\sigma_{max} = 0,65 \cdot F_y \rightarrow \frac{P}{A} = 0,65 \cdot F_y \rightarrow \frac{P}{\pi \cdot \frac{1,9^2}{4}} = 0,65 \cdot 25 \rightarrow P = 46,07 \text{ kN (4607 kgf)}$$

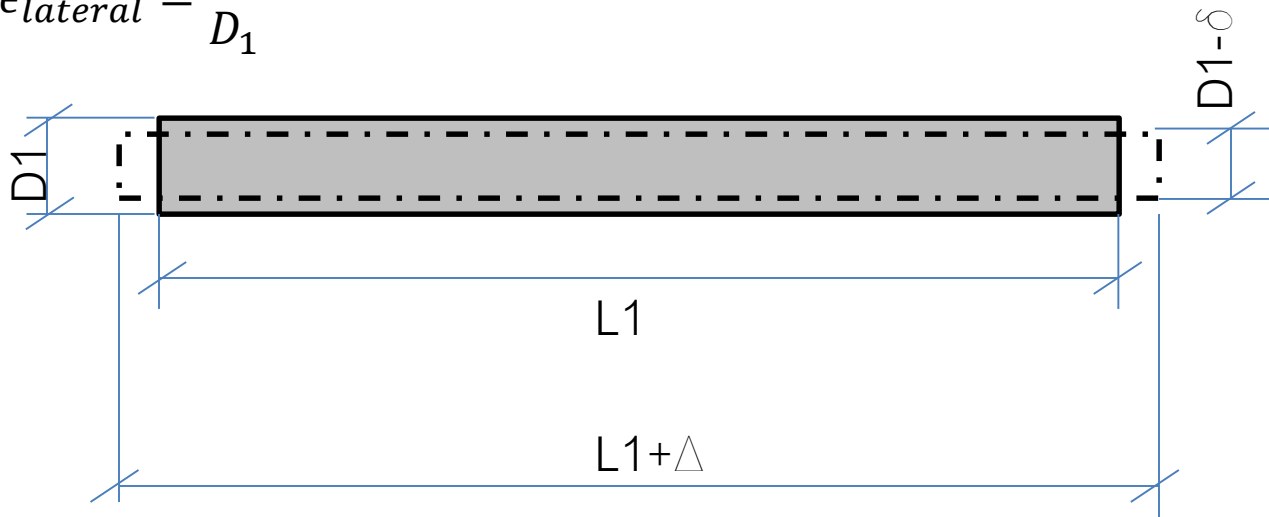
Determinação do alongamento

$$\Delta L = \frac{P \cdot L_0}{E \cdot A} \rightarrow \frac{46,07 \cdot 400}{20000 \cdot \pi \cdot \frac{1,9^2}{4}} = 0,33 \text{ cm (3,3mm)}$$

Módulo de elasticidade Transversal (G)

$$\epsilon_{longitudinal} = \frac{\Delta}{L_1}$$

$$\epsilon_{lateral} = \frac{\delta}{D_1}$$



$$\nu = \frac{\epsilon_{lateral}}{\epsilon_{longitudinal}} \text{ (Coeficiente de Poisson)} \quad \text{Para o aço utilizaremos } \nu = 0,3$$

$$G = \frac{E}{2 \cdot (1 + \nu)} \text{ (Coeficiente de Poisson)} \quad \text{Para o aço utilizaremos } \nu = 7700 \text{ kN/cm}^2$$

TIPOS DE AÇO USADOS NAS ESTRUTURAS:

AÇOS COMUNS PARA CHAPAS E PERFIS ESTRUTURAIS:

ASTM

ASTM A36 – Possui $F_y = 36 \text{ ksi}$ (kilo-libra/pol²) $\sim 25 \text{kN/cm}^2$
 $F_u = 40 \text{kN/cm}^2$

Aço comum usado em chapas e perfis estruturais

ABNT

EB-583

MR250	$F_y = 25 \text{kN/cm}^2$	$F_u = 40 \text{kN/cm}^2$
MR290	$F_y = 29 \text{kN/cm}^2$	$F_u = 41,5 \text{kN/cm}^2$
MR345	$F_y = 34,5 \text{kN/cm}^2$	$F_u = 45 \text{kN/cm}^2$

AÇOS DE ALTA RESISTÊNCIA MECÂNICA PARA PERFIS ESTRUTURAIS:

ASTM

ASTM A572 – Perfis laminados Açominas

GRAU 42 – $F_y = 29\text{kN/cm}^2$ $F_u = 41,5 \text{ kN/cm}^2$

GRAU 50 - $F_y = 34,5 \text{ kN/cm}^2$ $F_u = 45 \text{ kN/cm}^2$

AÇOS DE ALTA RESISTÊNCIA À CORROSÃO ATMOSFÉRICA:

ASTM A242 2x mais resistente à corrosão atmosférica

Grupos 1 e 2: $F_y = 34,5\text{kN/cm}^2$ $F_u = 48 \text{ kN/cm}^2$

Grupo 3: $F_y = 31,5 \text{ kN/cm}^2$ $F_u = 46 \text{ kN/cm}^2$

ASTM A588: $F_y = 34,5\text{kN/cm}^2$ $F_u = 48,5 \text{ kN/cm}^2$ 4X mais resistente
à corrosão atmosférica

TIPOS DE AÇO:

ELEMENTO QUÍMICO	ASTM A36 (PERFIS)	ASTM A572 (GRAU 50)	ASTM A588 (GRAU B)	ASTM A242 (CHAPAS)
% C máx.	0,26	0,23	0,20	0,15
% Mn	... (1)	1,35 máx.	0,75-1,35	1,00 máx.
% P máx.	0,04	0,04	0,04	0,15
% S máx.	0,05	0,05	0,05	0,05
% Si	0,40	0,40 máx.3	0,15-0,50	...
% Ni	0,50 máx.	...
% Cr	0,40-0,70	...
% Mo
% Cu	0,202	...	0,20-0,40	0,20 mín.
% V	0,01-0,10	...
(% Nb + %V)	...	0,02-0,15
Limite de escoamento (MPa)	250 mín.	345 mín.	345 mín.	345 mín.
Limite de resistência (MPa)	400-550	450 mín.	485 mín.	480 mín.
Alongamento Após ruptura, % (lo = 200mm)	20 mín.	18 mín.	18 mín.	18 mín.

Curso de Projeto e Cálculo de Estruturas metálicas

PROPRIEDADES DOS AÇOS:

DUCTILIDADE: CAPACIDADE DE SE DEFORMAR QUANDO SUBMETIDO A ESFORÇOS (OPOSTO DE FRAGILIDADE)

RESILIÊNCIA: CAPACIDADE DE ABSORVER ENERGIA NO REGIME ELÁSTICO (TRANSFORMAR ESFORÇOS EM DEFORMAÇÕES NÃO PERMANENTES)

DUREZA: RESISTÊNCIA O RISCOS E ABRASÃO.

FADIGA: RESISTÊNCIA A ESFORÇOS REPETITIVOS

PESO ESPECÍFICO: 7850 kg/m^3 ou

PROPRIEDADES DOS AÇOS:

Qual o peso por metro linear de um perfil de aço, qualquer, cuja área de seção transversal tenha $35,02 \text{ cm}^2$

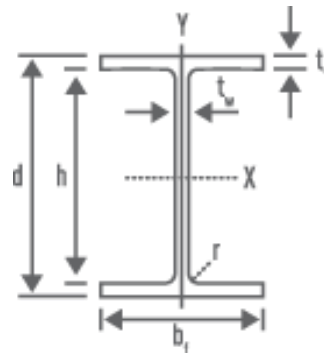
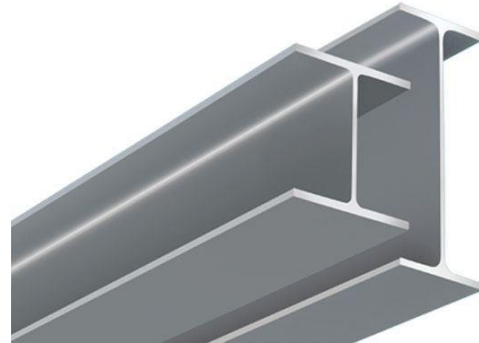
Como regra prática, multiplicamos a área da seção transversal em cm^2 por 0,7850 para encontrar o peso de 1m

$$m = 0,7850 \cdot 35,02 = 27,49 \text{ kg/m}$$



PERFIS ESTRUTURAIS LAMINADOS

I e H Laminados de abas paralelas.



d = altura do perfil
 h = altura interna
 b_f = largura da aba do perfil
 t_f = espessura da aba
 t_w = espessura da alma
 r = raio de concordância

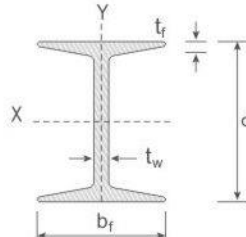
Codificação:

W150X13,0 – Perfil I ~150mm de altura e 13 kg por metro linear (bom para Vigas e Momentos unidirecionais)

W200X46,1 (H) – Perfil H ~200mm de altura e largura x 46,1 kg/metro (melhor para pilares e peças sujeitas à compressão e à flexão bi-direcional)

HP310X79,0 - Perfil da série Pesada, com 310mm de altura e 79kg/m (também recomenda-se seu uso em pilares de alta compressão)

PERFIS ESTRUTURAIS LAMINADOS

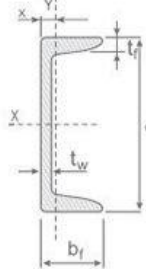


I Laminado de Abas inclinadas (Padrão Americano)

	Perfil	Dimensões (mm)				A	EIXO X-X			EIXO Y-Y			P			
		h	bf	tf	tw	d	cm2	Ix	Wx	Rx	Zx	ly	Wy	Ry		
I 3'' – 1 ^a Alma	3"x8.5	76.2	59.2	6.6	4.32	63.0	10.8	105	27.6	3.12	32.0	18.9	6.41	1.33	10.7	8.5
I 3'' – 2 ^a Alma	3"x9.7	76.2	61.2	6.6	6.38	63.0	12.3	112	29.6	3.02	.	21.3	6.95	1.31	.	9.7
I 3'' – 3 ^a Alma	3"x11.2	76.2	63.7	6.6	8.86	63.0	14.2	121	32.0	2.93	38.7	24.4	7.67	1.31	13.5	11.2
	4"x11.4	101.6	67.6	7.4	4.83	86.8	14.5	252	49.7	4.17	.	31.7	9.37	1.48	.	11.4
	4"x12.7	101.6	69.2	7.4	6.43	86.8	16.1	266	52.4	4.06	.	34.3	9.91	1.46	.	12.7
	4"x14.1	101.6	71.0	7.4	8.28	86.8	18.0	283	55.6	3.96	.	37.6	10.6	1.45	.	14.1
	4"x15.6	101.6	72.9	7.4	10.20	86.8	19.9	299	58.9	3.87	.	41.2	11.3	1.44	.	15.6
	5"x14.8	127.0	76.2	8.3	5.33	110.4	18.8	511	80.4	5.21	92.9	50.2	13.2	1.63	22.5	14.8
	5"x18.2	127.0	79.7	8.3	8.81	110.4	23.2	570	89.8	4.95	.	58.6	14.7	1.59	.	18.2
	5"x22.0	127.0	83.4	8.3	12.50	110.4	28.0	634	99.8	4.76	122	69.1	16.6	1.57	30.8	22.0
	6"x18.5	152.4	84.6	9.1	5.84	134.2	23.6	919	120.6	6.24	139	75.7	17.9	1.79	30.3	18.5
	6"x22.0	152.4	87.5	9.1	8.71	134.2	28.0	1003	131.7	5.99	.	84.9	19.4	1.74	.	22.0
	6"x25.7	152.4	90.6	9.1	11.80	134.2	32.7	1095	143.7	5.79	174	96.2	21.2	1.72	38.7	25.7
	8"x27.3	203.2	101.6	10.8	6.86	181.6	34.8	2400	236.0	8.30	270	155.1	30.5	2.11	51.8	27.3
	8"x30.5	203.2	103.6	10.8	8.86	181.6	38.9	2540	250.0	8.08	.	165.9	32.0	2.07	.	30.5
	8"x34.3	203.2	105.9	10.8	11.20	181.6	43.7	2700	266.0	7.86	316	179.4	33.9	2.03	60.3	34.3
	8"x38.0	203.2	108.3	10.8	13.50	181.6	48.3	2860	282.0	7.69	.	194.0	35.8	2.00	.	38.0
	10"x37.7	254.0	118.4	12.5	7.87	229.0	48.1	5140	405.0	10.30	465	282	47.7	2.42	81.3	37.7
	10"x44.7	254.0	121.8	12.5	11.40	229.0	56.9	5610	442.0	9.93	.	312	51.3	2.34	.	44.7
	10"x52.1	254.0	125.6	12.5	15.10	229.0	66.4	6120	482.0	9.60	580	348	55.4	2.29	102	52.1
	10"x59.6	254.0	129.3	12.5	18.80	229.0	75.9	6630	522.0	9.35	.	389	60.1	2.26	.	59.6
	12"x60.6	304.8	133.4	16.7	11.70	271.4	77.3	11330	743.0	12.10	870	563	84.5	2.70	145	60.6
	12"x67.0	304.8	136.0	16.7	14.40	271.4	85.4	11960	785.0	11.80	.	603	88.7	2.66	.	67.0
	12"x74.4	304.8	139.1	16.7	17.40	271.4	94.8	12690	833.0	11.60	1003	654	94.0	2.63	169	74.4
	12"x81.9	304.8	142.2	16.7	20.60	271.4	104.3	13430	881.0	11.30	.	709	99.7	2.61	.	81.9

Curso de Projeto e Cálculo de Estruturas metálicas

PERFIS ESTRUTURAIS LAMINADOS



U Laminado de Abas inclinadas (Padrão Americano)

h x peso	h	hg,c,tf	to	to	b	Área	h/btf	Ix	Wx	ix	ly	Wy	iy	xg
pol X kg/m	mm	mm	pol	mm	mm	cm ²	1/cm	cm ⁴	cm ²	cm	cm ⁴	cm ²	cm	cm
3" x 6,1	76,2	62,4	170	4,32	35,8	7,78	3,06	68,9	18,1	2,98	8,2	3,32	1,03	1,11
3" x 7,4	76,2	15,9	258	6,55	38,0	9,48	2,89	77,2	20,3	2,85	10,3	3,82	1,04	1,11
3" x 8,9	76,2	6,9	356	0,04	40,5	11,4	2,71	86,3	22,7	2,75	12,7	4,39	1,06	1,16
4" x 8,0	101,6	86,6	180	4,57	40,1	10,1	3,37	159,5	31,4	3,97	13,1	4,61	1,14	1,16
4" x 9,3	101,6	15,9	247	6,27	41,8	11,9	3,24	174,4	34,3	3,84	15,5	5,10	1,14	1,15
4" x 10,8	101,6	7,5	320	8,13	43,7	13,7	3,10	190,6	37,5	3,73	18,0	5,61	1,15	1,17
6" x 12,2	152,4	135,0	200	5,08	48,8	15,5	3,59	546	71,7	5,94	28,8	8,06	1,36	1,30
6" x 15,6	152,4	19,1	314	7,98	51,7	19,9	3,39	632	82,9	5,63	36,0	9,24	1,34	1,27
6" x 19,4	152,4	8,7	437	11,1	54,8	24,7	3,19	724	95,0	5,42	43,9	10,5	1,33	1,31
6" x 23,1	152,4	-	559	14,2	57,9	29,4	3,03	815	107,0	5,27	52,4	11,9	1,33	1,38
8" x 17,1	203,2	183,4	220	5,59	57,4	21,8	3,57	1356	133,4	7,89	54,9	12,8	1,59	1,45
8" x 20,5	203,2	20,6	303	7,70	59,5	26,1	3,44	1503	147,9	7,60	63,6	14,0	1,56	1,41
8" x 24,2	203,2	9,9	395	10,0	61,8	30,8	3,32	1667	164,0	7,35	72,9	15,3	1,54	1,40
8" x 27,9	203,2	-	487	12,4	64,2	35,6	3,20	1830	180,1	7,17	82,5	16,6	1,52	1,44
8" x 31,6	203,2	-	579	14,7	66,5	40,3	3,09	1990	196,2	7,03	92,6	17,9	1,52	1,49

Curso de Projeto e Cálculo de Estruturas metálicas

PERFIS ESTRUTURAIS LAMINADOS

Cantoneiras laminadas de abas iguais



Bitola	Peso Teórico Kg/m
1/8 x 1/2"	0,55
1/8 x 5/8"	0,71
1/8 x 3/4"	0,87
1/8 x 7/8"	1,04
1/8 x 1"	1,19
1/8 x 1.1/4"	1,50
1/8 x 1.1/2"	1,83
1/8 x 1.3/4"	2,14
1/8 x 2"	2,46
3/16 x 1"	1,73
3/16 x 1.1/4"	2,20
3/16 x 1.1/2"	2,68

Bitola	Peso Teórico Kg/m
3/16 x 1.3/4"	3,15
3/16 x 2	3,63
3/16 x 2.1/2"	4,52
3/16 x 3"	5,52
1/4 x 1"	2,29
1/4 x 1.1/4"	2,86
1/4 x 1.1/2"	3,48
1/4 x 1.3/4"	4,12
1/4 x 2"	4,75
1/4 x 2.1/2"	6,10
1/4 x 3"	7,30
1/4 x 3.1/2"	8,63

Bitola	Peso Teórico Kg/m
1/4 x 4"	9,81
5/16 x 2"	5,83
5/16 x 2.1/2"	7,44
5,16 x 3"	9,07
5/16 x 3.1/2"	10,70
5/16 x 4"	12,19
3/8 x 2"	6,99
3/8 x 2.1/2"	8,78
3/8 x 3"	10,72
3/8 x 3.1/2"	12,50
3/8 x 4"	14,58
3/8 x 5"	18,30

Bitola	Peso Teórico Kg/m
3/8 x 6"	22,20
1/2 x 3"	13,90
1/2 x 4"	19,05
1/2 x 5"	24,10
1/2 x 6"	29,20
5/8 x 4"	23,42
5/8 x 5"	29,80
5/8 x 6"	36,00
5/8 x 8"	48,78
3/4 x 5"	35,10
3/4 x 6"	42,70
3/4 x 8"	57,80

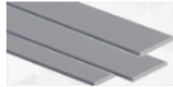
Normas: NBR 7007 graus, MR 250 (ASTM A-36) , AR 350 (ASTM A-572 GR50), AR 350COR (ASTM A-572 GR60) e AR 415 (ASTM A-588 GRB)

Excelente comportamento à tração.
Versátil para composição com outros perfis estruturais

Curso de Projeto e Cálculo de Estruturas metálicas

PERFIS ESTRUTURAIS LAMINADOS

Barras Chatas (ferro chato)



Bitola	Peso Teórico Kg/m
2,50mm x 1/2"	0,25
1/8 x 3/8"	0,24
1/8 x 1/2"	0,32
1/8 x 5/8"	0,40
1/8 x 3/4"	0,48
1/8 x 7/8"	0,55
1/8 x 1"	0,63
1/8 x 1.1/4"	0,79
1/8 x 1.1/2"	0,95
1/8 x 1.3/4"	1,11
1/8 x 2"	1,27
1/8 x 2.1/2"	1,59
1/8 x 3"	1,90
1/8 x 4"	2,54
3/16 x 1/2"	0,47
3/16 x 5/8"	0,59
3/16 x 3/4"	0,71
3/16 x 7/8"	0,83
3/16 x 1"	0,95
3/16 x 1.1/4"	1,19
3/16 x 1.1/2"	1,42
3/16 x 1.3/4"	1,66
3/16 x 2"	1,90
3/16 x 2.1/2"	2,37
3/16 x 3"	2,85
3/16 x 4"	3,80
3/16 x 5"	4,75

Bitola	Peso Teórico Kg/m
1/4 x 1/2"	0,63
1/4 x 5/8"	0,79
1/4 x 3/4"	0,95
1/4 x 7/8"	1,11
1/4 x 1"	1,27
1/4 x 1.1/4"	1,58
1/4 x 1.1/2"	1,90
1/4 x 1.3/4"	2,22
1/4 x 2"	2,53
1/4 x 2.1/2"	3,17
1/4 x 3"	3,80
1/4 x 4"	5,06
1/4 x 5"	6,33
1/4 x 6"	7,60
5/16 x 1"	1,58
5/16 x 1.1/4"	1,98
5/16 x 1.1/2"	2,37
5/16 x 1.3/4"	2,77
5/16 x 2"	3,17
5/16 x 2.1/2"	3,96
5/16 x 3"	4,75
5/16 x 3.1/2"	5,54
5/16 x 4"	6,33
5/16 x 5"	7,92
5/16 x 6"	9,50
3/8 x 1"	1,90
3/8 x 1.1/4"	2,38

Bitola	Peso Teórico Kg/m
3/8 x 1.1/2"	2,85
3/8 x 1.3/4"	3,33
3/8 x 2"	3,80
3/8 x 2.1/2"	4,75
3/8 x 3"	5,70
3/8 x 3.1/2"	6,65
3/8 x 4"	7,60
3/8 x 5"	9,50
3/8 x 6"	11,40
1/2 x 1"	2,53
1/2 x 1.1/4"	3,17
1/2 x 1.1/2"	3,80
1/2 x 1.3/4"	4,43
1/2 x 2"	5,06
1/2 x 2.1/2"	6,33
1/2 x 3"	7,60
1/2 x 3.1/2"	8,86
1/2 x 4"	10,13
1/2 x 5"	12,66
1/2 x 6"	15,19
5/8 x 1"	3,17
5/8 x 1.1/4"	3,96
5/8 x 1.1/2"	4,75
5/8 x 1.3/4"	5,54
5/8 x 2"	6,33
5/8 x 2.1/2"	7,92
5/8 x 3"	9,50

Bitola	Peso Teórico Kg/m
5/8 x 3.1/2"	11,08
5/8 x 4"	12,67
5/8 x 5"	15,83
5/8 x 6"	19,00
3/4 x 1"	3,80
3/4 x 1.1/4"	4,75
3/4 x 1.1/2"	5,70
3/4 x 1.3/4"	6,65
3/4 x 2"	7,60
3/4 x 2.1/2"	9,50
3/4 x 3"	11,40
3/4 x 3.1/2"	13,29
3/4 x 4"	15,19
3/4 x 5"	18,99
3/4 x 6"	22,79
1 x 1.1/4"	6,33
1 x 1.1/2"	7,60
1 x 1.3/4"	8,86
1 x 2"	10,13
1 x 2.1/2"	12,66
1 x 3"	15,19
1 x 4"	20,26
1 x 5"	25,32
1 x 6"	30,39

Geralmente usados para acabamento ou enrijecimento de bordas.

Também podem ser usados para fabricar chapas de ligação.

Barras com 6m. Comprimentos diferenciados sob consulta. Normas: NBR 7007 graus, MR 250 (ASTM A-36), SAE 1045 e 5160

Curso de Projeto e Cálculo de Estruturas metálicas

PERFIS ESTRUTURAIS LAMINADOS

Barra Redonda Laminada



Bitola		Peso teórico kg/m
pol.	mm	
1/4"	6,35	0,25
5/16"	7,94	0,39
3/8"	9,53	0,56
1/2"	12,70	0,99
9/16"	14,29	1,26
5/8"	15,88	1,56
11/16"	17,46	1,88
3/4"	19,05	2,24
7/8"	22,23	3,05
1"	25,40	3,98
1.1/8"	28,58	5,04
1.1/4"	31,75	6,22
1.5/16"	33,34	6,85
1.3/8"	34,93	7,52
1.7/16"	36,51	8,22
1.1/2"	38,10	8,95
1.9/16"	39,69	9,71
1.5/8"	41,28	10,50
1.3/4"	44,45	12,18
1.13/16"	46,04	13,06
1.7/8"	47,63	13,98
2"	50,80	15,91
2.1/16"	52,39	16,92
2.1/8"	53,98	17,96
2.1/4"	57,15	20,14
2.5/16"	58,74	21,28
2.3/8"	60,33	22,43
2.7/16"	61,91	23,63
2.1/2"	63,50	24,86

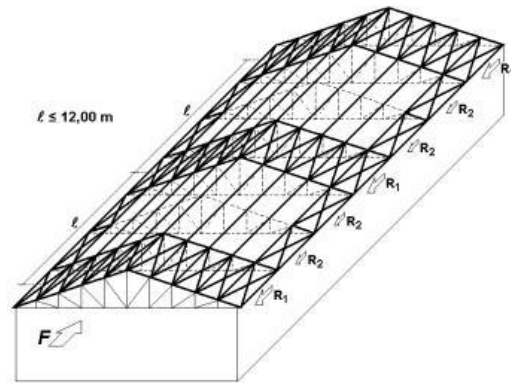
Barras com 5 a 7m

Normas: NBR 7007 MR 250 / ASTM A-36, SAE 1020 e SAE 1045

Bitola		Peso teórico kg/m
pol.	mm	
2.9/16"	65,09	26,11
2.5/8"	66,68	27,40
2.3/4"	69,85	30,08
2.7/8"	73,03	32,87
3"	76,20	35,79
3.1/8"	79,38	38,84
3.1/4"	82,55	42,01
3.1/2"	88,90	48,73
3.3/4"	95,25	55,88
4"	101,60	63,58
4.1/4"	107,95	71,78
4.1/2"	114,30	80,47
4.3/4"	120,65	89,66
5"	127,00	99,80
*	130,00	104,17
5.1/4"	133,35	109,50
5.1/2"	139,70	120,20
5.3/4"	146,05	131,40
6"	152,40	143,10
6.1/4"	158,75	155,20
6.1/2"	165,10	167,90
6.3/4"	171,45	181,10
7"	177,80	194,70
7.1/2"	190,50	223,80
8"	203,20	254,60
8.1/2"	215,90	287,40
9"	228,60	322,10
9.1/2"	241,30	359,00
10"	254,00	397,80

Trabalho somente à tração.

Usado em contraventamentos de coberturas e em alguns casos para contraventar pilares e pórticos.



Curso de Projeto e Cálculo de Estruturas metálicas

PERFIS ESTRUTURAIS LAMINADOS

Barra Redonda Laminada



Bitola		Peso teórico kg/m
pol.	mm	
1/4"	6,35	0,25
5/16"	7,94	0,39
3/8"	9,53	0,56
1/2"	12,70	0,99
9/16"	14,29	1,26
5/8"	15,88	1,56
11/16"	17,46	1,88
3/4"	19,05	2,24
7/8"	22,23	3,05
1"	25,40	3,98
1.1/8"	28,58	5,04
1.1/4"	31,75	6,22
1.5/16"	33,34	6,85
1.3/8"	34,93	7,52
1.7/16"	36,51	8,22
1.1/2"	38,10	8,95
1.9/16"	39,69	9,71
1.5/8"	41,28	10,50
1.3/4"	44,45	12,18
1.13/16"	46,04	13,06
1.7/8"	47,63	13,98
2"	50,80	15,91
2.1/16"	52,39	16,92
2.1/8"	53,98	17,96
2.1/4"	57,15	20,14
2.5/16"	58,74	21,28
2.3/8"	60,33	22,43
2.7/16"	61,91	23,63
2.1/2"	63,50	24,86

Bitola		Peso teórico kg/m
pol.	mm	
2.9/16"	65,09	26,11
2.5/8"	66,68	27,40
2.3/4"	69,85	30,08
2.7/8"	73,03	32,87
3"	76,20	35,79
3.1/8"	79,38	38,84
3.1/4"	82,55	42,01
3.1/2"	88,90	48,73
3.3/4"	95,25	55,88
4"	101,60	63,58
4.1/4"	107,95	71,78
4.1/2"	114,30	80,47
4.3/4"	120,65	89,66
5"	127,00	99,80
*	130,00	104,17
5.1/4"	133,35	109,50
5.1/2"	139,70	120,20
5.3/4"	146,05	131,40
6"	152,40	143,10
6.1/4"	158,75	155,20
6.1/2"	165,10	167,90
6.3/4"	171,45	181,10
7"	177,80	194,70
7.1/2"	190,50	223,80
8"	203,20	254,60
8.1/2"	215,90	287,40
9"	228,60	322,10
9.1/2"	241,30	359,00
10"	254,00	397,80

Barras com 5 a 7m

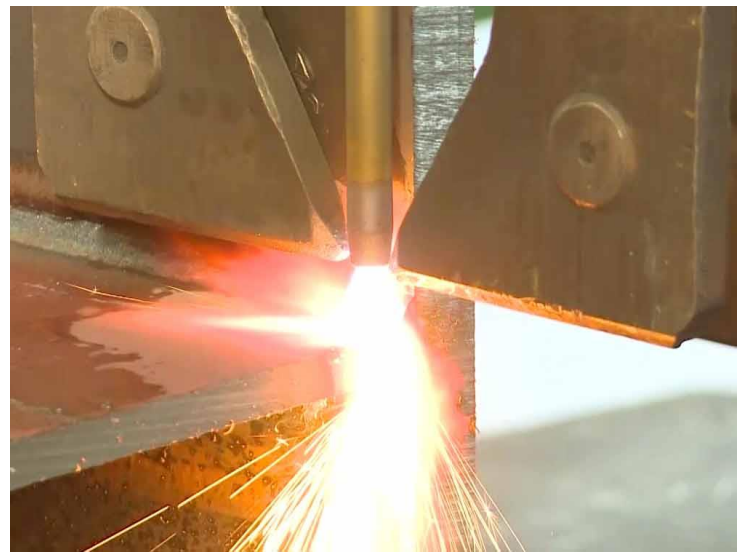
Normas: NBR 7007 MR 250 / ASTM A-36, SAE 1020 e SAE 1045

Trabalho somente à tração.

Usado em contraventamentos de coberturas e em alguns casos para contraventar pilares e pórticos.

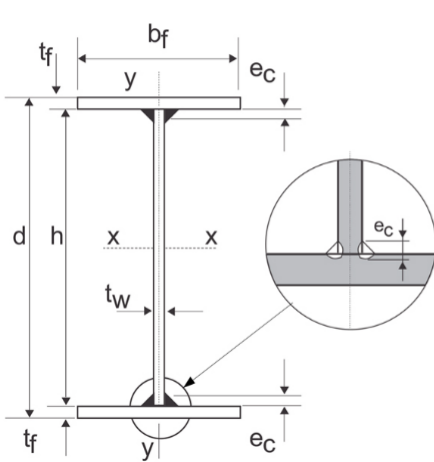
Curso de Projeto e Cálculo de Estruturas metálicas

PERFIS ESTRUTURAIS SOLDADOS



Curso de Projeto e Cálculo de Estruturas metálicas

PERFIS ESTRUTURAIS SOLDADOS



Abreviaturas e propriedades

- d** : Altura do Perfil
b_f : Largura da Mesa
t_w : Espessura da alma
t_f : Espessura da mesa
h : Altura da alma
***e_c** : Perna efetiva do cordão de solda (dimensão efetiva mínima do filete, compatível com a maior espessura do metal base na junta).
A : Área da seção transversal
P : Peso do perfil por metro linear, excluindo peso dos filetes de solda.
U : Área de pintura por metro linear.
EIXO_{xx} : Linha paralela à mesa, que passa pelo centro de gravidade da seção transversal do perfil
EIXO_{yy} : Linha perpendicular ao eixo x-x que passa pelo centro de gravidade da seção transversal do perfil.
- I_x** = Momento de inércia em relação ao eixo x-x
W_x = $2I_x/d$ - Módulo de resistência elástico da seção em relação ao eixo x-x
r_x = $\sqrt{(I_x/A)}$ Raio de giração em relação ao eixo x-x
Z_x = Módulo de resistência plástico em relação ao eixo x-x
I_y = Momento de inércia em relação ao eixo y-y
W_y = $2I_y/b_r$ - Módulo de resistência elástico da seção em relação ao eixo y-y
r_y = $\sqrt{(I_y/A)}$ Raio de giração em relação ao eixo y-x
Z_y = Módulo de resistência plástico em relação ao eixo y-y
r_T = Raio de giração da seção formada pela mesa comprimida mais 1/6 da alma em relação ao eixo y-y
I_T = $[(h+t_f) \cdot t_w^3 + 2 \cdot b_f \cdot t_f^3]/3$ - Momento de inércia à torção
* A resistência dos dois filetes mínimos em alguns perfis não corresponde à resistência máxima da alma ao cisalhamento.

Tipos:

CS – Coluna Soldada (d/bf ~ 1)

VS – Viga Soldada (d/bf ~ 2)

CVS – Coluna-Viga Soldada (d/bf ~ 1,5)

Podem ser elaborados perfis personalizados, com abas, e almas, nervuras, variação de seção, altura, furação, etc

PERFIS ESTRUTURAIS DOBRADOS



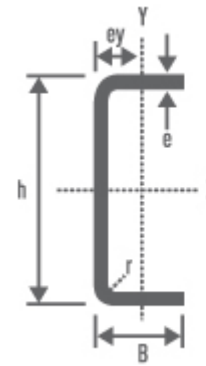
**CHAMADO PERFIL FORMADO A FRIO OU PFF
CÁLCULO BASEADO EM NORMA ESPECÍFICA:
NBR14.762/2010**

CHAPAS FINAS: Em geral < 5mm
ESPESSURA CONSTANTE
MAIS LEVES.

PERFIS ESTRUTURAIS DOBRADOS

U DOBRADO SIMPLES

Dimensão			S	P	Jx	Wx	ix	ey	Jy	Wy	iY
h	B	e=r	cm ²	kg/m	cm ⁴	cm ³	cm	cm	cm ⁴	cm ³	cm
mm	mm	mm	cm ²	kg/m	cm ⁴	cm ³	cm	cm	cm ⁴	cm ³	cm
50	25	2,00	1,75	1,38	6,66	2,60	1,94	0,71	1,07	0,60	0,78
		2,25	2,07	1,62	7,70	3,00	1,92	0,73	1,26	0,71	0,77
		2,65	2,38	1,86	8,66	3,40	1,90	0,75	1,43	0,82	0,77
		3,00	2,67	2,10	9,55	3,80	1,88	0,77	1,59	0,92	0,77
75	38	2,00	2,80	2,20	25,10	6,60	2,99	1,12	4,55	1,58	1,27
		2,25	3,32	2,61	29,43	7,80	2,97	1,14	5,37	1,88	1,27
		2,65	3,84	3,01	33,56	8,90	2,95	1,16	6,15	2,17	1,26
		3,00	4,35	3,41	37,49	9,90	2,93	1,18	6,91	2,45	1,26
		4,75	6,48	5,09	52,75	14,00	2,85	1,27	10,00	3,66	1,24
100	40	2,00	3,27	2,57	49,01	9,80	3,86	0,97	4,99	1,65	1,23
		2,25	3,89	3,06	57,67	11,50	3,84	0,99	5,89	1,96	1,22
		2,65	4,51	3,54	65,99	13,10	3,82	1,01	6,76	2,26	1,22
		3,00	5,11	4,01	73,99	14,70	3,80	1,03	7,61	2,56	1,22
		4,75	7,67	6,02	105,90	21,10	3,71	1,11	11,09	3,84	1,20
100	50	2,00	3,65	2,87	58,15	11,60	3,98	1,34	9,24	2,52	1,58
		2,25	4,35	3,41	68,55	13,70	3,96	1,36	10,94	3,00	1,58
		2,65	5,04	3,95	78,60	15,70	3,94	1,38	12,59	3,48	1,58
		3,00	5,71	4,48	88,29	17,60	3,92	1,40	14,20	3,94	1,57
		4,75	8,63	6,77	127,50	25,40	3,84	1,48	20,89	5,84	1,55
127	50	2,00	4,17	3,27	101,30	15,90	4,92	1,19	9,94	2,61	1,54
		2,25	4,97	3,90	119,60	18,80	4,90	1,20	11,78	3,10	1,53
		2,65	5,76	4,52	137,50	21,60	4,88	1,22	13,57	3,59	1,53
		3,00	6,53	5,13	154,80	24,30	4,86	1,24	15,32	4,08	1,53
		4,75	9,91	7,78	225,90	35,50	4,77	1,32	22,66	6,16	1,51
150	50	2,00	4,60	3,61	149,90	19,90	5,70	1,08	10,42	2,66	1,50
		2,25	5,49	4,31	177,40	23,60	5,68	1,10	12,35	3,17	1,49
		2,65	6,37	5,00	204,10	27,20	5,65	1,12	14,24	3,67	1,49
		3,00	7,23	5,68	230,10	30,60	5,63	1,13	16,08	4,16	1,49
		4,75	11,01	8,64	338,00	45,00	5,54	1,21	23,84	6,30	1,47
200	50	2,00	5,55	4,39	299,30	29,90	7,33	0,91	11,20	2,74	1,41
		2,25	6,63	5,20	354,90	35,40	7,31	0,93	13,28	3,26	1,41
		2,65	7,70	6,04	409,30	40,90	7,28	0,95	15,32	3,78	1,41
		3,00	8,75	6,87	462,40	46,20	7,26	0,96	17,31	4,29	1,40
		4,75	13,39	10,51	686,20	68,60	7,15	1,04	25,76	6,51	1,38



S = área de secção

P = peso estimado por metro

Jx = momento de inércia (eixo X)

Wx = módulo de resistência (eixo X)

ix = raio de giro (eixo X)

ey = distância da linha neutra

Jy = momento de inércia (eixo Y)

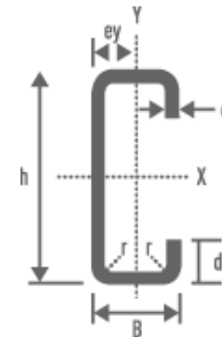
Wy = módulo de resistência (eixo Y)

iy = raio de giro (eixo Y)

PERFIS ESTRUTURAIS DOBRADOS

U DOBRADO ENRIJECIDO

Dimensão				S	P	Jx	Wx	i _x	e _y	J _y	W _y	i _y
h	B	d	e=r	cm ²	kg/m	cm ⁴	cm ³	cm	cm	cm ⁴	cm ³	cm
mm	mm	mm	mm									
50	25	10	2,00	2,00	1,57	7,40	2,96	1,92	0,92	1,68	1,06	0,92
			2,25	2,33	1,83	8,40	3,36	1,90	0,92	1,87	1,18	0,90
			2,65	2,64	2,07	9,28	3,71	1,88	0,91	2,02	1,28	0,88
			3,00	2,92	2,30	10,04	4,01	1,85	0,91	2,15	1,35	0,86
75	40	15	2,00	3,23	2,54	28,46	7,59	2,97	1,50	7,43	2,97	1,52
			2,25	3,81	2,99	33,01	8,80	2,94	1,49	8,52	3,40	1,50
			2,65	4,37	3,43	37,25	9,93	2,92	1,49	9,50	3,78	1,48
			3,00	4,90	3,85	41,18	10,98	2,90	1,48	10,38	4,13	1,46
100	50	17	2,00	4,16	3,27	66,05	13,20	3,98	1,78	14,87	4,61	1,89
			2,25	4,93	3,87	77,21	15,44	3,96	1,77	17,21	5,33	1,87
			2,65	5,67	4,45	87,80	17,56	3,94	1,77	19,36	5,99	1,85
			3,00	6,39	5,02	97,83	19,57	3,91	1,76	21,35	6,59	1,83
127	50	17	2,00	4,68	3,67	115,45	18,18	4,97	1,59	16,17	4,74	1,86
			2,25	5,54	4,35	135,33	21,31	4,94	1,59	18,71	5,48	1,84
			2,65	6,39	5,01	154,31	24,30	4,92	1,58	21,07	6,17	1,82
			3,00	7,21	5,66	172,40	27,15	4,89	1,58	23,24	6,79	1,80
150	60	20	2,00	5,61	4,40	195,38	26,05	5,90	1,92	28,36	6,95	2,25
			2,25	6,66	5,23	229,93	30,66	5,88	1,91	33,03	8,08	2,23
			2,65	7,69	6,04	263,19	35,09	5,85	1,91	37,42	9,15	2,21
			3,00	8,70	6,83	295,19	39,36	5,82	1,91	41,53	10,14	2,18
200	75	25	2,65	10,08	7,92	614,20	61,42	7,80	2,32	77,80	15,02	2,78
			3,00	11,44	8,98	691,93	69,19	7,78	2,32	86,90	16,76	2,76
			3,35	12,76	10,02	766,84	76,68	7,75	2,31	95,46	18,40	2,73
			3,75	14,07	11,04	839,21	83,92	7,72	2,31	103,55	19,94	2,71
			4,25	15,35	12,05	909,31	90,93	7,70	2,30	111,20	21,40	2,69
			4,75	17,26	13,55	1012,80	101,28	7,66	2,30	123,17	23,67	2,67



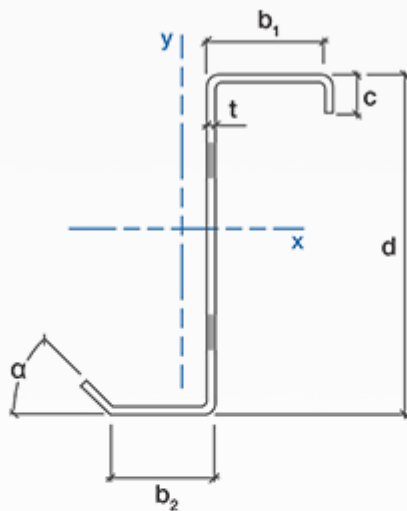
S = área de seção
P = peso estimado por metro
J_x = momento de inércia (eixo X)
W_x = módulo de resistência (eixo X)
i_x = raio de giro (eixo X)
e_y = distância da linha neutra
J_y = momento de inércia (eixo Y)
W_y = módulo de resistência (eixo Y)
i_y = raio de giro (eixo Y)

Curso de Projeto e Cálculo de Estruturas metálicas

PERFIS ESTRUTURAIS DOBRADOS

Z DOBRADO ENRIJECIDO

PERFIS TIPO Z



Altura (d)	100 a 400mm
Mesa Superior (b1)	50 a 100mm
Mesa Inferior (b2)	50 a 100mm
Enrijecedores (c)	18 a 24mm
Espessura (t)	2,00 a 3,65mm
Ângulo Enrijecedor (α)	55° a 90°

Curso de Projeto e Cálculo de Estruturas metálicas

PROPRIEDADES GEOMÉTRICAS:

MÉTODOS DE OBTENÇÃO:

Método 1 – TABELAS DE PERFIS

Método 2 – Manualmente

Método 3 – Utilizando um software CAD

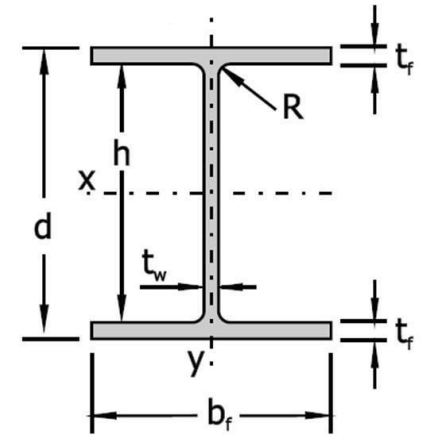
PROPRIEDADES GEOMÉTRICAS:

ÁREA DE SEÇÃO TRANSVERSAL:

Representa a quantidade de material existente num perfil.

Expressos em cm^2 , geralmente encontra-se em todas as tabelas de perfis.

IMPORTANTE NO CÁLCULO DE RESISTÊNCIA À TRAÇÃO

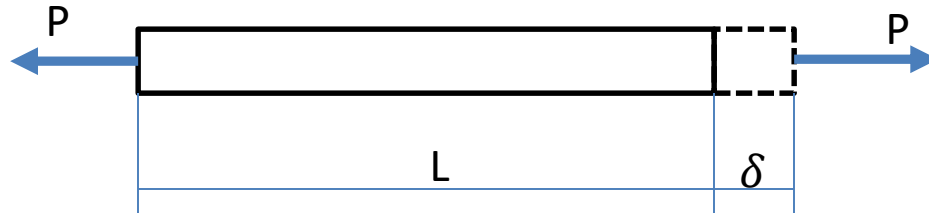


PROPRIEDADES GEOMÉTRICAS:

Alongamento de uma barra qualquer:

Se a tensão de tração for uniformemente distribuída e constante e o material for sempre o mesmo com mesma seção transversal o alongamento de uma barra sobmetida à tração axial (dentro do regime elástico) se dará por:

$$\delta = \frac{P \cdot L}{E \cdot A}$$

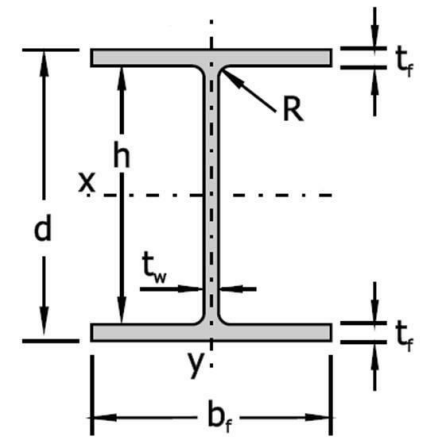


PROPRIEDADES GEOMÉTRICAS:

Centro de Gravidade (CG):

Representa o ponto de convergência das forças gravitacionais numa figura geométrica qualquer.

Importante para extrair outras propriedades



PROPRIEDADES GEOMÉTRICAS:

Momento de inércia I_x e I_y

Representa a quantidade de material que se deposita fora do centro de gravidade.

Quanto mais material longe do centro de gravidade, maior o momento de inércia

IMPORTANTE NO CÁLCULO DE FLECHAS E TENSÕES EM PONTOS ESPECÍFICOS

Momento de Inércia

Pela primeira lei de Newton, um corpo tende a permanecer em velocidade constante até que uma força mude sua aceleração linear. Portanto:

$$F = m \cdot a \rightarrow F = m \cdot \frac{\Delta v}{\Delta t}$$

A mesma lógica se aplica à mudança de velocidade angular

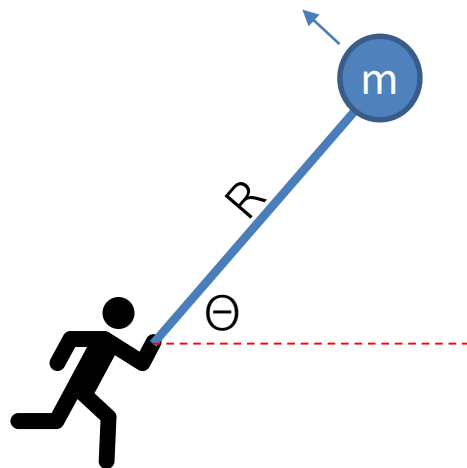
$$V = \omega \cdot R$$

$$F = m \cdot \frac{\Delta(\omega \cdot R)}{\Delta t}$$

$$F \cdot R = m \cdot R^2 \cdot \frac{\Delta(\omega)}{\Delta t}$$

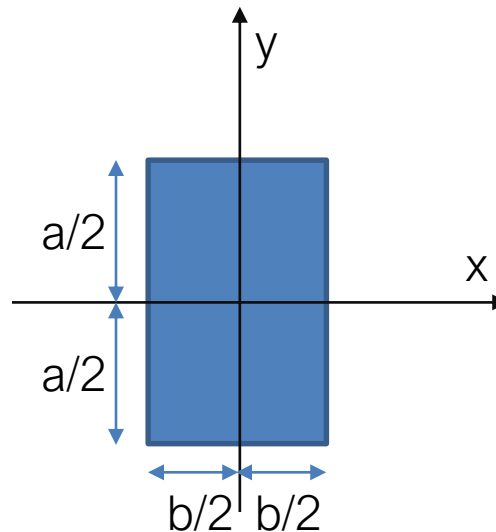
$$M = m \cdot R^2 \cdot \alpha$$

$$M = I \cdot \alpha \quad I = m \cdot R^2$$



Momento de Inércia

Figuras geométricas planas, podemos expressar o momento de inércia com a seguinte expressão

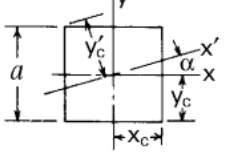
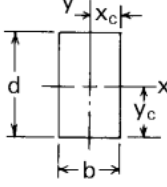
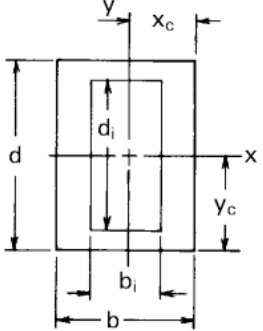


$$I_x = \int y^2 \cdot dA$$

$$I_y = \int x^2 \cdot dA$$

$$I_x = \int y^2 \cdot dA \rightarrow 2 \cdot \int_0^{a/2} b \cdot y^2 dy \rightarrow 2 \cdot b \frac{y^3}{3} = 2 \cdot b \cdot \frac{\left(\frac{a}{2}\right)^3}{3} = 2 \cdot b \cdot \frac{a^3}{8 \cdot 3} = \frac{b \cdot a^3}{12}$$

$$\text{Do mesmo modo: } I_y = \frac{a \cdot b^3}{12}$$

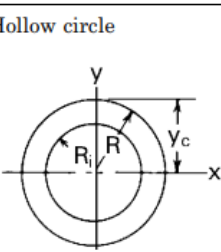
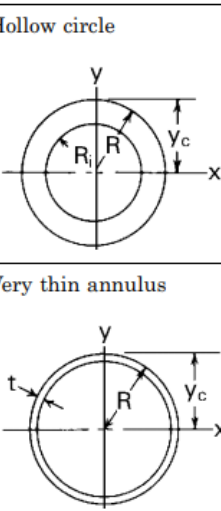
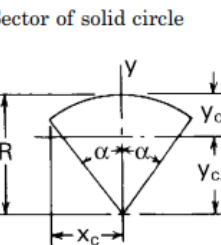
Form of section	Area and distances from centroid to extremities	Moments and products of inertia and radii of gyration about central axes	Plastic section moduli, shape factors, and locations of plastic neutral axes
1. Square	$A = a^2$ $y_c = x_c = \frac{a}{2}$ $y'_c = 0.707a \cos\left(\frac{\pi}{4} - \alpha\right)$ 	$I_x = I_y = I'_x = \frac{1}{12}a^4$ $r_x = r_y = r'_x = 0.2887a$	$Z_x = Z_y = 0.25a^3$ $SF_x = SF_y = 1.5$
2. Rectangle	$A = bd$ $y_c = \frac{d}{2}$ $x_c = \frac{b}{2}$ 	$I_x = \frac{1}{12}bd^3$ $I_y = \frac{1}{12}db^3$ $I_x > I_y \quad \text{if } d > b$ $r_x = 0.2887d$ $r_y = 0.2887b$	$Z_x = 0.25bd^2$ $Z_y = 0.25db^2$ $SF_x = SF_y = 1.5$
3. Hollow rectangle	$A = bd - b_i d_i$ $y_c = \frac{d}{2}$ $x_c = \frac{b}{2}$ 	$I_x = \frac{bd^3 - b_i d_i^3}{12}$ $I_y = \frac{db^3 - d_i b_i^3}{12}$ $r_x = \left(\frac{I_x}{A}\right)^{1/2}$ $r_y = \left(\frac{I_y}{A}\right)^{1/2}$	$Z_x = \frac{bd^2 - b_i d_i^2}{4}$ $SF_x = \frac{Z_x d}{2I_x}$ $Z_y = \frac{db^2 - d_i b_i^2}{4}$ $SF_y = \frac{Z_y b}{2I_y}$

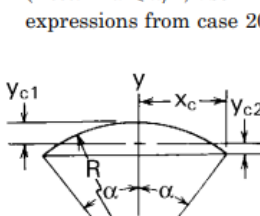
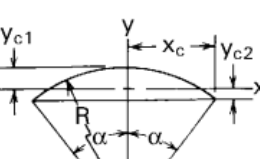
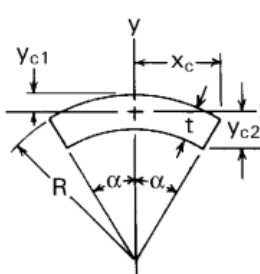
<p>4. Tee section</p>	$A = tb + t_w d$ $y_c = \frac{bt^2 + t_w d(2t + d)}{2(tb + t_w d)}$ $x_c = \frac{b}{2}$	$I_x = \frac{b}{3}(d+t)^3 - \frac{d^3}{3}(b-t_w) - A(d+t-y_c)^2$ $I_y = \frac{tb^3}{12} + \frac{dt_w^3}{12}$ $r_x = \left(\frac{I_x}{A}\right)^{1/2}$ $r_y = \left(\frac{I_y}{A}\right)^{1/2}$	<p>If $t_w d \geq bt$, then</p> $Z_x = \frac{d^2 t_w}{4} - \frac{b^2 t^2}{4t_w} + \frac{bt(d+t)}{2}$ <p>Neutral axis x is located a distance $(bt/t_w + d)/2$ from the bottom.</p> <p>If $t_w d \leq bt$, then</p> $Z_x = \frac{t^2 b}{4} + \frac{t_w d(t+d-t_w d/2b)}{2}$ <p>Neutral axis x is located a distance $(t_w d/b + t)/2$ from the top.</p> $\text{SF}_x = \frac{Z_x(d+t-y_c)}{I_1}$ $Z_y = \frac{b^2 t + t_w^2 d}{4}$ $\text{SF}_y = \frac{Z_y b}{2I_y}$
<p>5. Channel section</p>	$A = tb + 2t_w d$ $y_c = \frac{bt^2 + 2t_w d(2t + d)}{2(tb + 2t_w d)}$ $x_c = \frac{b}{2}$	$I_x = \frac{b}{3}(d+t)^3 - \frac{d^3}{3}(b-2t_w) - A(d+t-y_c)^2$ $I_y = \frac{(d+t)b^3}{12} - \frac{d(b-2t_w)^3}{12}$ $r_x = \left(\frac{I_x}{A}\right)^{1/2}$ $r_y = \left(\frac{I_y}{A}\right)^{1/2}$	<p>If $2t_w d \geq bt$, then</p> $Z_x = \frac{d^2 t_w}{2} - \frac{b^2 t^2}{8t_w} + \frac{bt(d+t)}{2}$ <p>Neutral axis x is located a distance $(bt/2t_w + d)/2$ from the bottom.</p> <p>If $2t_w d \leq bt$, then</p> $Z_x = \frac{t^2 b}{4} + t_w d\left(t+d-\frac{t_w d}{b}\right)$ <p>Neutral axis x is located a distance $t_w d/b + t/2$ from the top.</p> $\text{SF}_x = \frac{Z_x(d+t-y_c)}{I_x}$ $Z_y = \frac{b^2 t}{4} + t_w d(b-t_w)$ $\text{SF}_y = \frac{Z_y b}{2I_y}$

Form of section	Area and distances from centroid to extremities	Moments and products of inertia and radii of gyration about central axes	Plastic section moduli, shape factors, and locations of plastic neutral axes
6. Wide-flange beam with equal flanges	$A = 2bt + t_w d$ $y_c = \frac{d}{2} + t$ $x_c = \frac{b}{2}$	$I_x = \frac{b(d+2t)^3}{12} - \frac{(b-t_w)d^3}{12}$ $I_y = \frac{b^3 t}{6} + \frac{t_w^3 d}{12}$ $r_x = \left(\frac{I_x}{A} \right)^{1/2}$ $r_y = \left(\frac{I_y}{A} \right)^{1/2}$	$Z_x = \frac{t_w d^2}{4} + bt(d+t)$ $SF_x = \frac{Z_x y_c}{I_x}$ $Z_y = \frac{b^2 t}{2} + \frac{t_w^2 d}{4}$ $SF_y = \frac{Z_y x_c}{I_y}$
7. Equal-legged angle	$A = t(2a - t)$ $y_{c1} = \frac{0.7071(a^2 + at - t^2)}{2a - t}$ $y_{c2} = \frac{0.7071a^2}{2a - t}$ $x_c = 0.7071a$	$I_x = \frac{a^4 - b^4}{12} - \frac{0.5ta^2b^2}{a+b}$ $I_y = \frac{a^4 - b^4}{12} \quad \text{where } b = a - t$ $r_x = \left(\frac{I_x}{A} \right)^{1/2}$ $r_y = \left(\frac{I_y}{A} \right)^{1/2}$	<p>Let y_p be the vertical distance from the top corner to the plastic neutral axis. If $t/a \geq 0.40$, then</p> $y_p = a \left[\frac{t}{a} - \frac{(t/a)^2}{2} \right]^{1/2}$ $Z_x = A(y_{c1} - 0.6667y_p)$ <p>If $t/a \leq 0.4$, then</p> $y_p = 0.3536(a + 1.5t)$ $Z_x = Ay_{c1} - 2.8284y_p^2 t + 1.8856t^3$
8. Unequal-legged angle	$A = t(b + d - t)$ $x_c = \frac{b^2 + dt - t^2}{2(b + d - t)}$ $y_c = \frac{d^2 + bt - t^2}{2(b + d - t)}$	$I_x = \frac{1}{3}[bd^3 - (b-t)(d-t)^3] - A(d-y_c)^2$ $I_y = \frac{1}{3}[db^3 - (d-t)(b-t)^3] - A(b-x_c)^2$ $I_{xy} = \frac{1}{4}[b^2 d^2 - (b-t)^2 (d-t)^2] - A(b-x_c)(d-y_c)$ $r_x = \left(\frac{I_x}{A} \right)^{1/2}$ $r_y = \left(\frac{I_y}{A} \right)^{1/2}$	

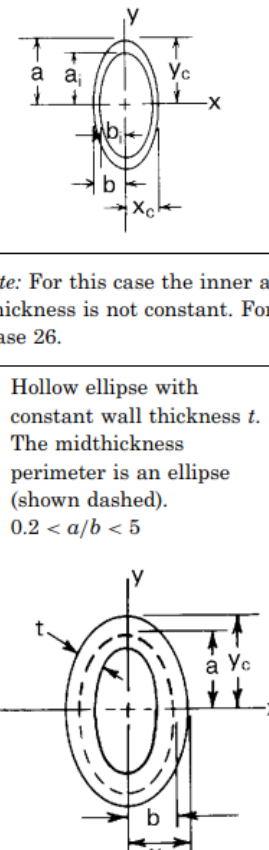
9. Equilateral triangle 	$A = 0.4330a^2$ $y_c = 0.5774a$ $x_c = 0.5000a$ $y'_c = 0.5774a \cos \alpha$	$I_x = I_y = I_{x'} = 0.01804a^4$ $r_x = r_y = r_{x'} = 0.2041a$	$Z_x = 0.0732a^3, \quad Z_y = 0.0722a^3$ $\text{SF}_x = 2.343, \quad \text{SF}_y = 2.000$ <p>Neutral axis x is $0.2537a$ from the base.</p>
10. Isosceles triangle 	$A = \frac{bd}{2}$ $y_c = \frac{2}{3}d$ $x_c = \frac{b}{2}$	$I_x = \frac{1}{36}bd^3$ $I_y = \frac{1}{48}db^3$ $I_x > I_y \quad \text{if } d > 0.866b$ $r_x = 0.2357d$ $r_y = 0.2041b$	$Z_x = 0.097bd^2, \quad Z_y = 0.0833db^2$ $\text{SF}_x = 2.343, \quad \text{SF}_y = 2.000$ <p>Neutral axis x is $0.2929d$ from the base.</p>
11. Triangle 	$A = \frac{bd}{2}$ $y_c = \frac{2}{3}d$ $x_c = \frac{2}{3}b - \frac{1}{3}a$	$I_x = \frac{1}{36}bd^3$ $I_y = \frac{1}{36}bd(b^2 - ab + a^2)$ $I_{xy} = \frac{1}{72}bd^2(b - 2a)$ $\theta_x = \frac{1}{2}\tan^{-1} \frac{d(b-2a)}{b^2-ab+a^2-d^2}$ $r_x = 0.2357d$ $r_y = 0.2357\sqrt{b^2 - ab + a^2}$	
12. Parallelogram 	$A = bd$ $y_c = \frac{d}{2}$ $x_c = \frac{1}{2}(b + a)$	$I_x = \frac{1}{12}bd^3$ $I_y = \frac{1}{12}bd(b^2 + a^2)$ $I_{xy} = -\frac{1}{12}abd^2$ $\theta_x = \frac{1}{2}\tan^{-1} \frac{-2ad}{b^2 + a^2 - d^2}$ $r_x = 0.2887d$ $r_y = 0.2887\sqrt{b^2 + a^2}$	

Form of section	Area and distances from centroid to extremities	Moments and products of inertia and radii of gyration about central axes	Plastic section moduli, shape factors, and locations of plastic neutral axes
13. Diamond	<p>Area and distances from centroid to extremities</p> $A = \frac{bd}{2}$ $y_c = \frac{d}{2}$ $x_c = \frac{b}{2}$	<p>Moments and products of inertia and radii of gyration about central axes</p> $I_x = \frac{1}{48} bd^3$ $I_y = \frac{1}{48} db^3$ $r_x = 0.2041d$ $r_y = 0.2041b$	<p>Plastic section moduli, shape factors, and locations of plastic neutral axes</p> $Z_x = 0.0833bd^2, \quad Z_y = 0.0833db^2$ $SF_x = SF_y = 2.000$
14. Trapezoid	<p>Area and distances from centroid to extremities</p> $A = \frac{d}{2}(b + c)$ $y_c = \frac{d(2b + c)}{3(b + c)}$ $x_c = \frac{2b^2 + 2bc - ab - 2ac - c^2}{3(b + c)}$	<p>Moments and products of inertia and radii of gyration about central axes</p> $I_x = \frac{d^3}{36} \frac{b^2 + 4bc + c^2}{b + c}$ $I_y = \frac{d}{36(b + c)} [b^4 + c^4 + 2bc(b^2 + c^2) - a(b^3 + 3b^2c - 3bc^2 - c^3) + a^2(b^2 + 4bc + c^2)]$ $I_{xy} = \frac{d^2}{72(b + c)} [c(3b^2 - 3bc - c^2) + b^3 - a(2b^2 + 8bc + 2c^2)]$	
15. Solid circle	<p>Area and distances from centroid to extremities</p> $A = \pi R^2$ $y_c = R$	<p>Moments and products of inertia and radii of gyration about central axes</p> $I_x = I_y = \frac{\pi}{4} R^4$ $r_x = r_y = \frac{R}{2}$	<p>Plastic section moduli, shape factors, and locations of plastic neutral axes</p> $Z_x = Z_y = 1.333R^3$ $SF_x = 1.698$

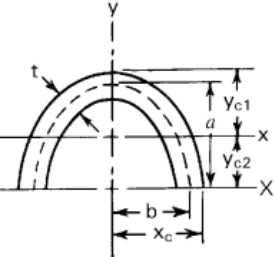
16. Hollow circle	$A = \pi(R^2 - R_i^2)$ $y_c = R$ 	$I_x = I_y = \frac{\pi}{4}(R^4 - R_i^4)$ $r_x = r_y = \frac{1}{2}\sqrt{R^2 + R_i^2}$	$Z_x = Z_y = 1.333(R^3 - R_i^3)$ $SF_x = 1.698 \frac{R^4 - R_i^3 R}{R^4 - R_i^4}$
17. Very thin annulus	$A = 2\pi R t$ $y_c = R$ 	$I_x = I_y = \pi R^3 t$ $r_x = r_y = 0.707R$	$Z_x = Z_y = 4R^2 t$ $SF_x = SF_y = \frac{4}{\pi}$
18. Sector of solid circle	$A = \alpha R^2$ $y_{c1} = R\left(1 - \frac{2 \sin \alpha}{3\alpha}\right)$ $y_{c2} = \frac{2R \sin \alpha}{3\alpha}$ $x_c = R \sin \alpha$ 	$I_x = \frac{R^4}{4} \left(\alpha + \sin \alpha \cos \alpha - \frac{16 \sin^2 \alpha}{9\alpha}\right)$ $I_y = \frac{R^4}{4} (\alpha - \sin \alpha \cos \alpha)$ <p>(Note: If α is small, $\alpha - \sin \alpha \cos \alpha = \frac{2}{3}\alpha^3 - \frac{2}{15}\alpha^5$)</p> $r_x = \frac{R}{2} \sqrt{1 + \frac{\sin \alpha \cos \alpha}{\alpha} - \frac{16 \sin^2 \alpha}{9\alpha^2}}$ $r_y = \frac{R}{2} \sqrt{1 - \frac{\sin \alpha \cos \alpha}{\alpha}}$	<p>If $\alpha \leqslant 54.3^\circ$, then</p> $Z_x = 0.6667 R^3 \left[\sin \alpha - \left(\frac{\alpha^3}{2 \tan \alpha} \right)^{1/2} \right]$ <p>Neutral axis x is located a distance $R(0.5\alpha / \tan \alpha)^{1/2}$ from the vertex.</p> <p>If $\alpha \geqslant 54.3^\circ$, then</p> $Z_x = 0.6667 R^3 (2 \sin^3 \alpha_1 - \sin \alpha)$ where the expression $2\alpha_1 - \sin 2\alpha_1 = \alpha$ is solved for the value of α_1 . <p>Neutral axis x is located a distance $R \cos \alpha_1$ from the vertex.</p> <p>If $\alpha \leqslant 73.09^\circ$, then $SF_x = \frac{Z_x y_{c2}}{I_x}$</p> <p>If $73.09^\circ \leqslant \alpha \leqslant 90^\circ$, then $SF_x = \frac{Z_x y_{c1}}{I_x}$</p> $Z_y = 0.6667 R^3 (1 - \cos \alpha)$ <p>If $\alpha \leqslant 90^\circ$, then</p> $SF_y = 2.6667 \sin \alpha \frac{1 - \cos \alpha}{\alpha - \sin \alpha \cos \alpha}$ <p>If $\alpha \geqslant 90^\circ$, then</p> $SF_y = 2.6667 \frac{1 - \cos \alpha}{\alpha - \sin \alpha \cos \alpha}$

Form of section	Area and distances from centroid to extremities	Moments and products of inertia and radii of gyration about central axes	Plastic section moduli, shape factors, and locations of plastic neutral axes
19. Segment of solid circle <i>(Note: If $\alpha \leq \pi/4$, use expressions from case 20)</i> 	$A = R^2(\alpha - \sin \alpha \cos \alpha)$ $y_{c1} = R \left[1 - \frac{2 \sin^3 \alpha}{3(\alpha - \sin \alpha \cos \alpha)} \right]$ $y_{c2} = R \left[\frac{2 \sin^3 \alpha}{3(\alpha - \sin \alpha \cos \alpha)} - \cos \alpha \right]$ $x_c = R \sin \alpha$	$I_x = \frac{R^4}{4} \left[\alpha - \sin \alpha \cos \alpha + 2 \sin^3 \alpha \cos \alpha - \frac{16 \sin^6 \alpha}{9(\alpha - \sin \alpha \cos \alpha)} \right]$ $I_y = \frac{R^4}{12} (3\alpha - 3 \sin \alpha \cos \alpha - 2 \sin^3 \alpha \cos \alpha)$ $r_x = \frac{R}{2} \sqrt{1 + \frac{2 \sin^3 \alpha \cos \alpha}{\alpha - \sin \alpha \cos \alpha} - \frac{16 \sin^6 \alpha}{9(\alpha - \sin \alpha \cos \alpha)^2}}$ $r_y = \frac{R}{2} \sqrt{1 - \frac{2 \sin^3 \alpha \cos \alpha}{3(\alpha - \sin \alpha \cos \alpha)}}$	
20. Segment of solid circle <i>(Note: Do not use if $\alpha > \pi/4$)</i> 	$A = \frac{2}{3} R^2 x^3 (1 - 0.2x^2 + 0.019x^4)$ $y_{c1} = 0.3R\alpha^2(1 - 0.0976x^2 + 0.0028x^4)$ $y_{c2} = 0.2R\alpha^2(1 - 0.0619x^2 + 0.0027x^4)$ $x_c = R\alpha(1 - 0.1667x^2 + 0.0083x^4)$	$I_x = 0.01143R^4\alpha^7(1 - 0.3491x^2 + 0.0450x^4)$ $I_y = 0.1333R^4\alpha^5(1 - 0.4762x^2 + 0.1111x^4)$ $r_x = 0.1309R\alpha^2(1 - 0.0745x^2)$ $r_y = 0.4472R\alpha(1 - 0.1381x^2 + 0.0184x^4)$	
21. Sector of hollow circle 	$A = \alpha t(2R - t)$ $y_{c1} = R \left[1 - \frac{2 \sin \alpha}{3\alpha} \left(1 - \frac{t}{R} + \frac{1}{2 - t/R} \right) \right]$ $y_{c2} = R \left[\frac{2 \sin \alpha}{3\alpha(2 - t/R)} + \left(1 - \frac{t}{R} \right) \frac{2 \sin \alpha - 3\alpha \cos \alpha}{3\alpha} \right]$ $x_c = R \sin \alpha$ <p><i>(Note: If t/R is small, α can exceed π to form an overlapped annulus)</i></p>	$I_x = R^3 t \left[\left(1 - \frac{3t}{2R} + \frac{t^2}{R^2} - \frac{t^3}{4R^3} \right) \right.$ $\times \left(\alpha + \sin \alpha \cos \alpha - \frac{2 \sin^2 \alpha}{\alpha} \right)$ $\left. + \frac{t^2 \sin^2 \alpha}{3R^2 \alpha(2 - t/R)} \left(1 - \frac{t}{R} + \frac{t^2}{6R^2} \right) \right]$ $I_y = R^3 t \left(1 - \frac{3t}{2R} + \frac{t^2}{R^2} - \frac{t^3}{4R^3} \right) (\alpha - \sin \alpha \cos \alpha)$ $r_x = \sqrt{\frac{I_x}{A}}, \quad r_y = \sqrt{\frac{I_y}{A}}$	

	<p>Note: If α is small:</p> $\frac{\sin \alpha}{\alpha} = 1 - \frac{\alpha^2}{6} + \frac{\alpha^4}{120}, \quad \alpha - \sin \alpha \cos \alpha = \frac{2}{3} \alpha^3 \left(1 - \frac{\alpha^2}{5} + \frac{2\alpha^4}{105}\right), \quad \frac{\sin^2 \alpha}{\alpha} = \alpha \left(1 - \frac{\alpha^2}{3} + \frac{2\alpha^4}{45}\right)$ $\cos = 1 - \frac{\alpha^2}{2} + \frac{\alpha^4}{24}, \quad \alpha + \sin \alpha \cos \alpha - \frac{2 \sin^2 \alpha}{\alpha} = \frac{2\alpha^5}{45} \left(1 - \frac{\alpha^2}{7} + \frac{\alpha^4}{105}\right)$		
22. Solid semicircle	$A = \frac{\pi}{2} R^2$ $y_{c1} = 0.5756R$ $y_{c2} = 0.4244R$ $x_c = R$	$I_x = 0.1098R^4$ $I_y = \frac{\pi}{8} R^4$ $r_x = 0.2643R$ $r_y = \frac{R}{2}$	$Z_x = 0.3540R^3, \quad Z_y = 0.6667R^3$ $SF_x = 1.856, \quad SF_y = 1.698$ Plastic neutral axis x is located a distance $0.4040R$ from the base.
23. Hollow semicircle	$A = \frac{\pi}{2}(R^2 - R_i^2)$ $y_{c2} = \frac{4(R^3 - R_i^3)}{3\pi(R^2 - R_i^2)}$ or $y_{c2} = \frac{2b}{\pi} \left[1 + \frac{(t/b)^2}{12}\right]$ $y_{c1} = R - y_{c2}$ $x_c = R$ <p>Note: $b = \frac{R + R_i}{2}$ $t = R - R_i$</p>	$I_x = \frac{\pi}{8}(R^4 - R_i^4) - \frac{8(R^3 - R_i^3)^2}{9\pi(R^2 - R_i^2)}$ or $I_x = 0.2976tb^3 + 0.1805bt^3 - \frac{0.00884t^5}{b}$ $I_y = \frac{\pi}{8}(R^4 - R_i^4)$ or $I_y = 1.5708b^3t + 0.3927bt^3$	Let y_p be the vertical distance from the bottom to the plastic neutral axis. $y_p = (0.7071 - 0.2716C - 0.4299C^2 + 0.3983C^3)R$ $Z_x = (0.8284 - 0.9140C + 0.7245C^2 - 0.2850C^3)R^2$ where $C = t/R$ $Z_y = 0.6667(R^3 - R_i^3)$
24. Solid ellipse	$A = \pi ab$ $y_c = a$ $x_c = b$	$I_x = \frac{\pi}{4}ba^3$ $I_y = \frac{\pi}{4}ab^3$ $r_x = \frac{a}{2}$ $r_y = \frac{b}{2}$	$Z_x = 1.333a^2b, \quad Z_y = 1.333b^2a$ $SF_x = SF_y = 1.698$

Form of section	Area and distances from centroid to extremities	Moments and products of inertia and radii of gyration about central axes	Plastic section moduli, shape factors, and locations of plastic neutral axes
25. Hollow ellipse	$A = \pi(ab - a_i b_i)$ $y_c = a$ $x_c = b$	$I_x = \frac{\pi}{4}(ba^3 - b_i a_i^3)$ $I_y = \frac{\pi}{4}(ab^3 - a_i b_i^3)$ $r_x = \frac{1}{2} \sqrt{\frac{ba^3 - b_i a_i^3}{ab - a_i b_i}}$ $r_y = \frac{1}{2} \sqrt{\frac{ab^3 - a_i b_i^3}{ab - a_i b_i}}$	$Z_x = 1.333(a^2 b - a_i^2 b_i)$ $Z_y = 1.333(b^2 a - b_i^2 a_i)$ $SF_x = 1.698 \frac{a^3 b - a_i^2 b_i a}{a^3 b - a_i^3 b_i}$ $SF_y = 1.698 \frac{b^3 a - b_i^2 a_i b}{b^3 a - b_i^3 a_i}$
	<p>Note: For this case the inner and outer perimeters are both ellipses and the wall thickness is not constant. For a cross section with a constant wall thickness see case 26.</p> <p>26. Hollow ellipse with constant wall thickness t. The midthickness perimeter is an ellipse (shown dashed). $0.2 < a/b < 5$</p>  <p>$y_c = a + \frac{t}{2}$ $x_c = b + \frac{t}{2}$</p> <p>See the note on maximum wall thickness in case 27.</p>	$A = \pi t(a+b) \left[1 + K_1 \left(\frac{a-b}{a+b} \right)^2 \right]$ where $K_1 = 0.2464 + 0.002222 \left(\frac{a}{b} + \frac{b}{a} \right)$ $I_x = \frac{\pi}{4} t a^2 (a+3b) \left[1 + K_2 \left(\frac{a-b}{a+b} \right)^2 \right] + \frac{\pi}{16} t^3 (3a+b) \left[1 + K_3 \left(\frac{a-b}{a+b} \right)^2 \right]$ where $K_2 = 0.1349 + 0.1279 \frac{a}{b} - 0.01284 \left(\frac{a}{b} \right)^2$ $K_3 = 0.1349 + 0.1279 \frac{b}{a} - 0.01284 \left(\frac{b}{a} \right)^2$ For I_y interchange a and b in the expressions for I_x , K_2 , and K_3	$Z_x = 1.3333 t a (a+2b) \left[1 + K_4 \left(\frac{a-b}{a+b} \right)^2 \right] + \frac{t^3}{3}$ where $K_4 = 0.1835 + 0.895 \frac{a}{b} - 0.00978 \left(\frac{a}{b} \right)^2$ For Z_y interchange a and b in the expression for Z_x and K_4 .

27. Hollow semiellipse with constant wall thickness t . The midthickness perimeter is an ellipse (shown dashed). $0.2 < a/b < 5$



Note: There is a limit on the maximum wall thickness allowed in this case. Cusps will form in the perimeter at the ends of the major axis if this maximum is exceeded.

$$\text{If } \frac{a}{b} \leq 1, \text{ then } t_{\max} = \frac{2a^2}{b}$$

$$\text{If } \frac{a}{b} \geq 1, \text{ then } t_{\max} = \frac{2b^2}{a}$$

$$A = \frac{\pi}{2}t(a+b) \left[1 + K_1 \left(\frac{a-b}{a+b} \right)^2 \right]$$

where

$$K_1 = 0.2464 + 0.002222 \left(\frac{a}{b} + \frac{b}{a} \right)$$

$$y_{c2} = \frac{2a}{\pi} K_2 + \frac{t^2}{6\pi a} K_3$$

where

$$K_2 = 1 - 0.3314C + 0.0136C^2 + 0.1097C^3$$

$$K_3 = 1 + 0.9929C - 0.2287C^2 - 0.2193C^3$$

$$\text{Using } C = \frac{a-b}{a+b}$$

$$y_{c1} = a + \frac{t}{2} - y_{c2}$$

$$x_c = b + \frac{t}{2}$$

$$I_X = \frac{\pi}{8}ta^2(a+3b) \left[1 + K_4 \left(\frac{a-b}{a+b} \right)^2 \right]$$

$$+ \frac{\pi}{32}t^3(3a+b) \left[1 + K_5 \left(\frac{a-b}{a+b} \right)^2 \right]$$

where

$$K_4 = 0.1349 + 0.1279 \frac{a}{b} - 0.01284 \left(\frac{a}{b} \right)^2$$

$$K_5 = 0.1349 + 0.1279 \frac{b}{a} - 0.01284 \left(\frac{b}{a} \right)^2$$

$$I_x = I_X - Ay_{c2}^2$$

For I_y use one-half the value for I_y in case 26.

Let y_p be the vertical distance from the bottom to the plastic neutral axis.

$$y_p = \left[C_1 + \frac{C_2}{a/b} + \frac{C_3}{(a/b)^2} + \frac{C_4}{(a/b)^3} \right] a$$

where if $0.25 < a/b \leq 1$, then

$$C_1 = 0.5067 - 0.5588D + 1.3820D^2$$

$$C_2 = 0.3731 + 0.1938D - 1.4078D^2$$

$$C_3 = -0.1400 + 0.0179D + 0.4885D^2$$

$$C_4 = 0.0170 - 0.0079D - 0.0565D^2$$

or if $1 \leq a/b < 4$, then

$$C_1 = 0.4829 + 0.0725D - 0.1815D^2$$

$$C_2 = 0.1957 - 0.6608D + 1.4222D^2$$

$$C_3 = 0.0203 + 1.8999D - 3.4356D^2$$

$$C_4 = 0.0578 - 1.6666D + 2.6012D^2$$

where $D = t/t_{\max}$ and where $0.2 < D \leq 1$

$$Z_x = \left[C_5 + \frac{C_6}{a/b} + \frac{C_7}{(a/b)^2} + \frac{C_8}{(a/b)^3} \right] 4a^2 t$$

where if $0.25 < a/b \leq 1$, then

$$C_5 = -0.0292 + 0.3749D^{1/2} + 0.0578D$$

$$C_6 = 0.3674 - 0.8531D^{1/2} + 0.3882D$$

$$C_7 = -0.1218 + 0.3563D^{1/2} - 0.1803D$$

$$C_8 = 0.0154 - 0.0448D^{1/2} + 0.0233D$$

or if $1 \leq a/b < 4$, then

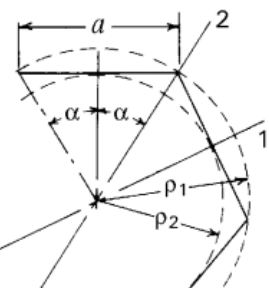
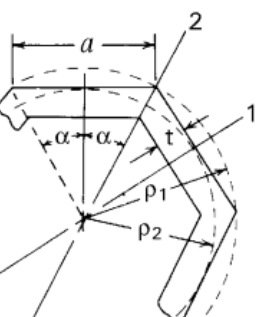
$$C_5 = 0.2241 - 0.3922D^{1/2} + 0.2960D$$

$$C_6 = -0.6637 + 2.7357D^{1/2} - 2.0482D$$

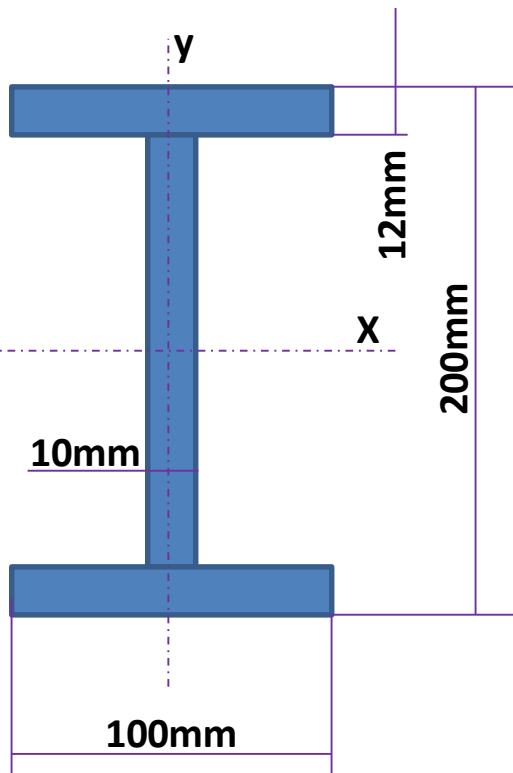
$$C_7 = 1.5211 - 5.3864D^{1/2} + 3.9286D$$

$$C_8 = -0.8498 + 2.8763D^{1/2} - 1.8874D$$

For Z_y use one-half the value for Z_y in case 26.

Form of section	Area and distances from centroid to extremities	Moments and products of inertia and radii of gyration about central axes	Plastic section moduli, shape factors, and locations of plastic neutral axes
<p>28. Regular polygon with n sides</p> 	$A = \frac{a^2 n}{4 \tan \alpha}$ $\rho_1 = \frac{a}{2 \sin \alpha}$ $\rho_2 = \frac{\alpha}{2 \tan \alpha}$ <p>If n is odd</p> $y_1 = y_2 = \rho_1 \cos \left[\alpha \left(\frac{n+1}{2} \right) - \frac{\pi}{2} \right]$ <p>If $n/2$ is odd</p> $y_1 = \rho_1, \quad y_2 = \rho_2$ <p>If $n/2$ is even</p> $y_1 = \rho_2, \quad y_2 = \rho_1$	$I_1 = I_2 = \frac{1}{24} A (6\rho_1^2 - a^2)$ $r_1 = r_2 = \sqrt{\frac{1}{24} (6\rho_1^2 - a^2)}$	<p>For $n = 3$, see case 9. For $n = 4$, see cases 1 and 13.</p> <p>For $n = 5$, $Z_1 = Z_2 = 0.8825\rho_1^3$. For an axis perpendicular to axis 1, $Z = 0.8838\rho_1^3$. The location of this axis is $0.7007a$ from that side which is perpendicular to axis 1. For $n \geq 6$, use the following expression for a neutral axis of any inclination:</p> $Z = \rho_1^3 \left[1.333 - 13.908 \left(\frac{1}{n} \right)^2 + 12.528 \left(\frac{1}{n} \right)^3 \right]$
<p>29. Hollow regular polygon with n sides</p> 	$A = nat \left(1 - \frac{t \tan \alpha}{a} \right)$ $\rho_1 = \frac{a}{2 \sin \alpha}$ $\rho_2 = \frac{\alpha}{2 \tan \alpha}$ <p>If n is odd</p> $y_1 = y_2 = \rho_1 \cos \left(\alpha \left(\frac{n+1}{2} \right) - \frac{\pi}{2} \right)$ <p>If $n/2$ is odd</p> $y_1 = \rho_1, \quad y_2 = \rho_2$ <p>If $n/2$ is even</p> $y_1 = \rho_2, \quad y_2 = \rho_1$	$I_1 = I_2 = \frac{na^3 t}{8} \left(\frac{1}{3} + \frac{1}{\tan^2 \alpha} \right)$ $\times \left[1 - 3 \frac{t \tan \alpha}{a} + 4 \left(\frac{t \tan \alpha}{a} \right)^2 - 2 \left(\frac{t \tan \alpha}{a} \right)^3 \right]$ $r_1 = r_2 = \frac{a}{\sqrt{8}}$ $\times \sqrt{\left(\frac{1}{3} \right) + \frac{1}{\tan^2 \alpha} \left[1 - 2 \frac{t \tan \alpha}{a} + 2 \left(\frac{t \tan \alpha}{a} \right)^2 \right]}$	

PROPRIEDADES GEOMÉTRICAS:

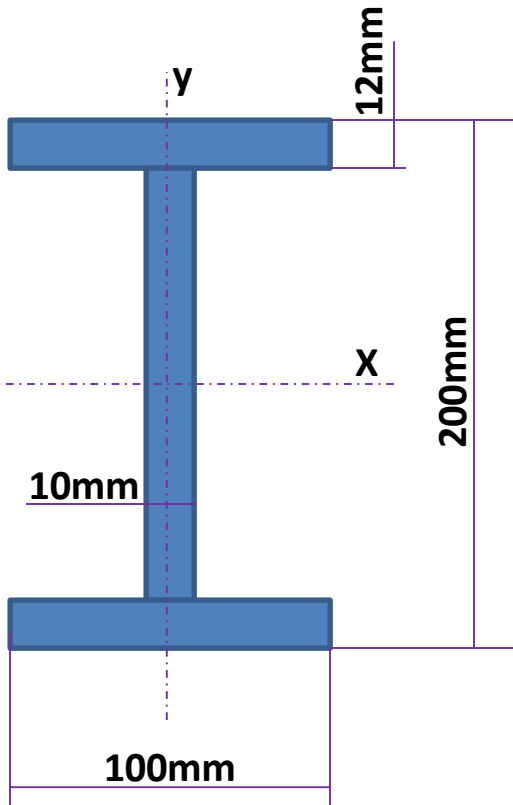


$$I_x = \frac{b \cdot (d + 2t)^3}{12} - \frac{(b - t_w) \cdot d^3}{12} = \frac{10 \cdot (20 - 2 \cdot 1,2 + 2 \cdot 1,2)^3}{12} - \frac{(10 - 1) \cdot (20 - 2 \cdot 1,2)^3}{12} = 2577,83 \text{ cm}^4$$

$$I_y = \frac{b^3 \cdot t}{6} + \frac{t_w^3 \cdot d}{12} = \frac{10^3 \cdot 1,2}{6} + \frac{1^3 \cdot (20 - 2 \cdot 1,2)}{12} = 201,47 \text{ cm}^4$$

6. Wide-flange beam with equal flanges	$A = 2bt + t_w d$ $y_c = \frac{d}{2} + t$ $x_c = \frac{b}{2}$	$I_x = \frac{b(d + 2t)^3}{12} - \frac{(b - t_w)d^3}{12}$ $I_y = \frac{b^3 t}{6} + \frac{t_w^3 d}{12}$ $r_x = \left(\frac{I_x}{A}\right)^{1/2}$ $r_y = \left(\frac{I_y}{A}\right)^{1/2}$	$Z_x = \frac{t_w d^2}{4} + bt(d + t)$ $SF_x = \frac{Z_x y_c}{I_x}$ $Z_y = \frac{b^2 t}{2} + \frac{t_w^2 d}{4}$ $SF_y = \frac{Z_y x_c}{I_y}$

PROPRIEDADES GEOMÉTRICAS: TEOREMA DE STEINER



$$I_x = \sum I_n + A \cdot d_y^2$$

$$I_x = 2 \cdot \left[\left(\frac{10 \cdot 1,2^3}{12} + \frac{1,0 \cdot (10 - 1,2)^3}{12} \right) + (1,2 \cdot 10 \cdot (10 - 0,6)^2 + 1,0 \cdot (10 - 1,2) \cdot 4,4^2) \right]$$

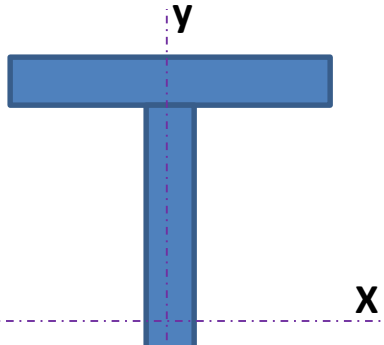
$$I_x = 2577,83 \text{ cm}^4$$

$$I_y = \sum I_n + A \cdot d_x^2$$

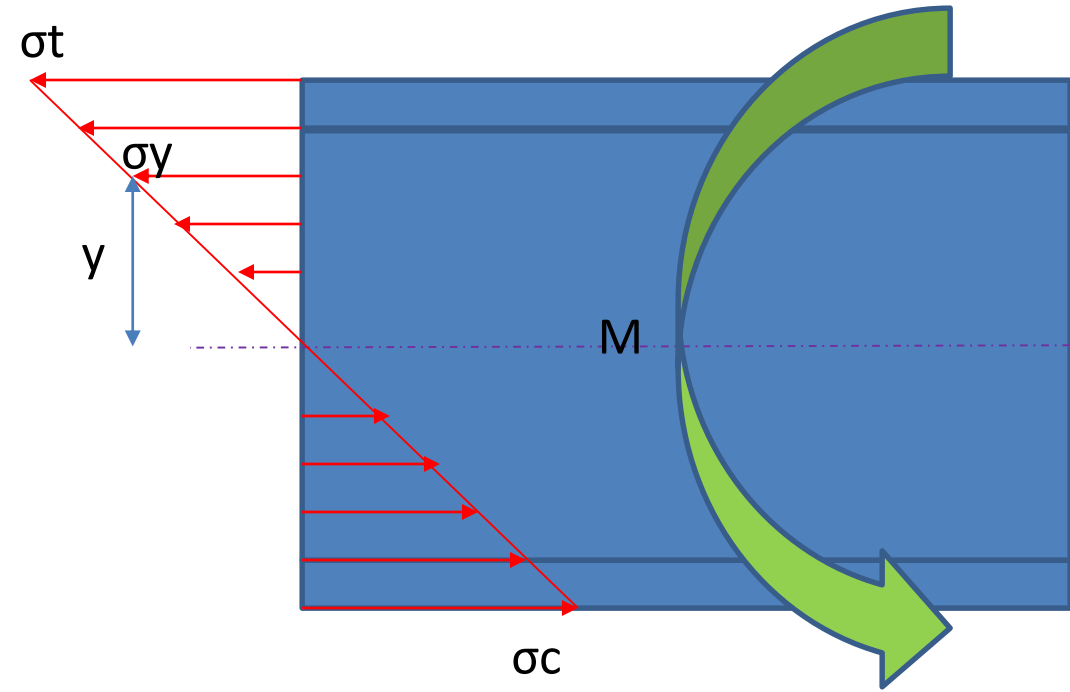
$$I_y = 2 \cdot \left[\left(2 \cdot \frac{1,2 \cdot 5^3}{12} + \frac{17,6 \cdot (0,5)^3}{12} \right) + (2 \cdot 1,2 \cdot 5 \cdot (2,5)^2 + 17,6 \cdot 0,5 \cdot (0,25)^2) \right]$$

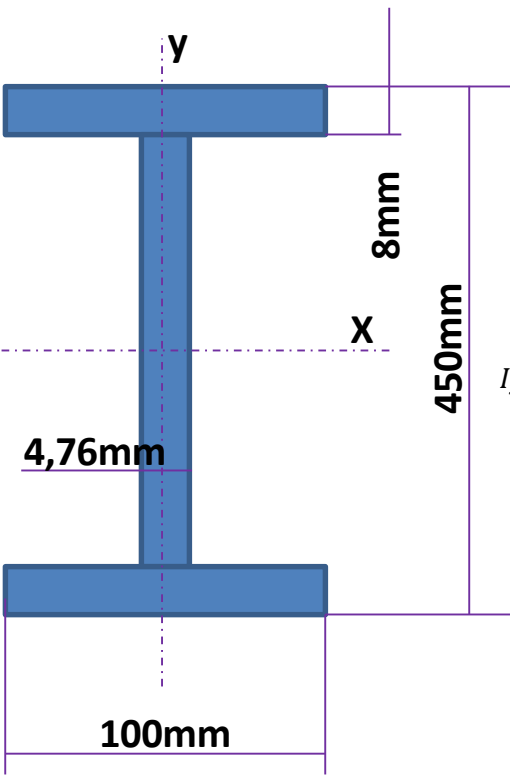
$$I_y = 201,47 \text{ cm}^4$$

Distribuição de tensões em barras Flexionadas



$$\sigma_y = \frac{M \cdot y}{I}$$





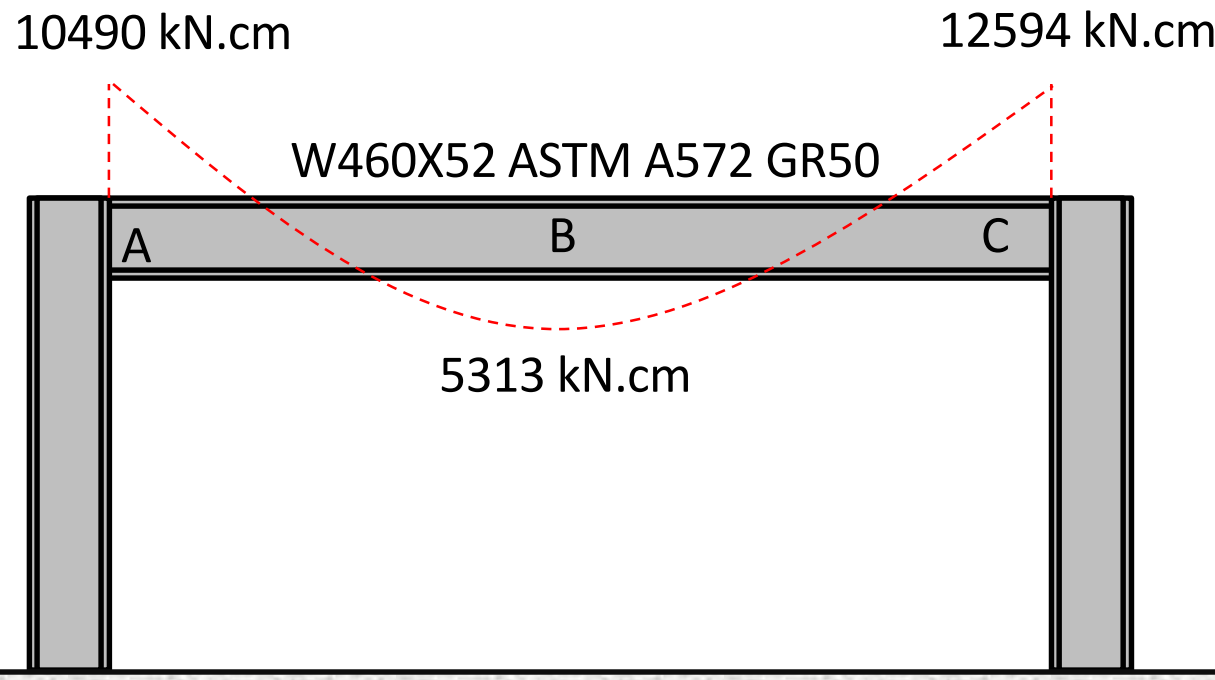
Qual o máximo momento fletor em torno do eixo X ao qual o perfil ao lado pode ser submetido antes que a tensão máxima ultrapasse o limite de escoamento do material. Considerar Aço ASTM A572 Gr - 50

$$I_x = \frac{b \cdot (d + 2t)^3}{12} - \frac{(b - t_w) \cdot d^3}{12} = \frac{10 \cdot (45 - 2.08 + 2.08)^3}{12} - \frac{(10 - 0.476) \cdot (45 - 2.08)^3}{12} = 11058 \text{ cm}^4$$

$$\sigma_y = \frac{M \cdot y}{I} \rightarrow 34,5 = \rightarrow \frac{M \cdot \left(\frac{45}{2}\right)}{11058}$$

$$M = \frac{34,5 \cdot 11058}{\left(\frac{45}{2}\right)} = 16955,6 \text{ kN.cm}$$

Determinar as tensões máximas atuantes nos pontos A, B e C no perfil da viga no pórtico abaixo



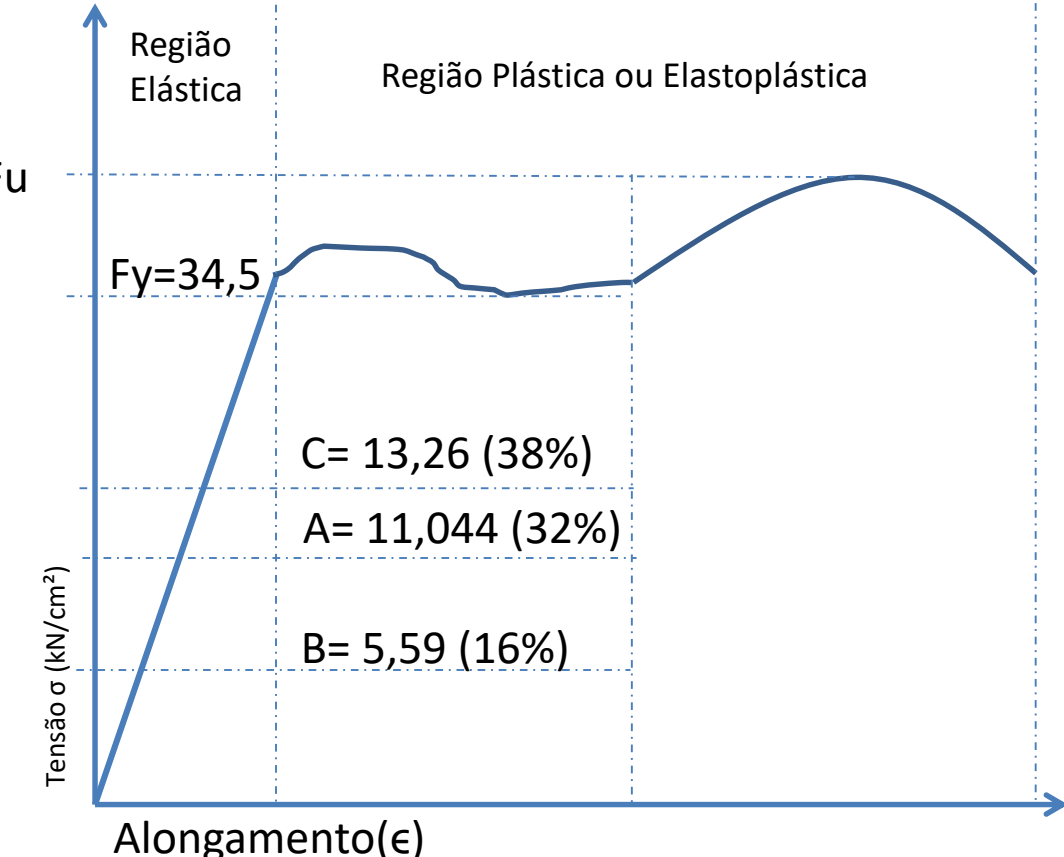
BITOLA mm x kg/m	Massa Linear kg/m	d mm	b _t mm	ESPESSURA		h mm	d' mm	Área cm ²	EIXO X - X				EIXO Y - Y				r _t cm	I _x cm ⁴	W _x cm ³	r _y cm	Z _y cm ³	r _y cm	I _y cm ⁴	W _y cm ³	r _x cm	Z _x cm ³	ESBELTEZ			C _w cm ⁴	u m ² /m	BITOLA mm x kg/m
				t _w mm	t _r mm				I _x cm ⁴	W _x cm ³	r _x cm	Z _x cm ³	I _y cm ⁴	W _y cm ³	r _y cm	Z _y cm ³			ABA - λ _r	ALMA - λ _w												
W 460 x 52,0	52,0	450	152	7,6	10,8	428	404	66,6	21.370	949,8	17,91	1.095,9	634	83,5	3,09	131,7	3,79	21,79	7,04	53,21	304.837	1,47	W 460 x 52,0									
W 460 x 60,0	60,0	455	153	8,0	13,3	428	404	76,2	25.652	1.127,6	18,35	1.292,1	796	104,1	3,23	163,4	3,89	34,60	5,75	50,55	387.230	1,49	W 460 x 60,0									
W 460 x 68,0	68,0	459	154	9,1	15,4	428	404	87,6	29.851	1.300,7	18,46	1.495,4	941	122,2	3,28	192,4	3,93	52,29	5,00	44,42	461.163	1,50	W 460 x 68,0									
W 460 x 74,0	74,0	457	190	9,0	14,5	428	404	94,9	33.415	1.462,4	18,77	1.657,4	1.661	174,8	4,18	271,3	4,93	52,97	6,55	44,89	811.417	1,64	W 460 x 74,0									
W 460 x 82,0	82,0	460	191	9,9	16,0	428	404	104,7	37.157	1.615,5	18,84	1.836,4	1.862	195,0	4,22	303,3	4,96	70,62	5,97	40,81	915.745	1,64	W 460 x 82,0									
W 460 x 89,0	89,0	463	192	10,5	17,7	428	404	114,1	41.105	1.775,6	18,98	2.019,4	2.093	218,0	4,28	339,0	5,01	92,49	5,42	38,44	1.035.073	1,65	W 460 x 89,0									
W 460 x 97,0	97,0	466	193	11,4	19,0	428	404	123,4	44.658	1.916,7	19,03	2.187,4	2.283	236,6	4,30	368,8	5,03	115,05	5,08	35,44	1.137.180	1,66	W 460 x 97,0									
W 460 x 106,0	106,0	469	194	12,6	20,6	428	404	135,1	48.978	2.088,6	19,04	2.394,6	2.515	259,3	4,32	405,7	5,05	148,19	4,71	32,05	1.260.063	1,67	W 460 x 106,0									

$$\sigma_y = \frac{M \cdot y}{I}$$

$$\sigma_A = \frac{10490 \cdot \left(\frac{45}{2}\right)}{21370} = 11,044 \text{ kN/cm}^2$$

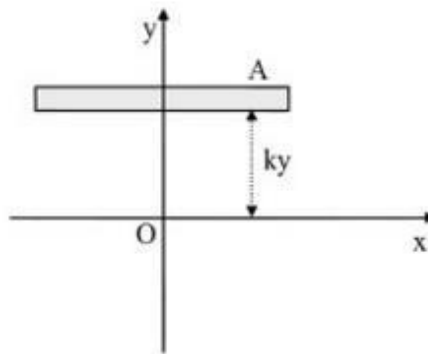
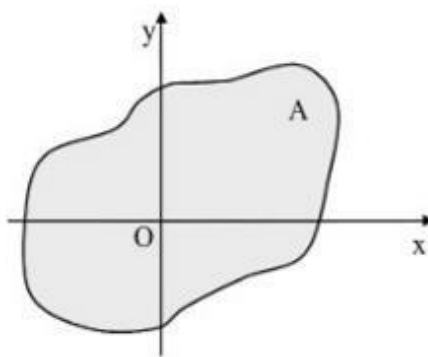
$$\sigma_B = \frac{5313 \cdot \left(\frac{45}{2}\right)}{21370} = 5,59 \text{ kN/cm}^2$$

$$\sigma_C = \frac{12594 \cdot \left(\frac{45}{2}\right)}{21370} = 13,26 \text{ kN/cm}^2$$



PROPRIEDADES GEOMÉTRICAS:

Raio de Giraçāo rx e ry



$$I_x = k_x^2 \cdot A \quad \therefore \quad k_x = \sqrt{\frac{I_x}{A}} \quad \text{analogamente} \quad k_y = \sqrt{\frac{I_y}{A}} \quad \text{e} \quad k_o = \sqrt{\frac{J_o}{A}} \quad (\text{polar})$$

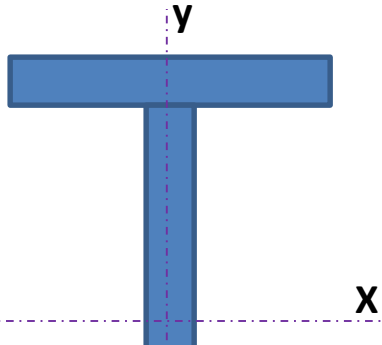
$$\text{Como } J_o = I_x + I_y \quad \text{temos} \quad k_o^2 = k_x^2 + k_y^2$$

Imagen por: <http://www.gdace.uem.br/romel/MDidatico/Estatica/JoaoDirceu/>

IMPORTANTE NOS ESTUDOS DE PEÇAS COMPRIMIDAS

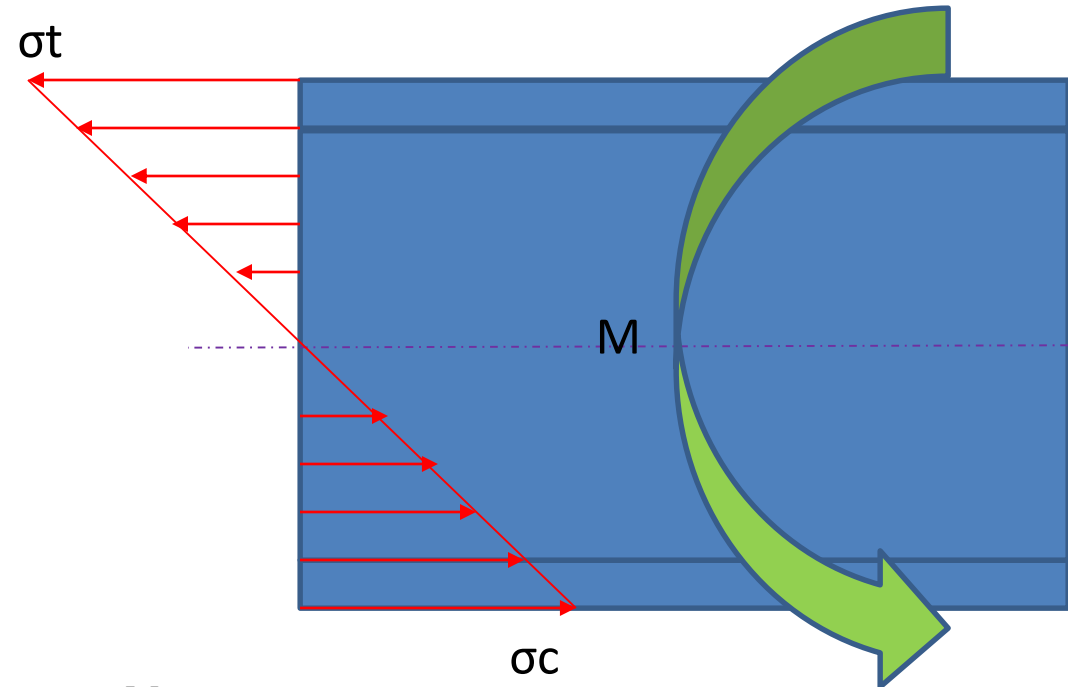
Curso de Projeto e Cálculo de Estruturas metálicas

Distribuição de tensões em barras Flexionadas

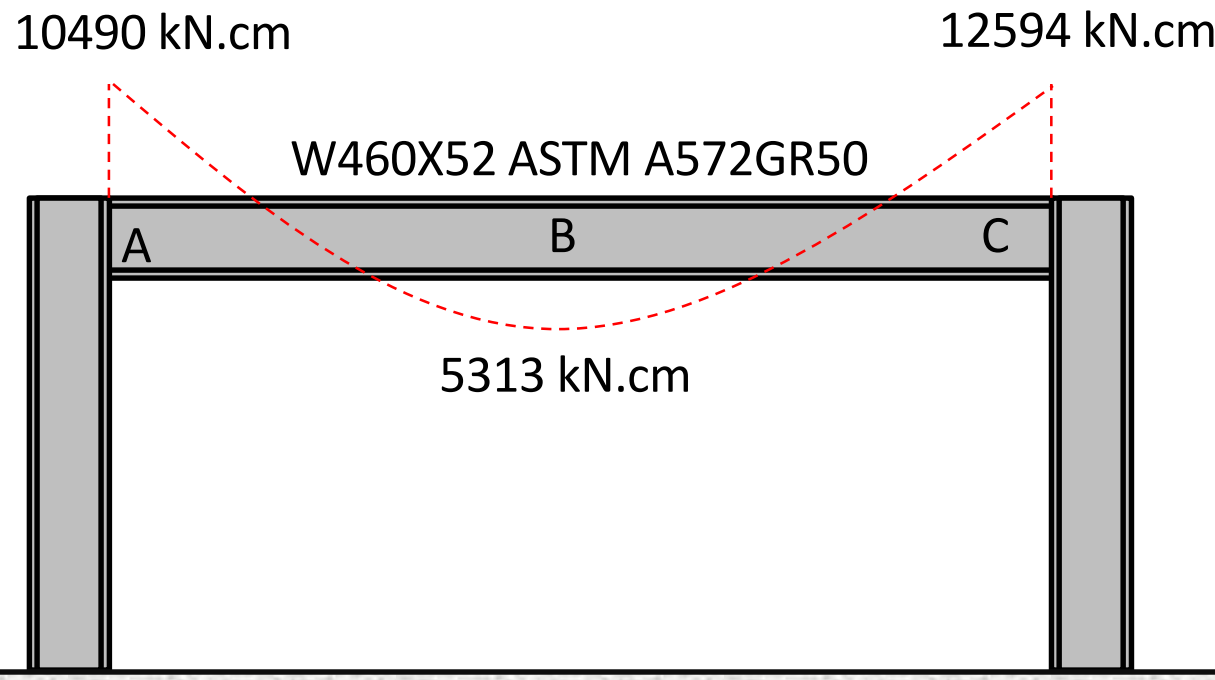


$$\sigma_y = \frac{M \cdot y}{I}$$

$$W = \frac{I}{y_{máx}} \quad \sigma_y = \frac{M}{W}$$



Determinar as tensões máximas atuantes nos pontos A, B e C no perfil da viga no pórtico abaixo



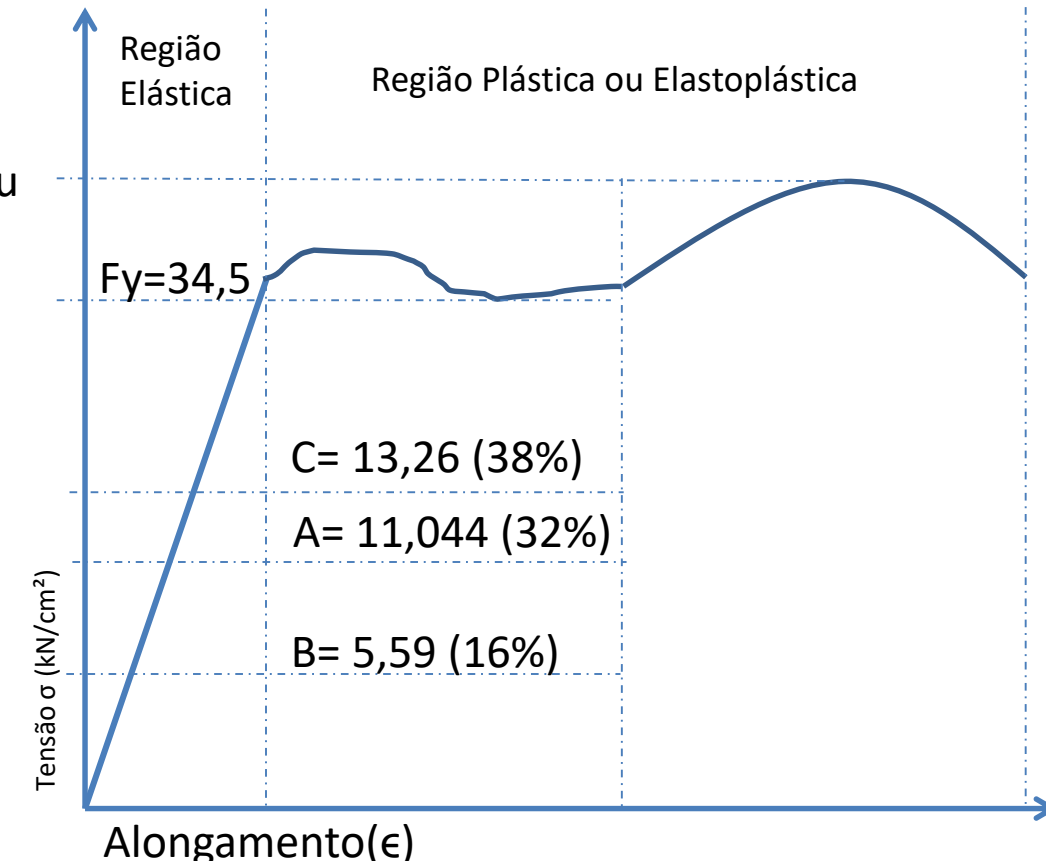
BITOLA mm x kg/m	Massa Linear kg/m	d mm	b _t mm	ESPESURA		h mm	d' mm	Área cm ²	EIXO X - X				EIXO Y - Y				r _t cm	I _x cm ⁴	W _x cm ³	r _y cm	Z _x cm ³	r _y cm	I _y cm ⁴	W _y cm ³	Z _y cm ³	ESBELTEZ			C _w cm ⁴	u m ² /m	BITOLA mm x kg/m
				t _w mm	t _f mm				I _x cm ⁴	W _x cm ³	r _x cm	Z _x cm ³	I _y cm ⁴	W _y cm ³	r _y cm	Z _y cm ³			ABA - λ_t	ALMA - λ_w											
W 460 x 52,0	52,0	450	152	7,6	10,8	428	404	66,6	21.370	949,8	17,91	1.095,9	634	83,5	3,09	131,7	3,79	21,79	7,04	53,21	304.837	1,47	W 460 x 52,0								
W 460 x 60,0	60,0	455	153	8,0	13,3	428	404	76,2	25.652	1.127,6	18,35	1.292,1	796	104,1	3,23	163,4	3,89	34,60	5,75	50,55	387.230	1,49	W 460 x 60,0								
W 460 x 68,0	68,0	459	154	9,1	15,4	428	404	87,6	29.851	1.300,7	18,46	1.495,4	941	122,2	3,28	192,4	3,93	52,29	5,00	44,42	461.163	1,50	W 460 x 68,0								
W 460 x 74,0	74,0	457	190	9,0	14,5	428	404	94,9	33.415	1.462,4	18,77	1.657,4	1.661	174,8	4,18	271,3	4,93	52,97	6,55	44,89	811.417	1,64	W 460 x 74,0								
W 460 x 82,0	82,0	460	191	9,9	16,0	428	404	104,7	37.157	1.615,5	18,84	1.836,4	1.862	195,0	4,22	303,3	4,96	70,62	5,97	40,81	915.745	1,64	W 460 x 82,0								
W 460 x 89,0	89,0	463	192	10,5	17,7	428	404	114,1	41.105	1.775,6	18,98	2.019,4	2.093	218,0	4,28	339,0	5,01	92,49	5,42	38,44	1.035.073	1,65	W 460 x 89,0								
W 460 x 97,0	97,0	466	193	11,4	19,0	428	404	123,4	44.658	1.916,7	19,03	2.187,4	2.283	236,6	4,30	368,8	5,03	115,05	5,08	35,44	1.137.180	1,66	W 460 x 97,0								
W 460 x 106,0	106,0	469	194	12,6	20,6	428	404	135,1	48.978	2.088,6	19,04	2.394,6	2.515	259,3	4,32	405,7	5,05	148,19	4,71	32,05	1.260.063	1,67	W 460 x 106,0								

$$\sigma = \frac{M}{W}$$

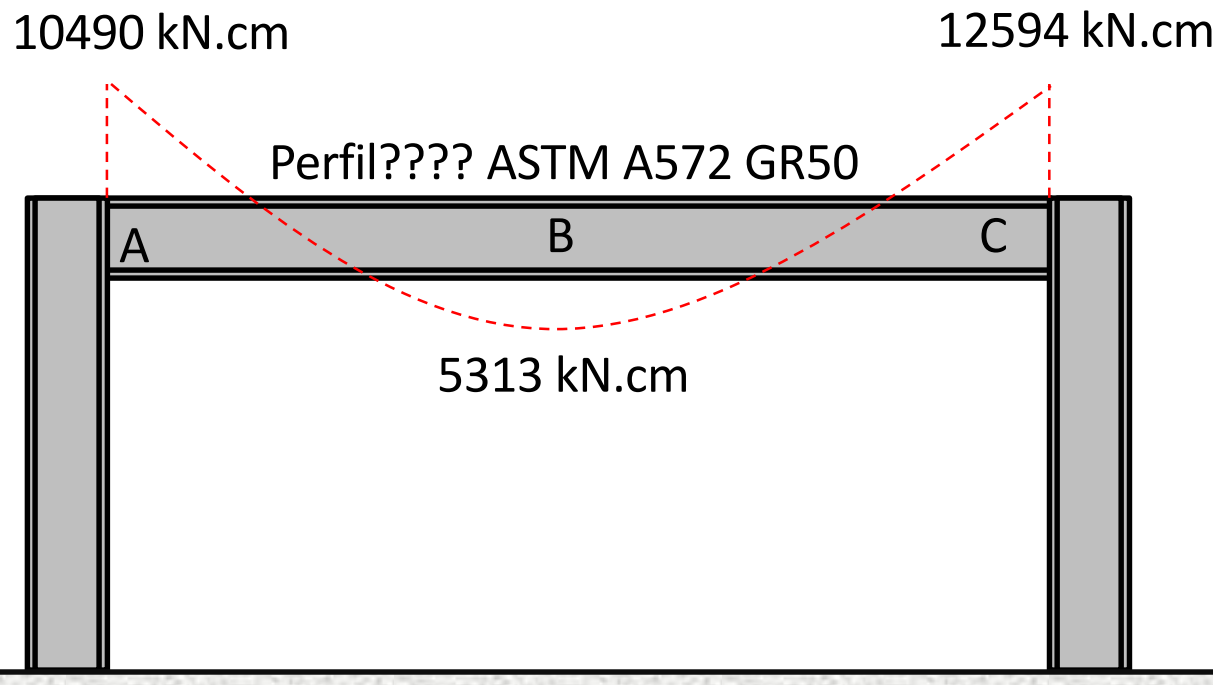
$$\sigma_A = \frac{10490}{949,8} = 11,044 \text{ kN/cm}^2$$

$$\sigma_B = \frac{5313}{949,8} = 5,59 \text{ kN/cm}^2$$

$$\sigma_C = \frac{12594}{949,8} = 13,26 \text{ kN/cm}^2$$

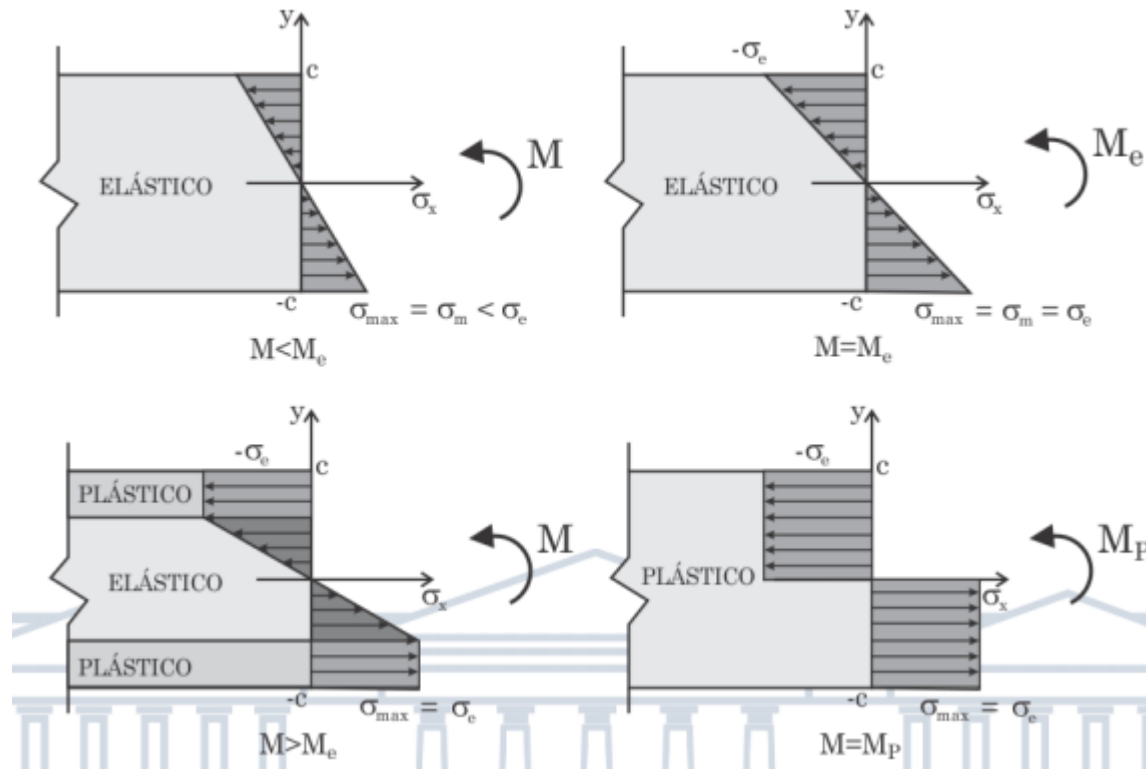


Determinar o perfil mais leve possível, que seja submetido a 66% da tensão máxima de escoamento para a viga abaixo



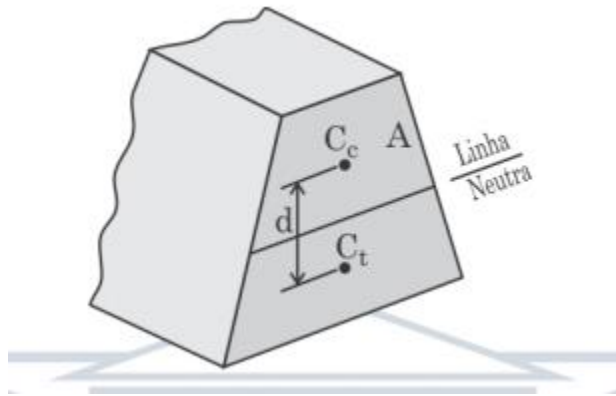
PROPRIEDADES GEOMÉTRICAS:

Momento resistente Plástico Zx e Zy



PROPRIEDADES GEOMÉTRICAS:

Momento resistente Plástico Zx e Zy



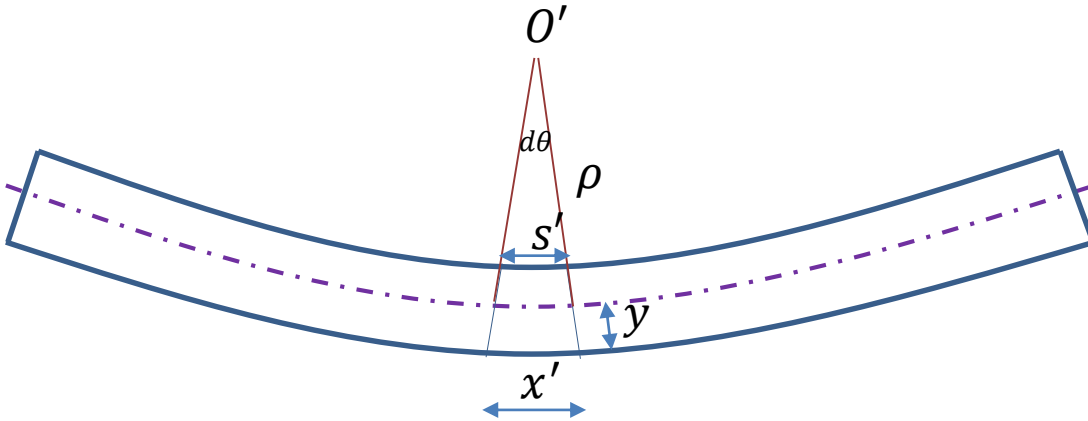
$$Z = \frac{1}{2} \cdot A \cdot d$$

$$\text{Fator de forma } k = \frac{Z}{W} \rightarrow W250X17,9: k = \frac{211}{182,6} = 1,156$$

Esse número indica que a viga pode suportar um momento fletor 15,6% maior do que o que gera apenas tensões dentro dos limites de escoamento

Após esse valor a seção se plastifica completamente.

Deflexão em vigas



$$\epsilon = \frac{x' - x}{x} \quad \epsilon = \frac{s' - s}{s} \quad x = s = \rho \cdot \theta \quad x' = (\rho + y) \cdot \theta \quad s' = (\rho - y) \cdot \theta$$

$$\epsilon = \frac{(\rho - y) \cdot \theta - \rho \cdot \theta}{\rho \cdot \theta} \quad \epsilon = \frac{(\rho - y) - \rho}{\rho} \quad \epsilon = \frac{(\rho - y)}{\rho} - \frac{\rho}{\rho} = \frac{(\rho - y)}{\rho} - 1$$

$$\epsilon = \frac{\rho}{\rho} - \frac{y}{\rho} - 1 \quad \epsilon = 1 - \frac{y}{\rho} - 1 \quad \epsilon = -\frac{y}{\rho} \rightarrow \frac{1}{\rho} = -\frac{\epsilon}{y}$$

$$\epsilon = \frac{\sigma}{E} \quad \sigma = -\frac{M \cdot y}{I} \quad \frac{1}{\rho} = \frac{M}{EI}$$

Deflexão em vigas

$$\frac{d^2v}{dx^2} = \frac{M}{EI}$$

$$\frac{d^2v}{dx^2} \cdot EI = -P \cdot x$$

$$\frac{dv}{dx} \cdot EI = -P \cdot \frac{x^2}{2} + C_1$$

$$vEI = -P \cdot \frac{x^3}{6} + C_1x + C_2$$

$$v = 0 \text{ quando } x = L$$

$$0 \cdot EI = -P \cdot \frac{L^2}{2} + C_1$$

$$P \cdot \frac{L^2}{2} = C_1$$

$$0EI = -P \cdot \frac{L^3}{6} + C_1L + C_2$$

$$0 = P \cdot \frac{L^3}{6} + \frac{P \cdot L^2}{2}L + C_2$$

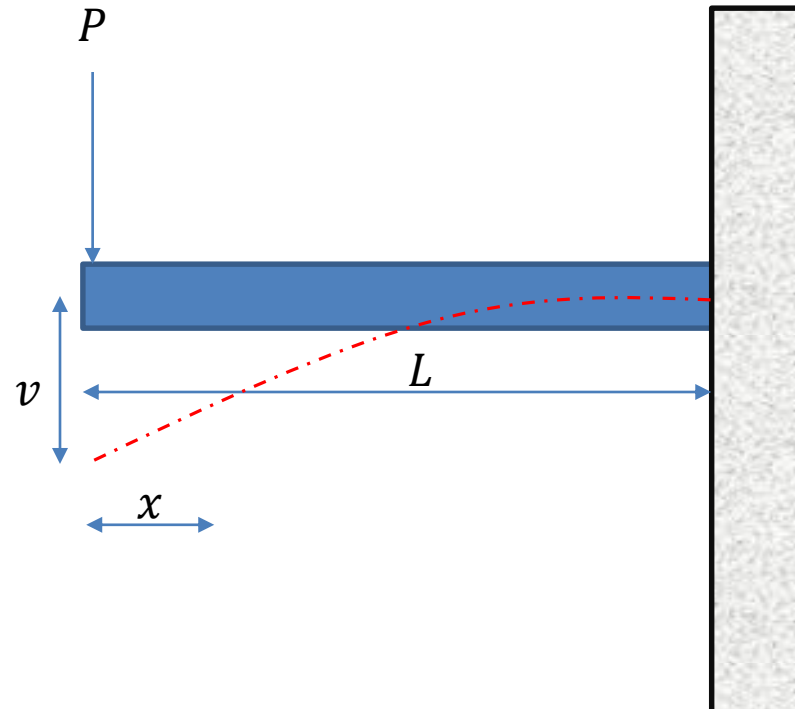
$$C_2 = \frac{P \cdot L^3}{3}$$

$$v = \frac{\left(-P \cdot \frac{x^3}{6} + \frac{P \cdot L^2}{2}x + \frac{P \cdot L^3}{3} \right)}{EI}$$

$$v = \frac{P(-x^3 + 3 \cdot L^2x + 2 \cdot L^3)}{6EI}$$

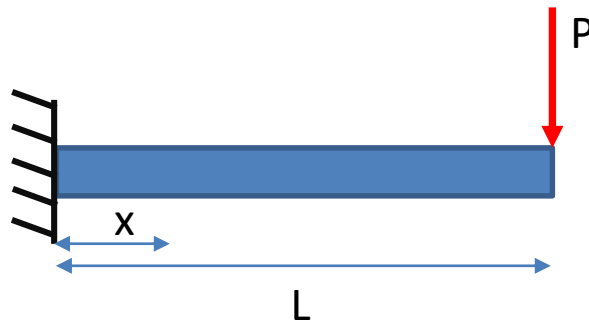
$$v_{\max} = \frac{P(-0^3 + 3 \cdot L^2 \cdot 0 + 2 \cdot L^3)}{6EI}$$

$$v_{\max} = \frac{-P \cdot L^3}{3EI}$$



Equações de deflexão, Momento e Cortante

Barra em Balanço – Carga Pontual na extremidade



Deflexão

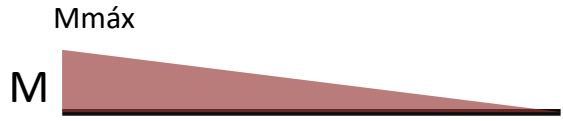
$$y(x) = -\frac{P \cdot x^2}{6EI} (3 \cdot L - x)$$

$$y_{max} = -\frac{P \cdot L^3}{3EI}$$



Esforço Cortante

$$V(x) = P$$



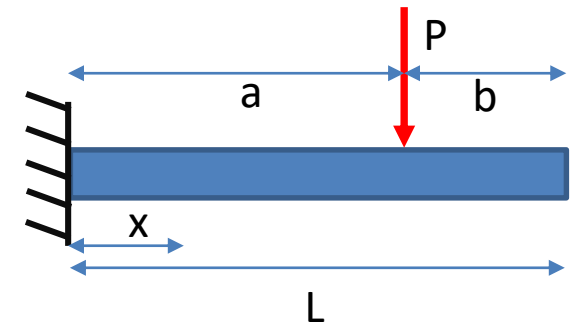
Momento Fletor

$$M(x) = P \cdot (L - x)$$

$$M_{max} = P \cdot L$$

Equações de deflexão, Momento e Cortante

Barra em Balanço – Carga Pontual à distância 'a'



Deflexão

$$y(x) = -\frac{P \cdot x^2}{6EI} (3 \cdot a - x) \quad 0 \leq x \leq a$$

$$y(x) = -\frac{P \cdot a^2}{6EI} (3 \cdot x - a) \quad a \leq x \leq L$$

$$y_{max} = \frac{P \cdot a^2}{6EI} (3 \cdot L - a)$$

Esforço Cortante

$$V(x) = P \quad 0 \leq x \leq a$$

$$V(x) = 0 \quad a \leq x \leq L$$

Momento Fletor

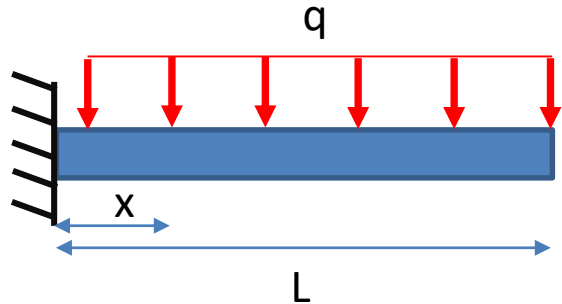
$$M(x) = P \cdot (a - x) \quad 0 \leq x \leq a$$

$$M_{max} = P \cdot a$$

$$M(x) = 0 \quad a \leq x \leq L$$

Equações de deflexão, Momento e Cortante

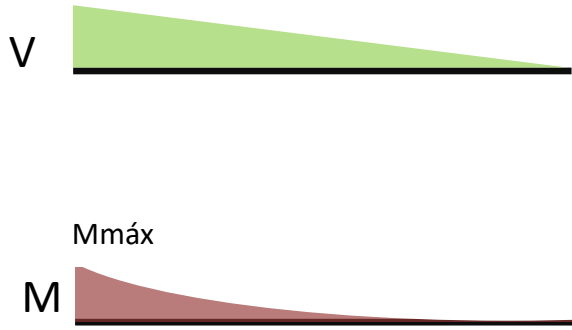
Barra em Balanço – Carga Uniformemente Distribuída



Deflexão

$$y(x) = -\frac{q \cdot x^2}{24EI} (6 \cdot L^2 - 4Lx + x^2) \quad 0 \leq x \leq L$$

$$y_{max} = \frac{q \cdot L^4}{8EI}$$



Esforço Cortante

$$V(x) = q \cdot (L - x) \quad 0 \leq x \leq L$$

$$V_{max} = q \cdot L$$

Momento Fletor

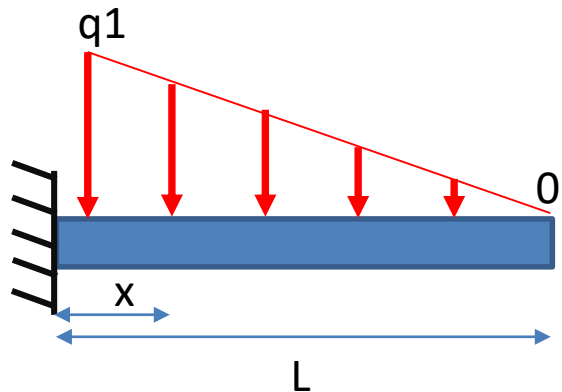
$$M(x) = \frac{q \cdot (L - x)^2}{2} \quad 0 \leq x \leq a$$

$$M_{max} = \frac{q \cdot L^2}{2}$$

Curso de Projeto e Cálculo de Estruturas metálicas

Equações de deflexão, Momento e Cortante

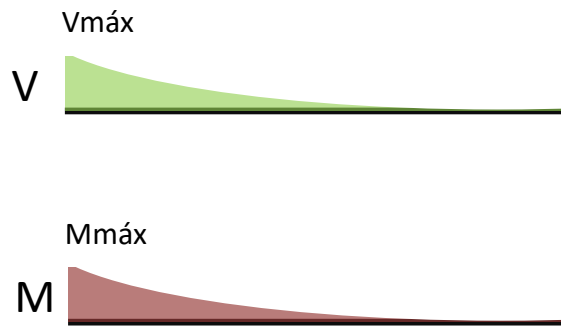
Barra em Balanço – Carga variável



Deflexão

$$y(x) = -\frac{q_1 \cdot x^2}{120 \cdot L \cdot E \cdot I} (10 \cdot L^3 - 10L^2x + 5x^2 - x^3)$$

$$y_{max} = \frac{q_1 \cdot L^4}{30EI}$$



Esforço Cortante

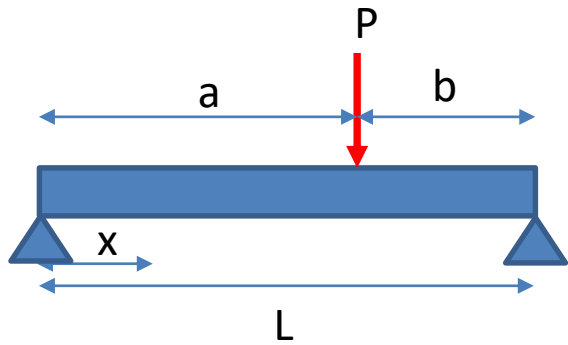
$$V_{max} = \frac{q_1 \cdot L}{2}$$

Momento Fletor

$$M_{max} = \frac{q_1 \cdot L^2}{6}$$

Equações de deflexão, Momento e Cortante

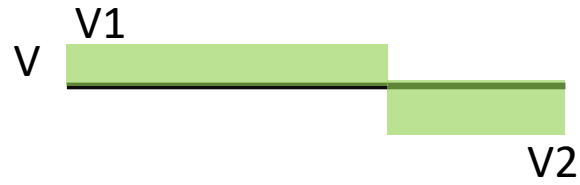
Barra bi-apoiada – Carga pontual à distância ‘a’



Deflexão

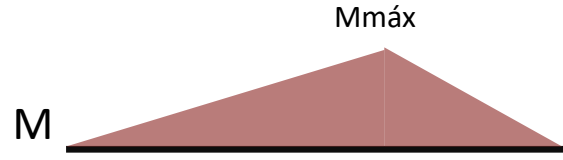
$$y(x) = -\frac{P \cdot b \cdot x}{6 \cdot L \cdot E \cdot I} (L^2 - b^2 - x^2) \text{ para } a > b$$

$$y_{max} = -\frac{P \cdot b \cdot \sqrt{(L^2 - b^2)^3}}{9\sqrt{3} \cdot L \cdot E \cdot I} \quad x = \sqrt{\frac{L^2 - b^2}{3}}$$



Esforço Cortante

$$V_1 = \frac{P \cdot b}{L} \quad V_2 = \frac{P \cdot a}{L}$$

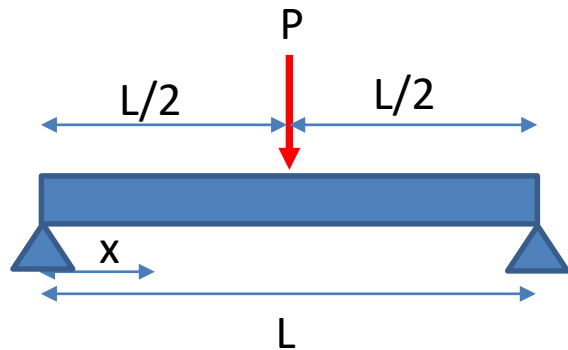


Momento Fletor

$$M_{max} = \frac{P \cdot a \cdot b}{L}$$

Equações de deflexão, Momento e Cortante

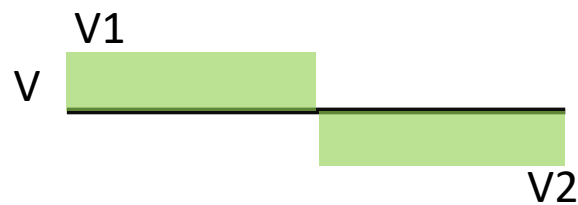
Barra Bi-Apoiada – Carga pontual no centro



Deflexão

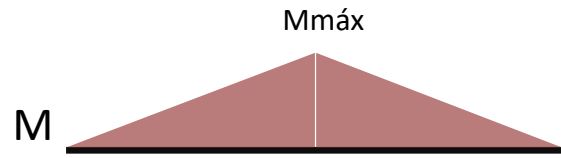
$$y(x) = -\frac{P \cdot L}{48 \cdot E \cdot I} (3L^2 - 4x^2) \quad \text{para } x < L/2$$

$$y_{max} = -\frac{P \cdot L^3}{48 \cdot E \cdot I} \quad x = \frac{L}{2}$$



Esforço Cortante

$$V_1 = -V_2 = P/2$$

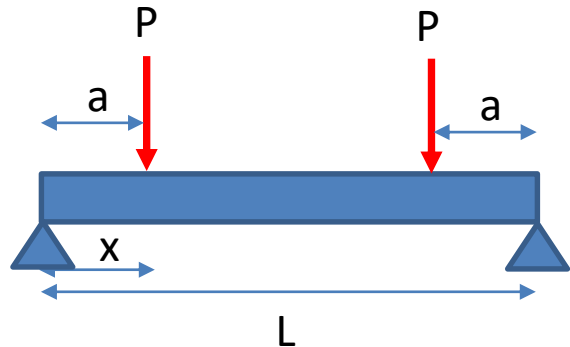


Momento Fletor

$$M_{max} = \frac{P \cdot L}{4}$$

Equações de deflexão, Momento e Cortante

Barra bi-apoiada – Cargas pontuais simétricas em relação ao centro



Deflexão

$$y(x) = -\frac{P \cdot x}{6 \cdot E \cdot I} (3 \cdot a \cdot L - 3a^2 - x^2) \quad \text{para } x < a$$

$$y(x) = -\frac{P \cdot a}{6 \cdot E \cdot I} (3 \cdot x \cdot L - 3x^2 - a^2) \quad \text{para } x \text{ entre } a \text{ e } L - a$$



$$y_{max} = -\frac{P \cdot a}{24 \cdot E \cdot I} (3 \cdot L^2 - 4a^2) \quad x = \frac{L}{2}$$

Esforço Cortante

$$V_1 = -V_2 = P$$

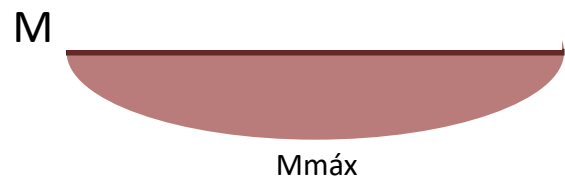
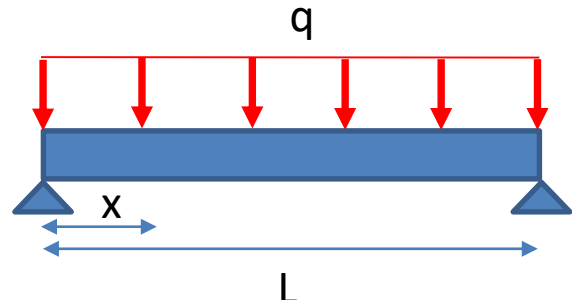
Momento Fletor

$$M_{max} = P \cdot a$$



Equações de deflexão, Momento e Cortante

Barra bi-apoiada– Carga Uniformemente Distribuída



Deflexão

$$y(x) = -\frac{q \cdot x}{24EI} (L^3 - 2Lx^2 + x^3) \quad 0 \leq x \leq L$$

$$y_{max} = \frac{5 \cdot q \cdot L^4}{384EI} \quad x = \frac{L}{2}$$

Esforço Cortante

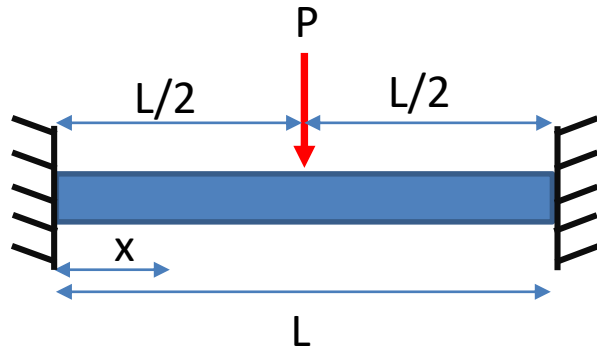
$$V_1 = -V_2 = q \cdot \frac{L}{2}$$

Momento Fletor

$$M_{max} = \frac{q \cdot L^2}{8}$$

Equações de deflexão, Momento e Cortante

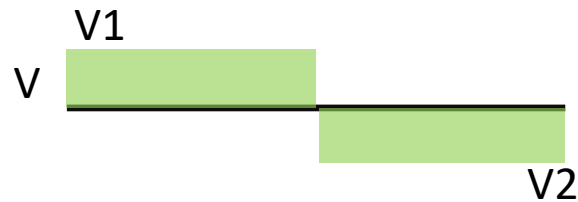
Barra bi-engastada – Carga Pontual no centro



Deflexão

$$y(x) = -\frac{P \cdot x^2}{48 \cdot E \cdot I} (3L - 4x) \quad \text{para } x < L/2$$

$$y_{max} = -\frac{P \cdot L^3}{192 \cdot E \cdot I} \quad x = \frac{L}{2}$$



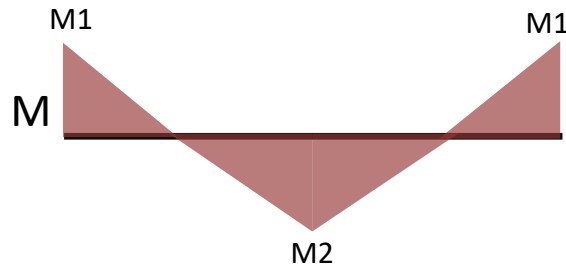
Esforço Cortante

$$V_1 = -V_2 = P/2$$

Momento Fletor

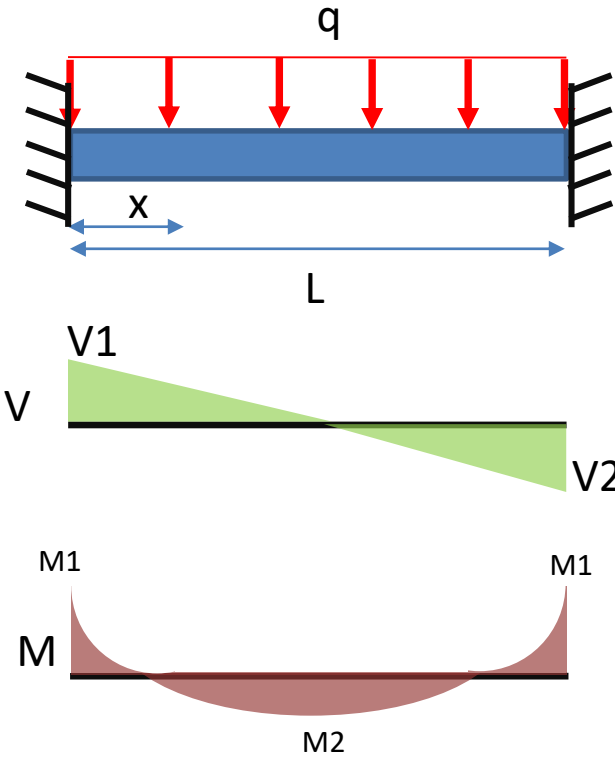
$$M(x) = \frac{P \cdot (4x - L)}{8}$$

$$M_1 = -M_2 = \frac{P \cdot L}{8}$$



Equações de deflexão, Momento e Cortante

Barra bi-apoiada – Carga Uniformemente Distribuída



Deflexão

$$y(x) = -\frac{q \cdot x^2}{24EI} (L - x)^2 \quad 0 \leq x \leq L$$

$$y_{max} = \frac{q \cdot L^4}{384EI} \quad x = \frac{L}{2}$$

Esforço Cortante

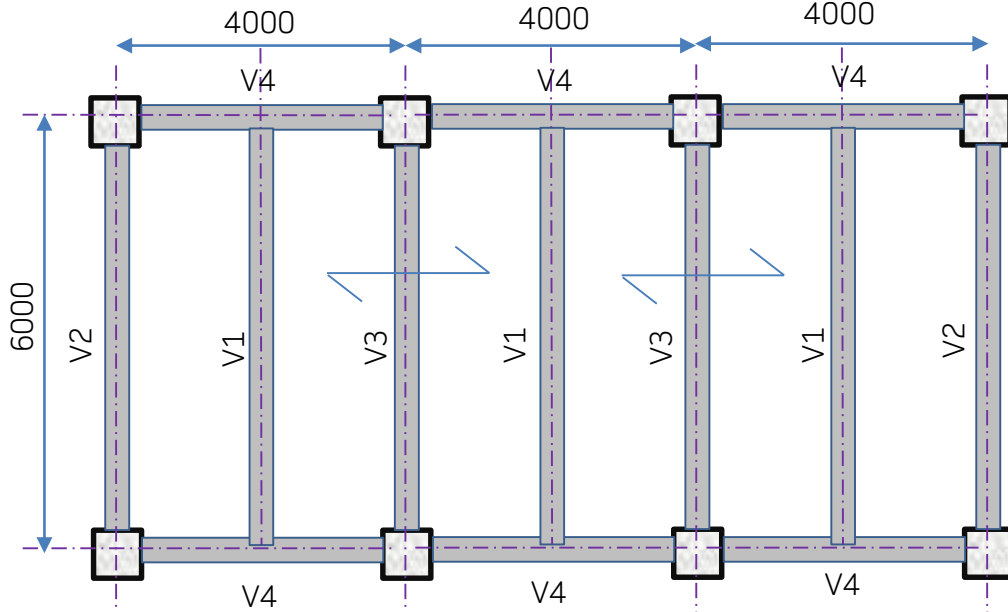
$$V_1 = -V_2 = q \cdot \frac{L}{2}$$

Momento Fletor

$$M(x) = q \cdot \frac{6Lx - 6x^2 - L^2}{12}$$

$$M_{max} = M_1 = \frac{q \cdot L^2}{12} \quad M_2 = \frac{q \cdot L^2}{24}$$

Exercícios



Determinar a bitola das vigas V1, V2, V3 e V4, para que o deslocamento vertical máximo não ultrapasse o Limite $L/350$ para as Vigas V1 e V3 e 15mm para as vigas V2 e V4, e os momentos fletores máximos não ultrapassem o limite de Plastificação total da Seção ($M = Z \cdot F_y / 1,1$) **ATENÇÃO, ESSE DIMENSIONAMENTO TEM FINS DIDÁTICOS, O DIMENSIONAMENTO COMPLETO CONSIDERA AS FLAMBAGENS LOCAIS E GLOBAIS QUE SERÃO ESTUDADOS MAIS ADIANTE**

Cargas:

Laje H12 (2,37 kN/m²) armada perpendicularmente a V1, V2 e V3

Contrapiso de 3cm

Piso Porcelanato 1cm (22kg/m²)

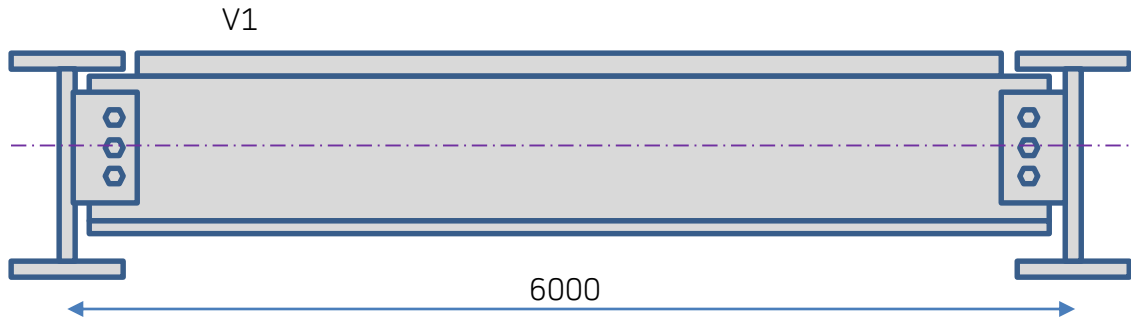
Paredes de tijolos cerâmicos de blocos vazados 9cm, de altura total 2,80m com reboco de 1cm de cada lado, sobre as vigas V2 e V4

Considerar sobrecarga para Escritórios

Considerar os pilares indeformáveis, de concreto dimensões 20x 20cm

Curso de Projeto e Cálculo de Estruturas metálicas

Exercícios



Primeiro Linearizamos as cargas atuantes em V1, agrupando-as em Permanentes e Variáveis

Cargas Permanentes:

$$\text{Laje} = Q_{\text{laje}} = 2,37 \times 2 = 4,74 \text{ kN/m}$$

$$\text{Contrapiso} = Q_{\text{cp}} = 21 \times 0,03 \times 2 = 1,26 \text{ kN/m}$$

$$\text{Piso Ceramico} = Q_{\text{piso}} = 0,22 \times 2 = 0,44 \text{ kN/m}$$

Peso Próprio da Viga: Estimativa = 40 kg/m = 0,4 kN/m (Caso encontrarmos viga 15% mais pesada, refazer os cálculos)

Cargas Permanentes Totais: 6,84 kN/m

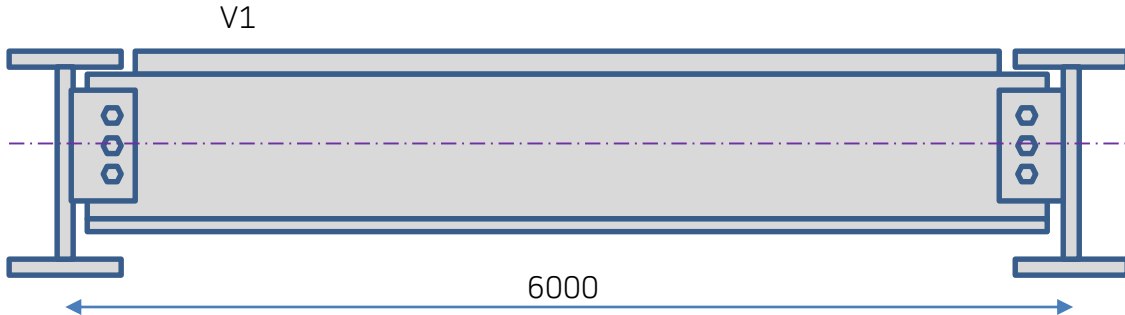
Cargas Variáveis:

Sobrecarga para Escritórios NBR6120/19 9 Salas de Uso Geral e Sanitários) = $2,5 \text{ kN/m}^2 \times 2 = 5 \text{ kN/m}$

Cargas Variáveis Totais: 5kN/m

CARGA PARA CÁLCULO DE ELS: $6,84 + 5 = 11,84 \text{ kN/m}$

Exercícios

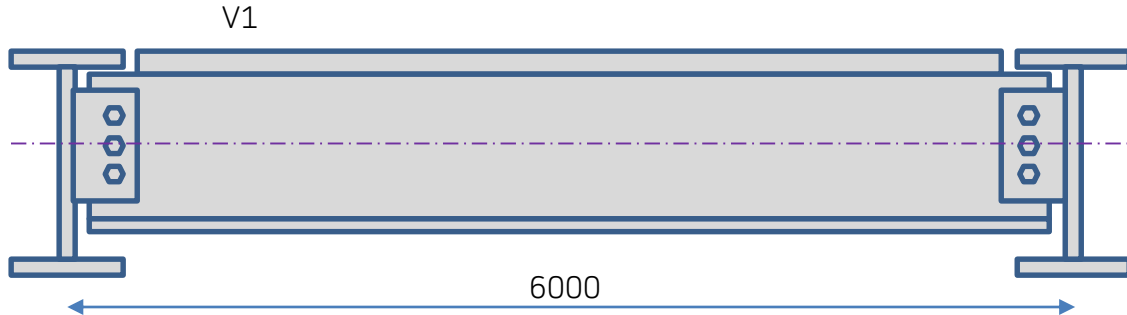


Agora, Determinamos a flecha Máxima com $L/350 = 6000 / 350 = 17,14\text{mm} (1,714\text{ cm})$

$$y_{max} = \frac{5 \cdot q \cdot L^4}{384EI} \quad I_x = \frac{5 \cdot 0,1184 \cdot 600^4}{384 \cdot 20000 \cdot 1,714} = 5828,47 \text{ cm}^4$$

Sabemos que precisamos de uma peça com I_x mínimo de 5828,47 cm⁴

Exercícios



Agora Linearizamos as cargas atuantes em V1, agrupando-as em Permanentes e Variáveis, Aplicando os Respectivos Coeficientes de Majoração para determinar o ELU

Cargas Permanentes:

$$\text{Laje} = Q_{\text{laje}} = 2,37 \times 2 \times 1,35 = 6,40 \text{ kN/m}$$

$$\text{Contrapiso} = Q_{\text{cp}} = 21 \times 0,03 \times 2 \times 1,35 = 1,70 \text{ kN/m}$$

$$\text{Piso Ceramico} = Q_{\text{piso}} = 0,22 \times 2 \times 1,40 = 0,62 \text{ kN/m}$$

Peso Próprio da Viga: Estimativa = $40 \text{ kg/m} = 0,4 \text{ kN/m} \times 1,25 = 0,50 \text{ kN/m}$

Cargas Permanentes Totais: 9,22 kN/m

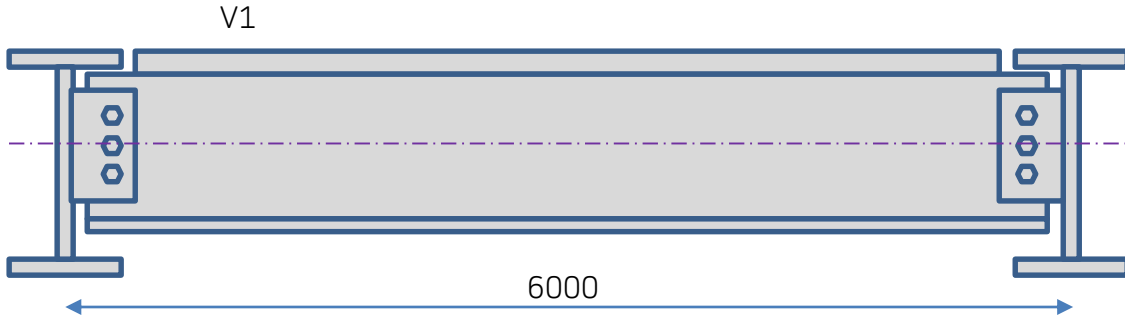
Cargas Variáveis:

Sobrecarga para Escritórios NBR6120/19 (Salas de Uso Geral e Sanitários) = $2,5 \text{ kN/m}^2 \times 2 = 5 \text{ kN/m} \times 1,5 = 7,5 \text{ kN/m}$

Cargas Variáveis Totais: 7,5 kN/m

CARGA PARA CÁLCULO DE ELU: $9,22 + 7,5 = 16,72 \text{ kN/m}$

Exercícios



Determinamos o Momento Fletor Máximo na viga

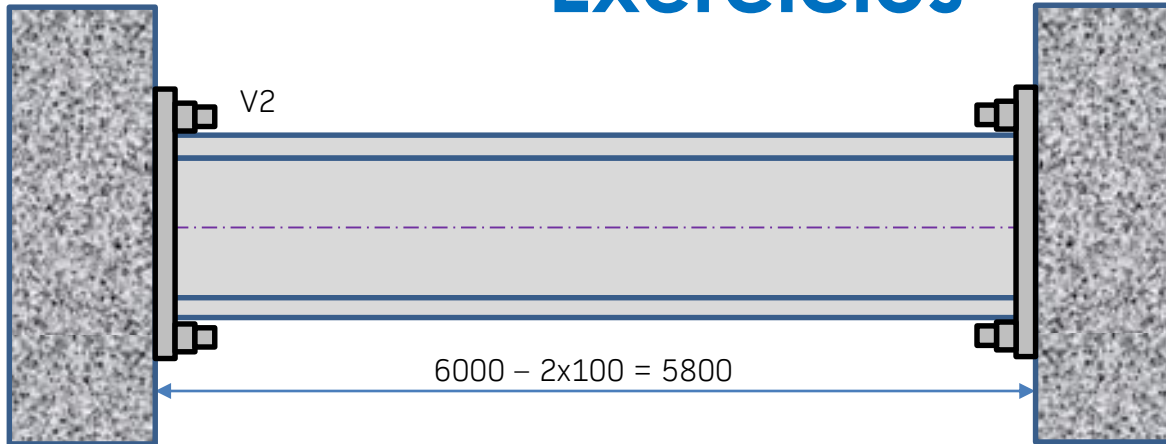
$$M_{Max} = \frac{q \cdot L^2}{8} \quad M_{Max} = \frac{0,1672 \cdot 600^2}{8} = 7524 \text{ kN.cm}$$

Comparamos com o limite de plastificação total da Seção (Adotaremos Perfil W Gerdau ASTM A572Gr50 com $F_y = 34,5 \text{ kN/cm}^2$):

$$M_{Rd} = \frac{Z_x \cdot F_y}{1,1} \quad 7524 = \frac{Z_x \cdot 34,5}{1,1} \quad Z_x = 240 \text{ cm}^3$$

De posse dessas informações ($I_x = 5828,47 \text{ cm}^4$ e $Z_x = 240 \text{ cm}^3$) buscamos o perfil desejado na tabela de bitolas da Gerdau

Exercícios



Linearizamos as cargas atuantes em V2, agrupando-as em Permanentes e Variáveis

Tabela 2 – Alvenarias

Cargas Permanentes:

$$\text{Laje} = Q_{\text{laje}} = 2,37 \times 1,0 = 2,37 \text{ kN/m}$$

$$\text{Contrapiso} = Q_{\text{cp}} = 21 \times 0,03 \times 1,0 = 0,63 \text{ kN/m}$$

$$\text{Piso Ceramico} = Q_{\text{piso}} = 0,22 \times 1,0 = 0,22 \text{ kN/m}$$

Alvenaria	Espessura nominal do elemento cm	Peso - Espessura de revestimento por face kN/m ²		
		0 cm	1 cm	2 cm
Bloco cerâmico vazado (Furo horizontal - ABNT NBR 15270-1)	9	0,7	1,1	1,6
	11,5	0,9	1,3	1,7
	14	1,1	1,5	1,9
	19	1,4	1,8	2,3

Peso Próprio da Viga: Estimativa = 40 kg/m = 0,40 kN/m (Caso encontremos viga 15% mais pesada, refazer os cálculos)

$$\text{Carga Paredes} = Q_{\text{par}} = 1,1 \text{ kN/m}^2 \times 2,8 \text{ m} = 3,08 \text{ kN/m}$$

Cargas Permanentes Totais: 6,70 kN/m

Cargas Variáveis:

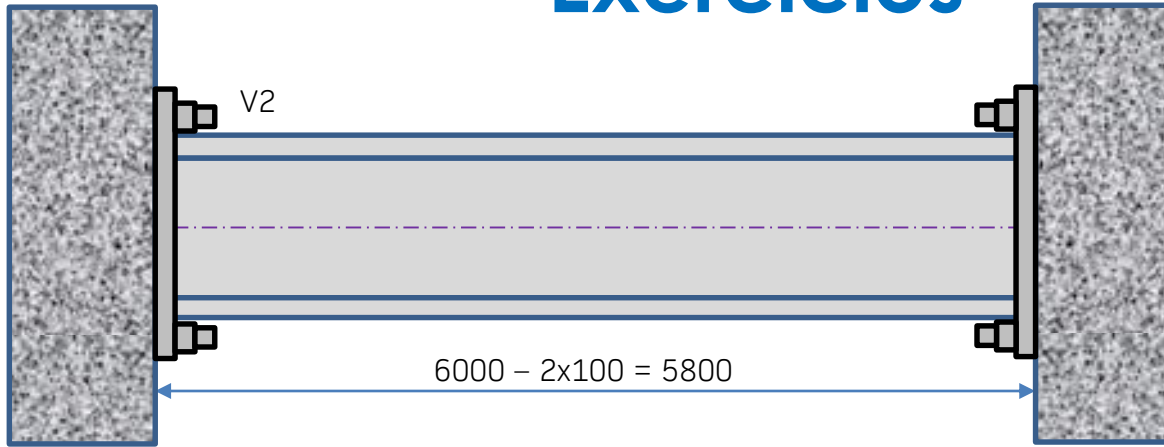
$$\text{Sobrecarga para Escritórios NBR6120/19 (Salas de Uso Geral e Sanitários)} = 2,5 \text{ kN/m}^2 \times 1,0 = 2,5 \text{ kN/m}$$

Cargas Variáveis Totais: 2,5kN/m

CARGA PARA CÁLCULO DE ELS: $6,70 + 2,5 = 9,20 \text{ kN/m}$

Curso de Projeto e Cálculo de Estruturas metálicas

Exercícios

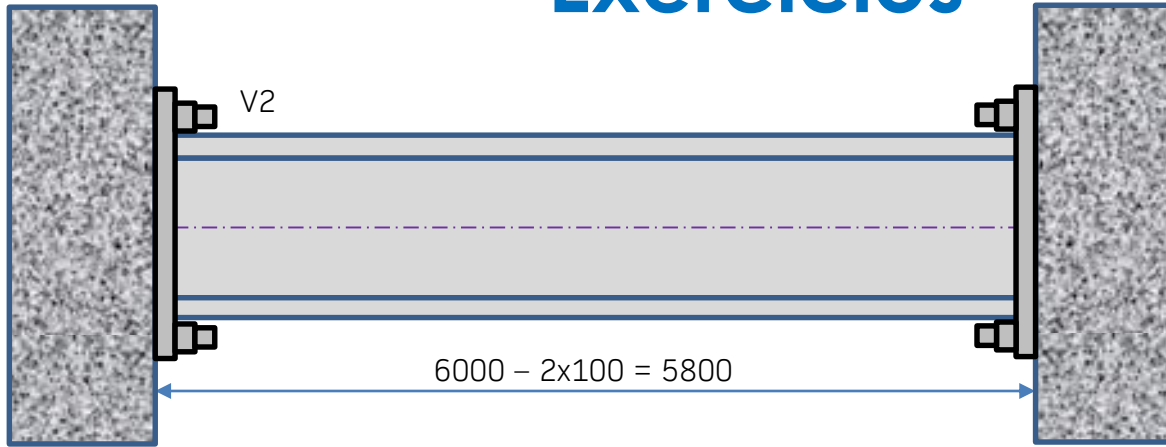


Agora, Determinamos a flecha Máxima : 15mm ou 1,5cm

$$y_{max} = \frac{q \cdot L^4}{384EI} \quad I_x = \frac{0,0920 \cdot 580^4}{384 \cdot 20000 \cdot 1,5} = 904 \text{ cm}^4$$

Sabemos que precisamos de uma peça com I_x mínimo de 904 cm⁴

Exercícios



Agora Linearizamos as cargas atuantes em V2, agrupando-as em Permanentes e Variáveis, Aplicando os Respectivos Coeficientes de Majoração para determinar o ELU

Cargas Permanentes:

$$\text{Laje} = Q_{\text{laje}} = 2,37 \times 1 \times 1,35 = 3,20 \text{ kN/m}$$

$$\text{Contrapiso} = Q_{\text{cp}} = 21 \times 0,03 \times 1 \times 1,35 = 0,85 \text{ kN/m}$$

$$\text{Piso Ceramico} = Q_{\text{piso}} = 0,22 \times 1 \times 1,40 = 0,31 \text{ kN/m}$$

Peso Próprio da Viga: Estimativa = $40 \text{ kg/m} = 0,4 \text{ kN/m} \times 1,25 = 0,50 \text{ kN/m}$

Carga Paredes = $Q_{\text{par}} = 1,1 \text{ kN/m}^2 \times 2,8 \text{ m} \times 1,4 = 4,312 \text{ kN/m}$

Cargas Permanentes Totais: 9,18 kN/m

Cargas Variáveis:

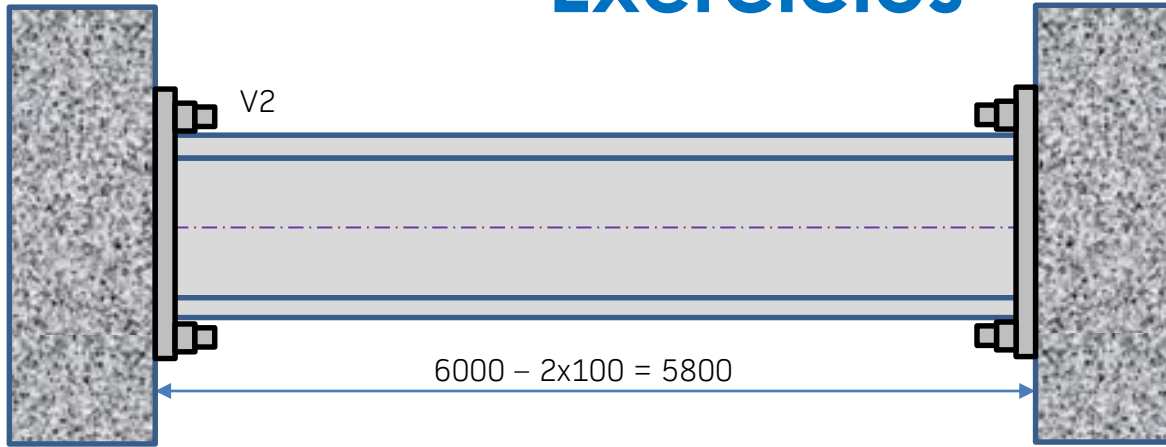
Sobrecarga para Escritórios NBR6120/19 (Salas de Uso Geral e Sanitários) = $2,5 \text{ kN/m}^2 \times 1 = 2,5 \text{ kN/m} \times 1,5 = 3,75 \text{ kN/m}$

Cargas Variáveis Totais: 3,75 kN/m

CARGA PARA CÁLCULO DE ELU: $9,18 + 3,75 = 12,93 \text{ kN/m}$

Curso de Projeto e Cálculo de Estruturas metálicas

Exercícios



Determinamos o Momento Fletor Máximo na viga

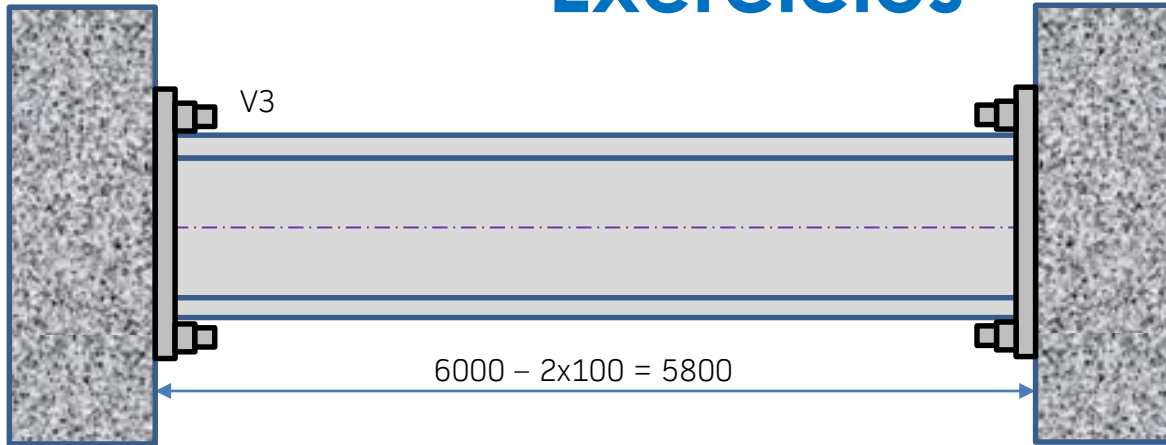
$$M_{Max} = \frac{q \cdot L^2}{12} \quad M_{Max} = \frac{0,1293 \cdot 580^2}{8} = 3624 \text{ kN.cm}$$

Comparamos com o limite de plastificação total da Seção (Adotaremos Perfil W Gerdau ASTM A572Gr50 com $F_y = 34,5 \text{ kN/cm}^2$):

$$M_{Rd} = \frac{Z_x \cdot F_y}{1,1} \quad 3624 = \frac{Z_x \cdot 34,5}{1,1} \quad Z_x = 116 \text{ cm}^3$$

De posse dessas informações ($I_x = 904 \text{ cm}^4$ e $Z_x = 116 \text{ cm}^3$) buscamos o perfil desejado na tabela de bitolas da Gerdau

Exercícios



Linearizamos as cargas atuantes em V3, agrupando-as em Permanentes e Variáveis

Cargas Permanentes:

$$\text{Laje} = Q_{\text{laje}} = 2,37 \times 2 = 4,74 \text{ kN/m}$$

$$\text{Contrapiso} = Q_{\text{cp}} = 21 \times 0,03 \times 2 = 1,26 \text{ kN/m}$$

$$\text{Piso Ceramico} = Q_{\text{piso}} = 0,22 \times 2 = 0,44 \text{ kN/m}$$

Peso Próprio da Viga: Estimativa = 40 kg/m = 0,4 kN/m (Caso encontremos viga 15% mais pesada, refazer os cálculos)

Cargas Permanentes Totais: 6,84 kN/m

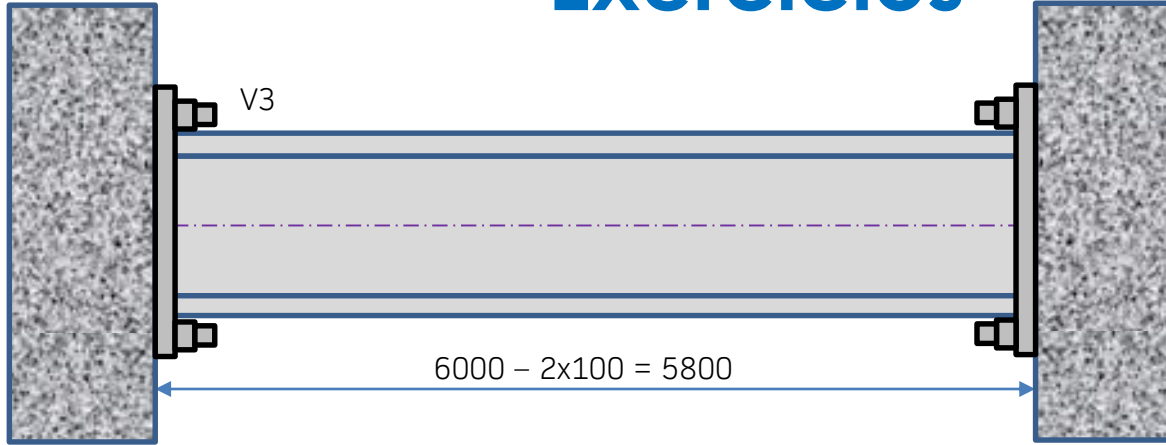
Cargas Variáveis:

Sobrecarga para Escritórios NBR6120/19 9 Salas de Uso Geral e Sanitários) = $2,5 \text{ kN/m}^2 \times 2 = 5 \text{ kN/m}$

Cargas Variáveis Totais: 5kN/m

CARGA PARA CÁLCULO DE ELS: $6,84 + 5 = 11,84 \text{ kN/m}$

Exercícios

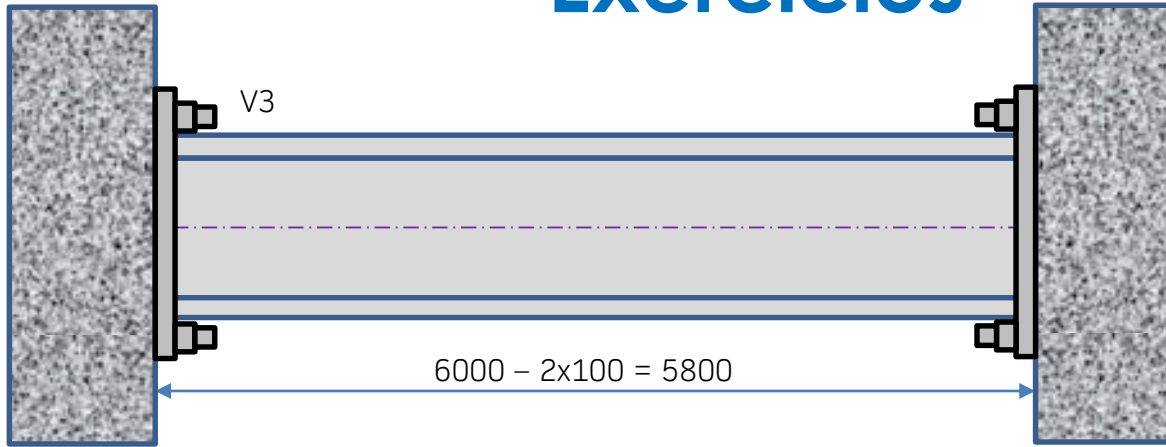


Agora, Determinamos a flecha Máxima com $L/350 = 5800 / 350 = 16,57\text{mm} (1,657\text{ cm})$

$$y_{max} = \frac{q \cdot L^4}{384EI} \quad I_x = \frac{0,1184 \cdot 580^4}{384 \cdot 20000 \cdot 1,657} = 1053 \text{ cm}^4$$

Sabemos que precisamos de uma peça com I_x mínimo de 1053 cm⁴

Exercícios



Agora Linearizamos as cargas atuantes em V1, agrupando-as em Permanentes e Variáveis, Aplicando os Respectivos Coeficientes de Majoração para determinar o ELU

Cargas Permanentes:

$$\text{Laje} = Q_{\text{laje}} = 2,37 \times 2 \times 1,35 = 6,40 \text{ kN/m}$$

$$\text{Contrapiso} = Q_{\text{cp}} = 21 \times 0,03 \times 2 \times 1,35 = 1,70 \text{ kN/m}$$

$$\text{Piso Ceramico} = Q_{\text{piso}} = 0,22 \times 2 \times 1,40 = 0,62 \text{ kN/m}$$

Peso Próprio da Viga: Estimativa = $40 \text{ kg/m} = 0,4 \text{ kN/m} \times 1,25 = 0,50 \text{ kN/m}$

Cargas Permanentes Totais: 9,22 kN/m

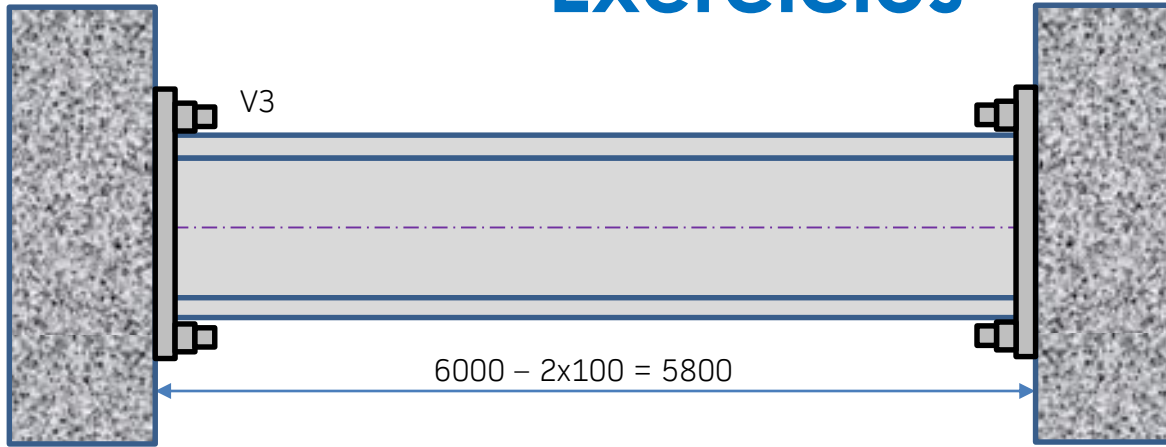
Cargas Variáveis:

Sobrecarga para Escritórios NBR6120/19 (Salas de Uso Geral e Sanitários) = $2,5 \text{ kN/m}^2 \times 2 = 5 \text{ kN/m} \times 1,5 = 7,5 \text{ kN/m}$

Cargas Variáveis Totais: 7,5 kN/m

CARGA PARA CÁLCULO DE ELU: $9,22 + 7,5 = 16,72 \text{ kN/m}$

Exercícios



Determinamos o Momento Fletor Máximo na viga

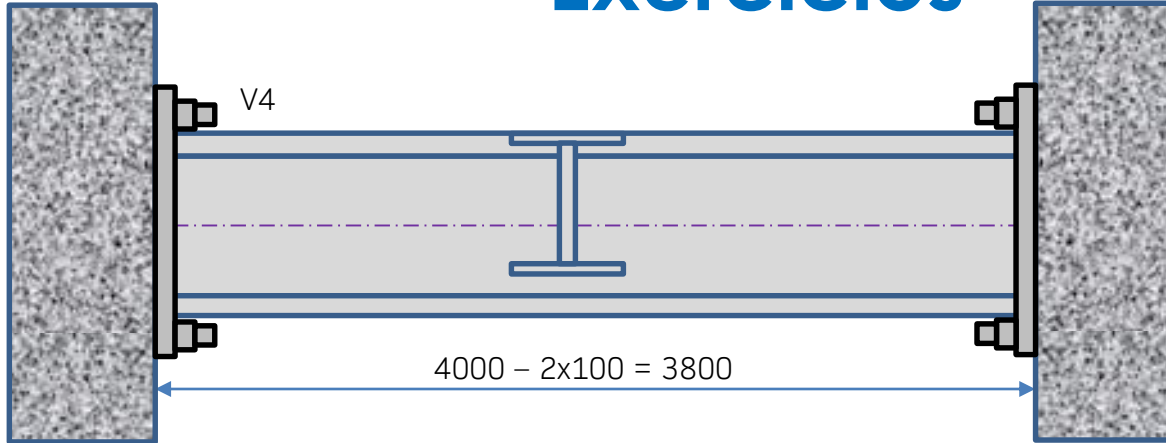
$$M_{Max} = \frac{q \cdot L^2}{12} \quad M_{Max} = \frac{0,1672 \cdot 580^2}{12} = 4688 \text{ kN.cm}$$

Comparamos com o limite de plastificação total da Seção (Adotaremos Perfil W Gerdau ASTM A572Gr50 com $F_y = 34,5 \text{ kN/cm}^2$):

$$M_{Rd} = \frac{Z_x \cdot F_y}{1,1} \quad 4688 = \frac{Z_x \cdot 34,5}{1,1} \quad Z_x = 150 \text{ cm}^3$$

De posse dessas informações ($I_x = 1053 \text{ cm}^4$ e $Z_x = 150 \text{ cm}^3$) buscamos o perfil desejado na tabela de bitolas da Gerdau

Exercícios



Como V4 está paralela à direção de armação da laje, os efeitos sobre ela provém apenas da parede, peso próprio e reação da V1

Cargas Permanentes:

$$\text{Carga parede} = Q_{\text{par}} = 1,1 \times 2,8 = 3,08 \text{ kN/m}$$

$$\text{Peso Próprio da viga: Estimado } 40 \text{ kg/m} = 0,4 \text{ kN/m}$$

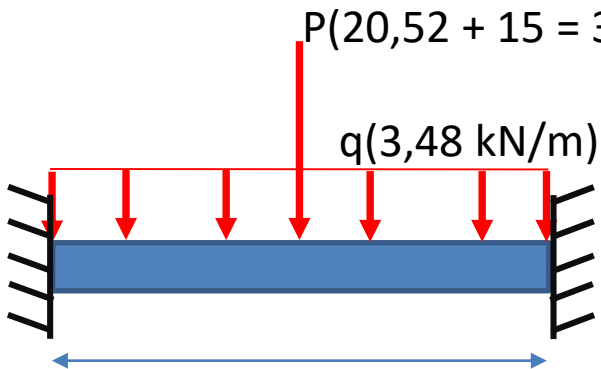
$$\text{Carga distribuída Total: } 3,48 \text{ kN/m}$$

$$\text{Reação pontual de V1 (ELS - Cargas permanentes): } 6,84 \times 6 / 2 = 20,52 \text{ kN}$$

Cargas Variáveis:

$$\text{Reação pontual de V1 (ELS - Cargas Variáveis) : } 5 \times 6 / 2 = 15 \text{ kN}$$

Exercícios

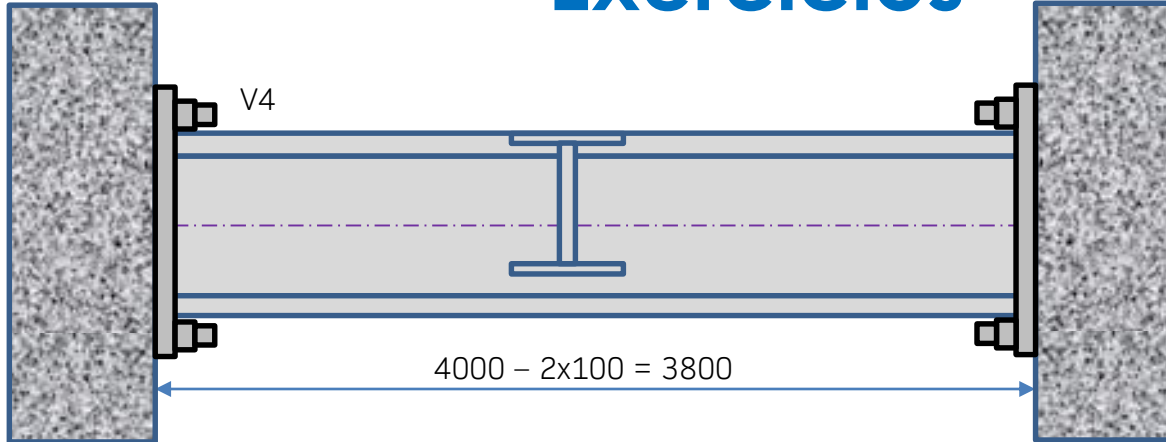


$$y_{max} = \frac{q \cdot L^4}{384EI} + \frac{P \cdot L^3}{192 \cdot E \cdot I}$$

Adotando $y_{max} = 1,5\text{cm}$ temos:

$$1,5 = \frac{0,0348 \cdot 380^4}{384 \cdot 20000I} + \frac{35,52 \cdot 380^3}{192 \cdot 20000 \cdot I} \quad I = \frac{602,05}{1,5} = 401,36 \text{ cm}^4$$

Exercícios



Como V4 está paralela à direção de armação da laje, os efeitos sobre ela provém apenas da parede, peso próprio e reação da V1

Cargas Permanentes (ELU):

$$\text{Carga parede} = Q_{\text{par}} = 1,1 \times 2,8 \times 1,4 = 4,312 \text{ kN/m}$$

$$\text{Peso Próprio da viga: Estimado } 40 \text{ kg/m} \times 1,25 = 0,5 \text{ kN/m}$$

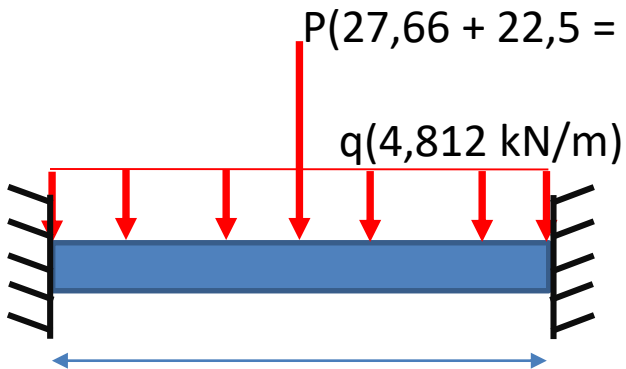
$$\text{Carga distribuída Total: } 4,812 \text{ kN/m}$$

$$\text{Reação pontual de V1 (ELU - Cargas permanentes): } 9,22 \times 6 / 2 = 27,66 \text{ kN}$$

Cargas Variáveis (ELS):

$$\text{Reação pontual de V1 (ELS - Cargas Variáveis) : } 7,5 \times 6 / 2 = 22,5 \text{ kN}$$

Exercícios



$$M_{Max} = \frac{q \cdot L^2}{12} + P \cdot \frac{L}{8}$$

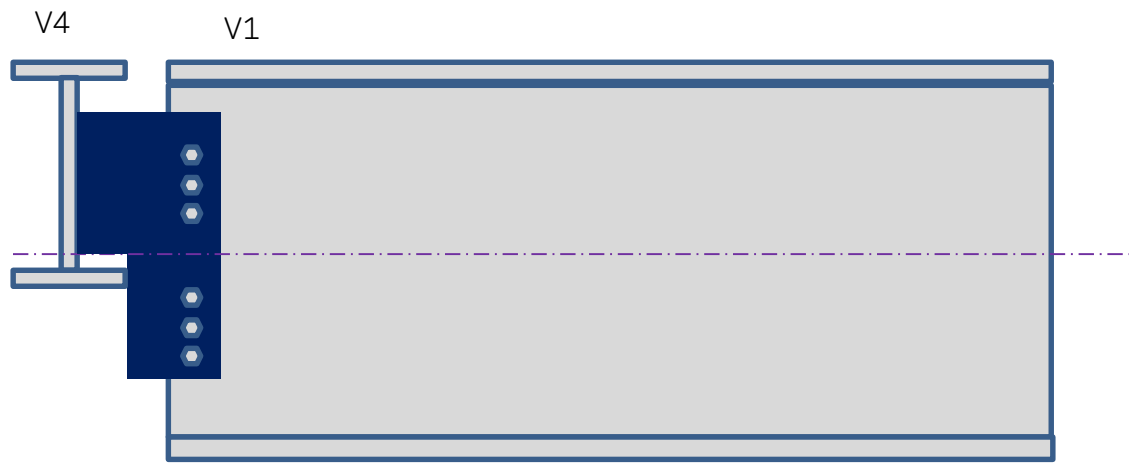
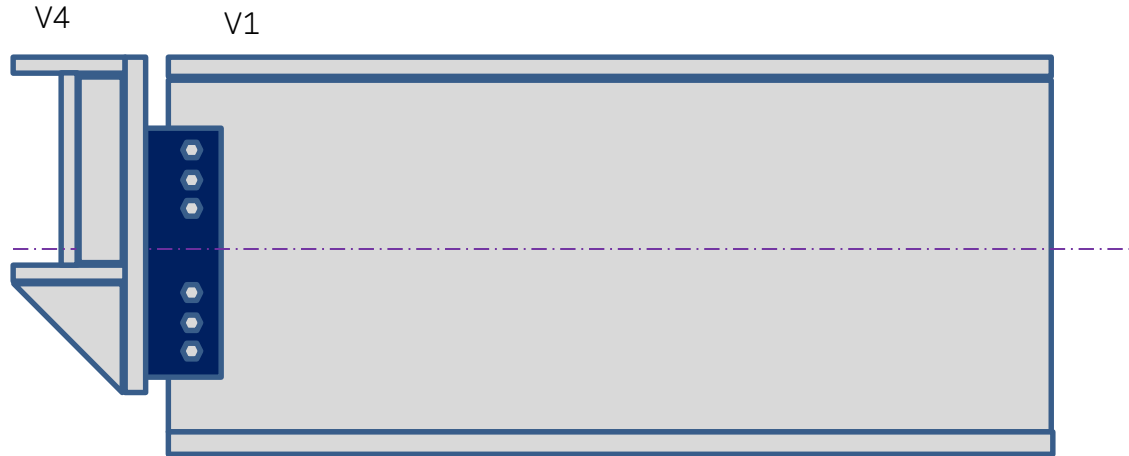
$$M_{Max} = \frac{0,04812 \cdot 380^2}{12} + 50,16 \cdot \frac{380}{8} = 2961,64 \text{ kN.cm}$$

Comparamos com o limite de plastificação total da Seção (Adotaremos Perfil W Gerdau ASTM A572Gr50 com $F_y = 34,5 \text{ kN/cm}^2$):

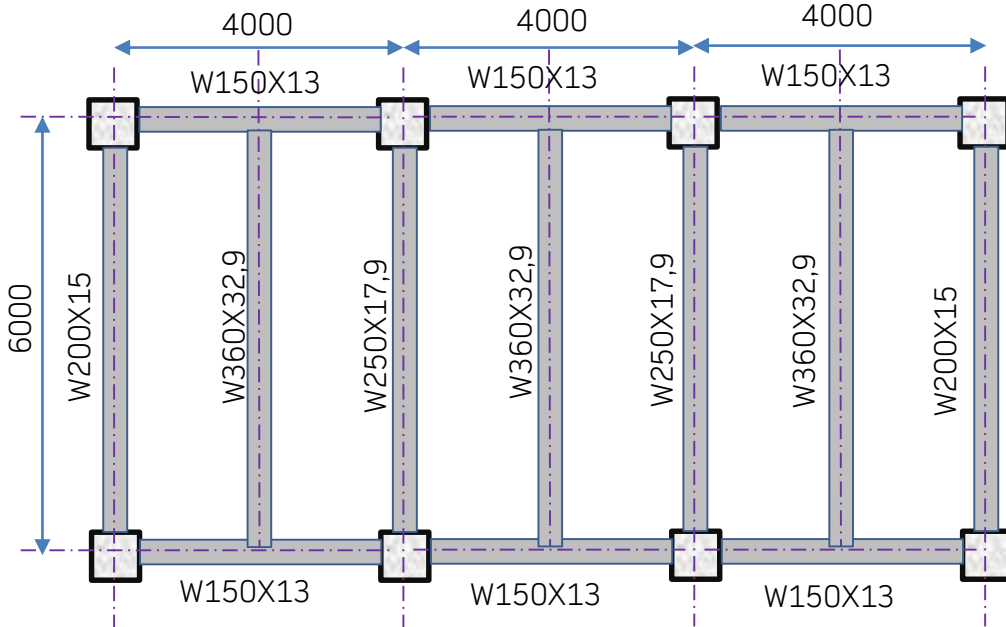
$$M_{Rd} = \frac{Z_x \cdot F_y}{1,1} \quad 2961,64 = \frac{Z_x \cdot 34,5}{1,1} \quad Z_x = 94,5 \text{ cm}^3$$

De posse dessas informações ($I_x = 401,36 \text{ cm}^4$ e $Z_x = 94,5 \text{ cm}^2$) buscamos o perfil desejado na tabela de bitolas da Gerdau

Exemplos de soluções para manter a W150X13



Exercícios



Lista de barras:

$$W150X13 = 24m \times 13\text{kg/m} = 312\text{ kg}$$

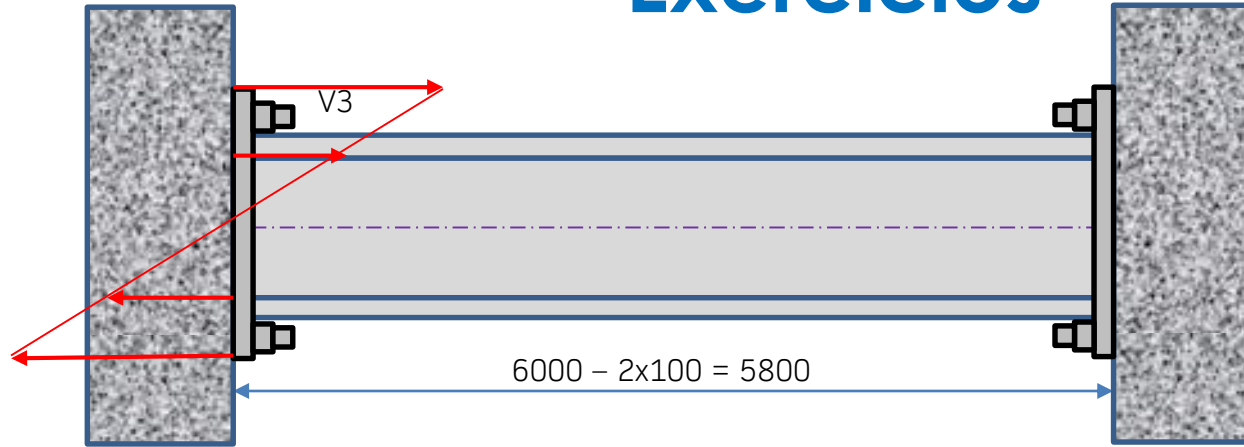
$$W200X15 = 12m \times 15\text{ kg/m} = 180\text{ kg}$$

$$W250X17,9 = 12m \times 17,9\text{ kg/m} = 214,8\text{ kg}$$

$$W360X32,9 = 18m \times 32,9\text{ kg/m} = 592,20\text{ kg}$$

TOTAL: 1299 kg (18,04 kg/m²)

Exercícios

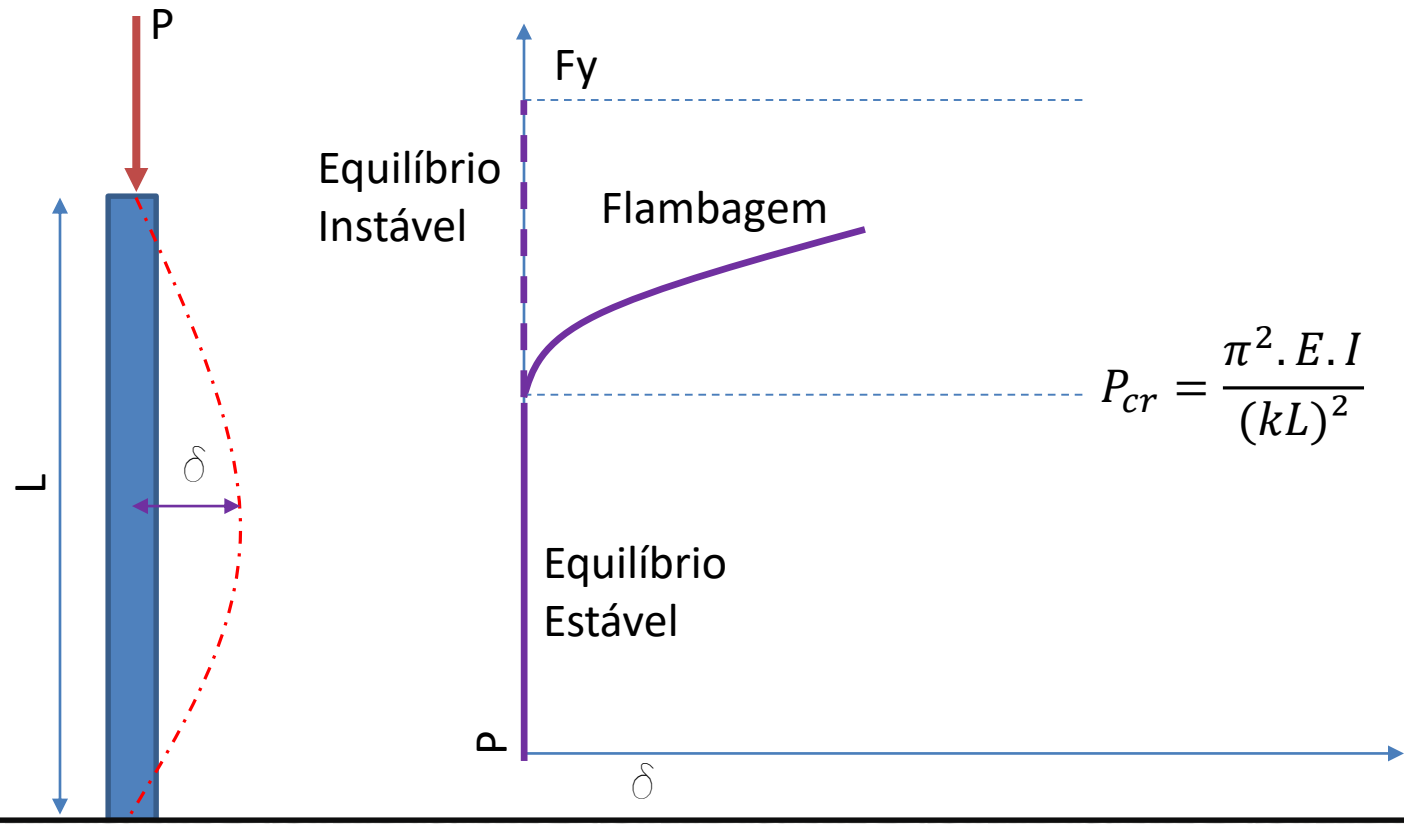


Na ligação entre V3 e o pilar de concreto, determinar qual a tensão máxima de compressão considerando uma chapa de cabeça retangular com largura 150mm e altura 350mm

$$W_{ret} = \frac{I}{y} = \frac{\frac{b \cdot h^3}{12}}{\left(\frac{h}{2}\right)} = \frac{b \cdot h^2}{6} = \frac{15 \cdot 35^2}{6} = 3062,5 \text{ cm}^3$$

$$\sigma_{max} = \frac{M}{W} \quad \sigma_{max} = \frac{4688}{3062,5} = 1,53 \text{ kN/cm}^3$$

Flambagem



Flambagem

Tabela E.1 — Coeficiente de flambagem por flexão de elementos isolados

	(a)	(b)	(c)	(d)	(e)	(f)
A linha tracejada indica a linha elástica de flambagem						
Valores teóricos de K_x ou K_y	0,5	0,7	1,0	1,0	2,0	2,0
Valores recomendados	0,65	0,80	1,2	1,0	2,1	2,0

Código para condição de apoio



Rotação e translação impedidas



Rotação livre, translação impedida



Rotação impedida, translação livre



Rotação e translação livres

Flambagem

Portanto, quanto maior a relação L/r (Esbeltez), menor será a tensão admissível antes que ocorra flambagem na barra comprimida

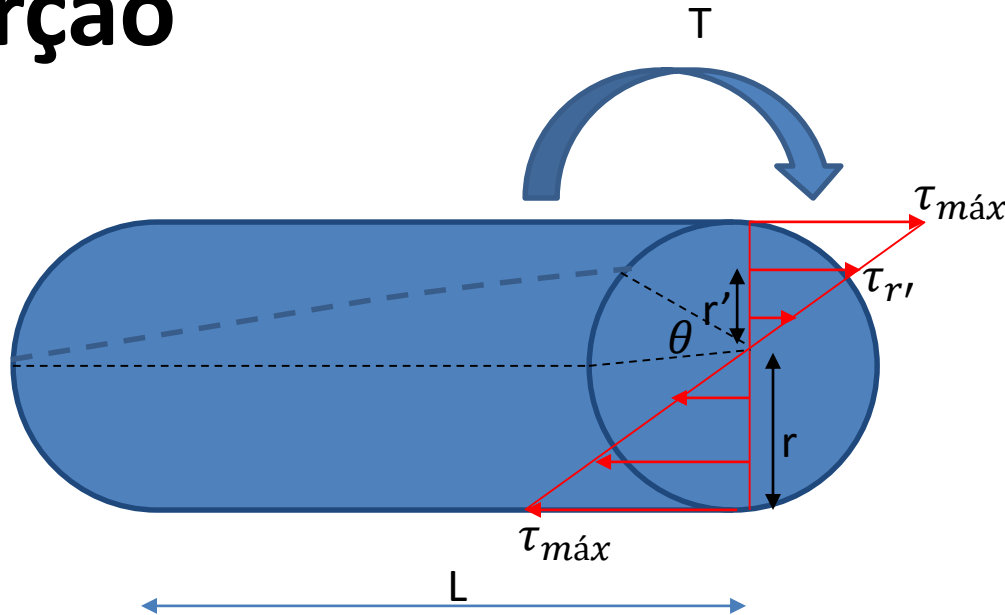
$$P_{cr} = \frac{\pi^2 \cdot E \cdot I}{k^2 L^2} \quad \text{Sabemos que } r = \sqrt{\frac{I}{A}} \quad \text{ou } r^2 \cdot A = I$$

$$P_{cr} = \frac{\pi^2 \cdot E \cdot r^2 \cdot A}{k^2 L^2} \rightarrow \frac{P_{cr}}{A} = \frac{\pi^2 \cdot E \cdot r^2}{k^2 L^2} \rightarrow \sigma_{cr} = \frac{\pi^2 \cdot E}{\left(\frac{kL}{r}\right)^2}$$

Portanto, quanto maior a relação kL/r (Esbeltez), menor será a tensão admissível antes que ocorra flambagem na barra comprimida

O tema será aprofundado no módulo de Barras comprimidas

Torção



$$\theta = \frac{T \cdot L}{G \cdot J}$$

$$\tau_{r'} = \frac{T \cdot r'}{J}$$

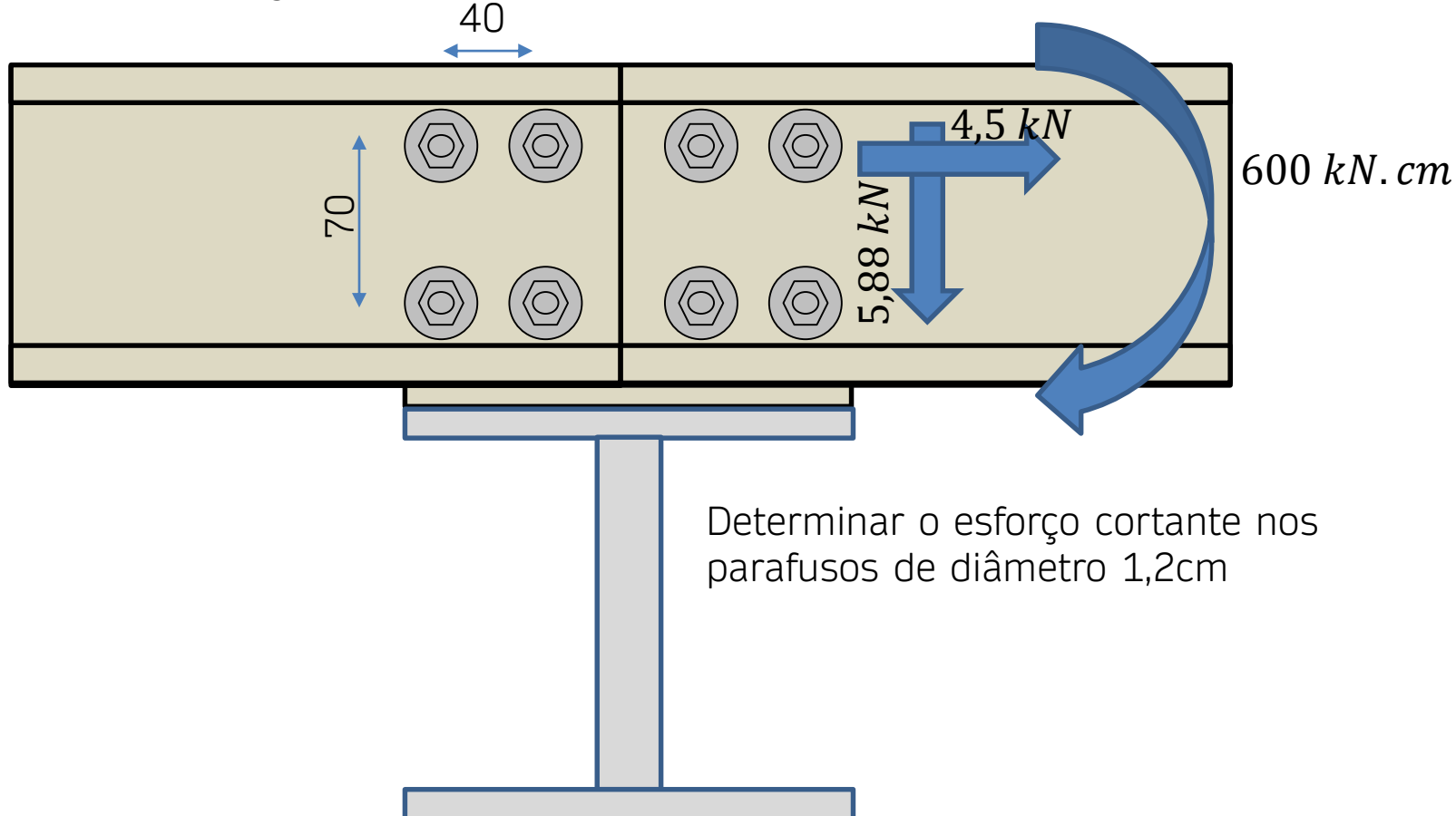
$$\tau_{máx} = \frac{T \cdot r}{J}$$

**Para seções circulares sólidas ou ocas,
uniformes**

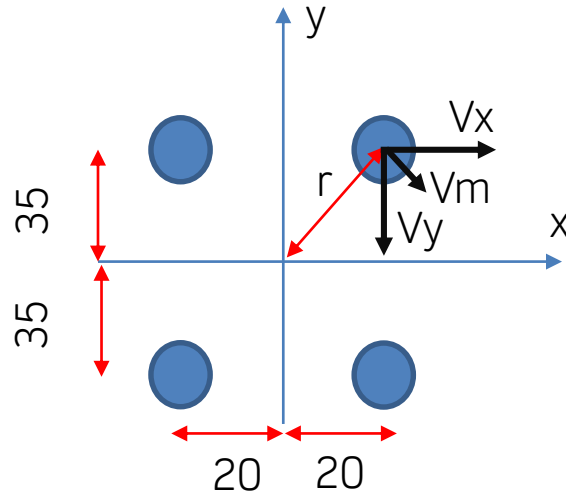
Momento de inércia Polar

$$J = I_z = I_x + I_y$$

Usamos o momento de inércia Polar para descobrir tensões em planos perpendiculares aos planos em que agem os momentos fletores



Momento de inércia Polar



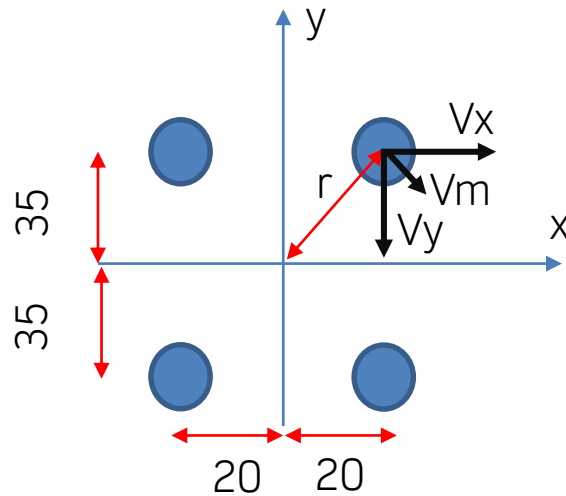
Tensão Cortante devido ao esforço vertical:

$$V_y = \frac{5,88}{4 \cdot \pi \cdot D^2 \cdot 0,25} = \frac{5,88}{4 \cdot \pi \cdot 1,2^2 \cdot 0,25} = 1,30 \text{ kN/cm}^2$$

Tensão Cortante devido ao esforço horizontal:

$$V_x = \frac{4,5}{4 \cdot \pi \cdot D^2 \cdot 0,25} = \frac{4,5}{4 \cdot \pi \cdot 1,2^2 \cdot 0,25} = 1,00 \text{ kN/cm}^2$$

Momento de inércia Polar



$$r = \sqrt{3,5^2 + 2^2} = 4,031$$

Tensão Cortante Devido ao Momento Fletor

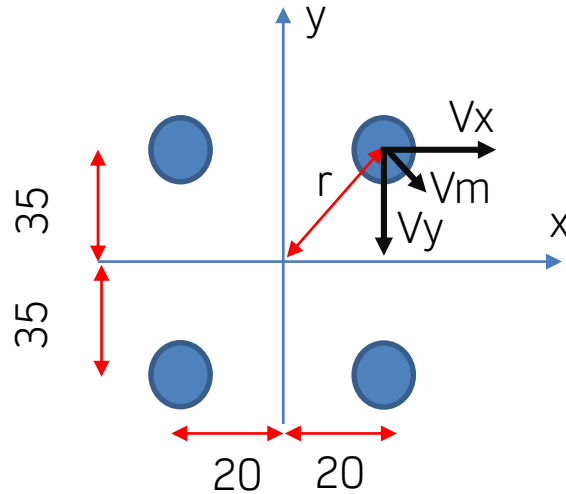
$$I_x = \sum (I_n + A \cdot y^2) \quad I_x = 2 \left[2 \left(\frac{\pi \cdot R^4}{4} + \pi \cdot R^2 \cdot y^2 \right) \right] \quad I_x = 2 \left[2 \left(\frac{\pi \cdot 0,6^4}{4} + \pi \cdot 0,6^2 \cdot 3,5^2 \right) \right] = 55,82 \text{ cm}^4$$

$$I_y = \sum (I_n + A \cdot x^2) \quad I_y = 2 \left[2 \left(\frac{\pi \cdot R^4}{4} + \pi \cdot R^2 \cdot x^2 \right) \right] \quad I_y = 2 \left[2 \left(\frac{\pi \cdot 0,6^4}{4} + \pi \cdot 0,6^2 \cdot 2^2 \right) \right] = 18,50 \text{ cm}^4$$

$$I_p = I_x + I_y = 55,82 + 18,50 = 74,32 \text{ cm}^4$$

$$V_M = \frac{M \cdot r}{I_p} \quad V_M = \frac{600 \cdot 4,031}{74,32} = 32,54 \text{ kN/cm}^2$$

Momento de inércia Polar



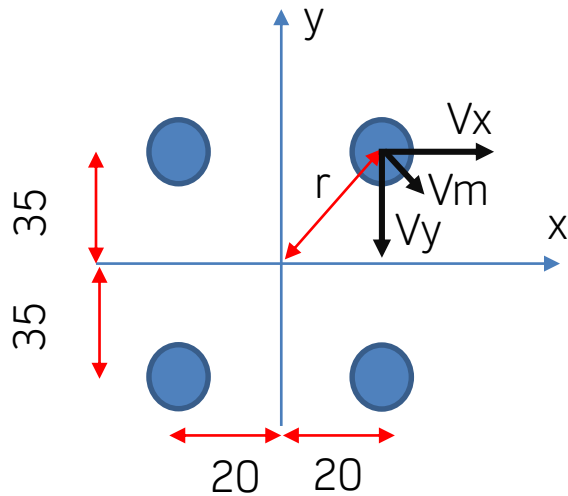
$$V_{Mx} = 32,54 \cdot \frac{3,5}{4,01} = 28,40 \text{ kN/cm}^2$$

$$V_{My} = 32,54 \cdot \frac{2,00}{4,01} = 16,23 \text{ kN/cm}^2$$

$$V = \sqrt{(28,40 + 1)^2 + (16,23 + 1,30)^2}$$

$$V = 34,22 \text{ kN/cm}^2$$

Método Simplificado



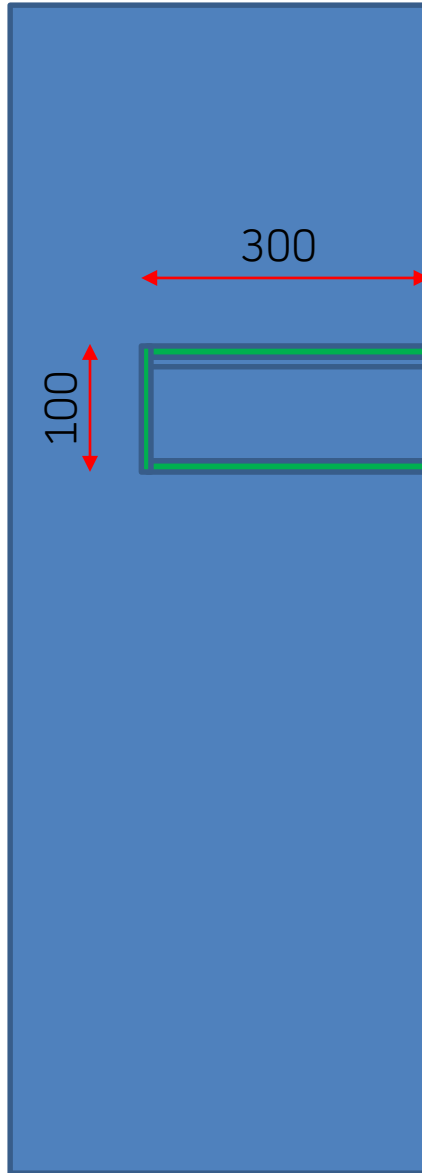
$$I_{p_{unit}} = \sum (x^2 + y^2)$$

$$I_{p_{unit}} = 3,5^2 \cdot 4 + 2^2 \cdot 4 = 65 \text{ cm}^2$$

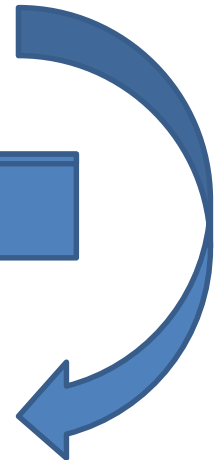
$$F_{My} = \frac{M \cdot x}{I_{p_{unit}}} = \frac{600 \cdot 2}{65} = 18,46 \text{ kN} \rightarrow \tau_{My} = \frac{F_{My}}{A_p} = \frac{F_{My}}{\left(\pi \cdot \frac{D^2}{4}\right)} = \frac{18,46}{\left(\pi \cdot \frac{1,2^2}{4}\right)} = 16,32 \text{ kN/cm}^2$$

$$F_{Mx} = \frac{M \cdot y}{I_{p_{unit}}} = \frac{600 \cdot 3,5}{65} = 32,30 \text{ kN} \rightarrow \tau_{Mx} = \frac{F_{Mx}}{A_p} = \frac{F_{Mx}}{\left(\pi \cdot \frac{D^2}{4}\right)} = \frac{32,30}{\left(\pi \cdot \frac{1,2^2}{4}\right)} = 28,55 \text{ kN/cm}^2$$

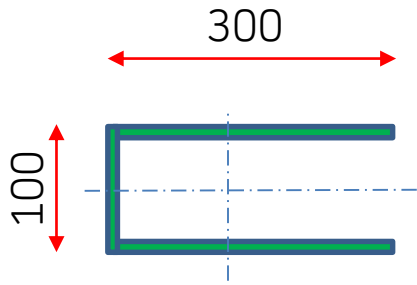
$$\tau_R = \sqrt{(16,32 + 1,00)^2 + (28,55 + 1,30)^2} = 34,51 \text{ kN/cm}^2$$



$$M = 980 \text{ kN.cm}$$



Determine a tensão de
cisalhamento máxima na solda,
assumindo filete com perna 6mm



$$X_{cg} = \frac{b^2}{2 \cdot b + h} = \frac{30^2}{2 \cdot 30 + 10} = 12,85 \text{ cm}$$

$$Y_{cg} = \frac{h}{2} = \frac{10}{2} = 5 \text{ cm}$$

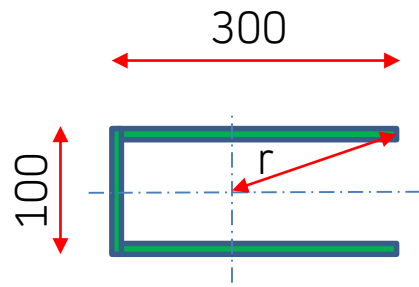
$$I_p = \frac{8b^3 + 6bh^2 + h^3}{12} - \frac{b^4}{2b + h}$$

$$I_p = \frac{8 \cdot 30^3 + 6 \cdot 30 \cdot 10^2 + 10^3}{12} - \frac{30^4}{2 \cdot 30 + 10}$$

$$I_{p(t=1\text{cm})} = 8011,9 \text{ cm}^4/\text{cm}$$

$$I_{p(t=0,6\text{cm})} = 0,6 \cdot 8011,9 = 4807,14 \text{ cm}^4$$

Sessões	Módulo resistente $W_x = I_x/y$	Momento de inércia polar $I_p(t=1)$ em relação ao centro de gravidade
	$\frac{h^2}{6}$	$\frac{h^3}{12}$
	$\frac{h^2}{3}$	$\frac{h(3b^2 + h^2)}{6}$
	$b \cdot h$	$\frac{b(3h^2 + b^2)}{6}$
	$y_g = \frac{h^2}{2(b+h)}$ $x_g = \frac{b^2}{2(b+h)}$	$\frac{4bh + h^3}{6}$ $\frac{(b+h)^4 - 6b^2h^2}{12(b+h)}$
	$x_g = \frac{b^2}{2b+h}$	$bh + \frac{h^2}{6}$ $\frac{8b^3 + 6bh^2 + h^3}{12}$ $-\frac{b^4}{2b+h}$
	$y_g = \frac{h^2}{b+2h}$	$\frac{2bh + h^2}{3}$ $\frac{b^3 + 6b^2h + 8h^3}{12}$ $-\frac{h^4}{2h+b}$
	$bh + \frac{h^2}{3}$	$\frac{(b+h)^3}{6}$
	$y_g = \frac{h^2}{b+2h}$	$\frac{2bh + h^2}{3}$ $\frac{b^3 + 8h^3}{12} - \frac{h^4}{b+2h}$
	$bh + \frac{h^2}{3}$	$\frac{b^3 + 3bh^2 + h^3}{6}$
	πr^2	$2\pi r^3$



$$r = \sqrt{(30 - 12,85)^2 + 5^2} = 17,86\text{cm}$$

$$\tau_M = \frac{T \cdot r}{J} \quad \tau_M = \frac{980 \cdot 17,86}{4807,14} \rightarrow \tau_M = 3,64 \text{ kN/cm}^2$$